



Электронные учебники и учебные пособия

Г. П. Коткин

ЛЕКЦИИ ПО СТАТИСТИЧЕСКОЙ ФИЗИКЕ



Г. Л. Коткин

ЛЕКЦИИ ПО СТАТИСТИЧЕСКОЙ ФИЗИКЕ

Учебное пособие



Москва ♦ Ижевск

2003

УДК 530.145
ББК В317.2Я
73-1



- физика
 - математика
 - биология
 - нефтегазовые технологии
-

Коткин Г. Л.

Лекции по статистической физике. — Москва–Ижевск: Институт компьютерных исследований, 2003, 176 стр.

Предназначено для студентов физических факультетов.

Содержание соответствует курсу «Статистическая физика и основы физической кинетики».

Рецензент:
д-р физ.-мат. наук И. В. Колоколов

ISBN 5-93972-257-1

ББК В317.2Я

© Институт компьютерных исследований, 2003
© Новосибирский государственный университет, 2003

<http://rcd.ru>
<http://ics.org.ru>

Оглавление

Предисловие	5
Часть 1. Статистическая физика	7
1. Статистические распределения	7
1.1. Статистический вес состояния	7
1.2. Микроканоническое распределение	9
1.3. Энтропия и температура	12
1.4. Работа при постоянной энтропии	17
1.5. Каноническое распределение	21
1.6. Усреднение по времени и по ансамблю	27
2. Больцмановский идеальный газ	29
2.1. Распределение Maxwella	29
2.2. Термодинамические функции идеального газа	33
2.3. Теплоемкость двухатомного газа	35
2.4. Отсутствие магнетизма классического газа. Диамагнетизм Ландау	39
3. Большое каноническое распределение Гиббса	41
3.1. Некоторые условия равновесия	41
3.2. Большое каноническое распределение	43
3.3. Энтропия идеального газа в неравновесном состоянии	45
4. Химическое равновесие	47
4.1. Степень ионизации газа	47
4.2. Закон действующих масс	49
4.3. Тепловой эффект реакции	51
5. О компьютерном моделировании	52
5.1. Задача о компьютерном газе бильярдных шаров	52
5.2. Статистическое моделирование	56
6. Закон Нернста	57
7. Квантовые газы	58
7.1. Идеальный ферми-газ	59
7.2. Ферми-газ при $T = 0$	60
7.3. Вычисление интеграла с $f(\varepsilon)$ при $T \ll \mu$	64
7.4. Теплоемкость вырожденного электронного газа	66
7.5. Полупроводники	68
7.6. Идеальный бозе-газ	72
7.7. Конденсация Бозе – Эйнштейна	73

7.8.	Газ фотонов	76
7.9.	Теплоемкость твердого тела	78
7.10.	Тепловое расширение твердых тел	81
7.11.	Силы притяжения между нейтральными проводниками (силы Казимира)	85
8.	Неидеальные газы	88
8.1.	Вириальный коэффициент	88
8.2.	Газ Ван-дер-Ваальса. Фазовый переход	92
8.3.	Учет взаимодействия в плазме	94
8.4.	Пространственная дисперсия диэлектрической проницаемости плазмы (в электростатических задачах)	98
9.	Фазовые переходы	99
9.1.	Фазовые переходы первого рода	99
9.2.	Фазовые переходы второго рода	102
10.	Флуктуации	115
10.1.	Квазистационарные флуктуации	115
10.2.	Флуктуации числа частиц	118
10.3.	Рассеяние света	121
10.4.	Дублет Мандельштама – Бриллюена	123
10.5.	Флуктуации параметра порядка	125
11.	Броуновское движение	129
11.1.	Корреляционная функция скоростей и диффузия	129
11.2.	Корреляционная функция случайных сил	133
12.	Зависимость флуктуаций от времени	136
12.1.	Флуктуации в электрических цепях	136
12.2.	Спектральное разложение флуктуаций	137
12.3.	Пример применения формулы Найквиста	140
ЧАСТЬ 2. Элементы физической кинетики		142
13.	Уравнение диффузии	142
14.	Кинетическое уравнение	144
15.	Колебания плазмы	147
15.1.	Ленгмюровские колебания	147
15.2.	Затухание Ландау	150
16.	Интеграл столкновений	154
17.	Уравнения гидродинамики	157
18.	H -теорема Больцмана	159
19.	Газ электронов в металле	162
19.1.	Кинетическое уравнение. Проводимость	162
19.2.	Теплопроводность электронного газа	166
19.3.	Термоэлектрические эффекты	169
20.	Квантовое кинетическое уравнение	171
Литература		175

Предисловие

Имеются хорошие и достаточно полные учебники по статистической физике. Смысл этого издания, прежде всего, в компактном изложении материала. Это учебник по теоретической физике, предназначенный, в первую очередь, студентам — экспериментаторам.

Есть несколько методических вопросов, относительно которых я затруднился бы указать литературный источник, может быть, его и не существует. В пособии до некоторой степени сохранился стиль лекций, в частности, ориентация на студентов физического факультета НГУ. Впрочем, отличия от стандартных программ невелики. Подразумевается, что в курсе «молекулярная физика» студент познакомился с основными понятиями термодинамики, максвелловским распределением по скоростям молекул в газе, имеет представление о таких явлениях, как диффузия, вязкость, теплопроводность. Из занятий в компьютерном практикуме «Моделирование физических явлений» студент знаком с задачей о случайных блужданиях, знает о фактической необратимости движения системы абсолютно упругих шаров на идеальном бильярде. Это, пожалуй, единственная особенность лекций, связанная пока что только с Новосибирским университетом. Здесь же будет уместно заметить, что курс статистической физики продолжается в НГУ один семестр, а количество семинаров равно количеству лекций. Курс квантовой механики в НГУ проходится параллельно, поэтому, например, задачи о паро- и ортовородороде становятся доступны, когда материал о теплоемкости идеальных газов остался далеко позади. С точки зрения освоения материала студентами, возврат к слегка забытой теме — дело хорошее.

Для нормального усвоения материала лучше всего проходить нормальный цикл занятий, включающий посещение лекций, работу на семинарах и своевременную сдачу «заданий». Поясню свою мысль примером. Скажем, на лекции рассказывается, как найти автокорреляционную функцию зарядов в RC -цепочке. На семинаре решаются задачи об автокорреляционной функции токов в той же цепочке (несколько более «хитрая»), о дробовом эффекте. В задании — задача о шумах в цепи с сопротивлениями, имеющими разные температуры, или в какой-то цепи

посложнее. Получается ряд «ступенек», не очень простых, но в общем-то доступных. Таким образом, обращаясь к непростой теме раз пять, можно ее хорошо освоить, не теряя к ней интереса.

За основу пособия был взят конспект лекций, записанный студентом А. Васильевым. Впрочем, текст заметно переделан, а объем «лекций» несколько вырос. Прежде всего, добавлены задачи, предназначенные для решения на семинарах, некоторые — с решениями. (Подразумевается, что постановка и решение задач сопровождаются комментариями преподавателя.) Разумеется, приведенный набор задач лишь частично перекрывается с тем, который используют преподаватели. Кроме того, в текст включены вопросы, которые читались в одни годы и не читались в другие.

В лекциях затронуты также вопросы, относящиеся к физической кинетике. Поскольку объем этих глав невелик, нецелесообразно было выносить упоминание о них в заглавие книги.

Я благодарен своим коллегам и студентам, сделавшим множество ценных замечаний по поводу первого ротапринтного издания лекций.

ЧАСТЬ 1

Статистическая физика

1. Статистические распределения

Статистическая физика изучает макроскопические свойства тел, основываясь на микроскопических.

Как и в задачах термодинамики, мы будем рассматривать достаточно медленные, равновесные процессы.

Любые термодинамические свойства вещества (в качестве примера выберем газ) можно определить, если мы знаем его уравнение состояния $P = P(T, V)$ и теплоемкость $C_V = C_V(T, V)$. Для этого достаточно использовать известное из термодинамики соотношение $dE = TdS - PdV$.

Зависимости $P(T, V)$ и $C_V(T, V)$ могут быть взяты из опыта либо рассчитаны. Расчет их и есть одна из задач статистической физики.

Другие задачи статистической физики — определение функций распределения, изучение флуктуаций и т. п.

1.1. Статистический вес состояния

Мы рассматриваем системы, содержащие очень много частиц (в 1 см³ газа $\sim 10^{19}$ молекул) и имеющие поэтому очень много степеней свободы.

Для начала займемся замкнутыми системами.

Будем различать разные способы описания системы: микроскопическое и макроскопическое описания.

Начнем с микроскопического описания. Если бы можно было считать систему идеально изолированной, то можно было бы принять, что она находится в стационарном квантовом состоянии. Такое состояние задается огромным количеством квантовых чисел, равным числу степеней свободы. (В случае применимости классической механики состояние задается координатами и компонентами импульса каждой частицы.) Это очень громоздкое описание, которое не может быть сделано реально и не могло бы быть использовано. Волновая функция такого состояния

$\psi = \psi_{E,k}(q)$, где q обозначает совокупность координат системы, E — энергию состояния, а k — остальные квантовые числа, столь же громоздка и неудобна.

Макроскопическое описание состоит в том, что система характеризуется некоторым не слишком большим числом параметров. Это могут быть, например, энергия системы, ее объем, температура. Может быть, например, и функция распределения плотности газа по высоте, которая определяется, скажем, тысячей значений плотности при разных высотах (что все еще очень мало по сравнению с числом степеней свободы). Очевидно, макроскопическое описание состояния является более «грубым», но именно так состояние системы задается реально.

Каждое макросостояние может быть реализовано с помощью множества разных микросостояний.

Статистическим весом Γ макросостояния называется количество микросостояний, которые отвечают этому макросостоянию. $\Gamma = \Gamma(E, x)$, где E — энергия, x — остальные макроскопические параметры¹.

Абсолютно замкнутых систем не существует, какое-то внешнее влияние всегда есть. Тем не менее можно принять, что взаимодействие с окружающими телами достаточно мало, чтобы считать энергию определенной с высокой степенью точности. Однако считать, что рассматриваемая система находится в определенном стационарном микросостоянии, нельзя. Волновая функция большой системы, включающей как рассматриваемую «замкнутую», так и окружающие тела, зависит также и от координат частиц окружающих тел Q : $\psi = \psi(q, Q, t)$. Сама же по себе «замкнутая» система просто не имеет волновой функции². Вероятность того, что она находится в состоянии (E, k) , равна

$$\left| \int \psi_{E,k}^*(q) \psi(q, Q, t) dQ dq \right|^2.$$

В общем случае у нас довольно мало сведений об этих вероятностях. Ниже будет принято простейшее предположение, что за достаточно большое время происходит полное «перемешивание» всех микросостояний.

¹Речь идет все время о системах, которые поддерживаются в заданных условиях достаточно долго и успели прийти к равновесному состоянию. При этом, естественно, подразумевается, что системы ограничены в пространстве, так что энергетический спектр дискретный. В случае применимости классической механики подсчет числа состояний производится с использованием квазиклассического приближения.

²Состояние такой системы описывается *матрицей плотности*. Знакомство с матрицей плотности мы отложим до последнего раздела курса, где ее применение станет необходимо.

1.2. Микроканоническое распределение

Мы примем далее, что для замкнутой системы все микросостояния с заданной энергией равновероятны¹. Это утверждение можно рассматривать как основной постулат статистической физики. Его можно обосновывать теоретически (в исключительных случаях это удается), а можно проверять, сравнивая с экспериментом более или менее отдаленные следствия этого утверждения. Эксперимент подтверждает его. Такое распределение вероятностей состояний называют *микроканоническим*².

Замечательно, что этот постулат оказывается часто справедлив и для систем с малым числом частиц (например, для компьютерного газа, состоящего из нескольких шаров). Разумеется, при этом речь может идти только об усредненном за значительное время распределении.

Можно записать микроканоническое распределение для замкнутой системы таким образом:

$$w_k = \begin{cases} 1/\Gamma & \text{при } E_k \in (E, E + \Delta E), \\ 0 & \text{при } E_k \notin (E, E + \Delta E), \end{cases}$$

т. е. вероятность того, что система находится в любом из микросостояний с энергией E_k , лежащей в интервале от E до $E + \Delta E$, равна $1/\Gamma$.

Если выбрать ΔE порядка энергии молекулы, то этого более чем достаточно для наших целей, ибо макроскопическую систему, энергию которой зафиксирована и с худшой относительной точностью, чем $1/N$, где N — число молекул, можно считать замкнутой.

Если принять, что точность, с которой определяется энергия микросостояния, не выше, чем ΔE , то это же распределение вероятностей можно переписать так:

$$w(E, k) = A\delta(E - E_k)$$

(здесь A — нормировочная постоянная).

Если система классическая, то, согласно микроканоническому распределению, вероятность dw того, что система окажется в определенной области фазового пространства $dpdq$, равна

$$dw = A'\delta(H(q, p) - E)dpdq, \quad \text{где } dpdq = dp_1 \dots dp_s dq_1 \dots dq_s,$$

¹Такой подход придумал Л. Больцман.

²Иногда речь должна идти о состояниях не только с заданной энергией, но, например, и с заданным моментом импульса, — если рассматривается система, для которой момент импульса заведомо является интегралом движения, скажем, газ внутри гладкой сферы.

s — число степеней свободы, $H(q, p)$ — гамильтониан системы. (Вероятность реализации одного квантового состояния умножена на число квантовых состояний в указанной области фазового пространства, которое, согласно квазиклассическому приближению, равно $dpdq/(2\pi\hbar)^s$.)

Обычно число состояний очень быстро растет с энергией.

Рассмотрим пример — идеальный газ, содержащий N частиц. В пространстве импульсов $p_{1x}, p_{1y}, \dots, p_{Nz}$ точки с заданной энергией $E = \sum p^2/2m$ лежат на сфере радиуса $\sqrt{2mE}$. Число состояний определяется площадью сферы¹. Поэтому $\Gamma \propto E^{(3N-1)/2}$.

Время установления равновесия (называемое *временем релаксации*) бывает обычно довольно велико. Система может находиться в неполном равновесии (при котором, скажем, температуры разных ее частей различны). Такая возможность обеспечивается тем, что время релаксации к такому *частичному* равновесию гораздо меньше. Частичное равновесие системы можно характеризовать значениями каких-то параметров x .

Важно подчеркнуть, что различие в величине статистических весов для состояний, близких к равновесию и далеких от него, настолько велико, что фактически процесс установления равновесия (который можно описывать как изменение параметров x) идет почти все время в сторону возрастания величины $\Gamma(x)$. В конце концов реализуется² наиболее вероятное состояние.

Задачи³.

1. Найти сумму энергий идеального газа под поршнем в стоящем вертикально цилиндре и потенциальной энергии поршня.

Найти теплоемкость столба атмосферы.

Найти высоту центра тяжести столба атмосферы.

2. Из сосуда откачен воздух. Приоткрыв на короткое время кран, суд заполняют атмосферным воздухом. Какой будет температура во-

¹Точнее, для определения числа состояний нужно в качестве объема в импульсном пространстве взять объем сферического слоя малой толщины $\propto \Delta E$. Далее (в конце раздела 5.1) мы еще вернемся к определению Γ и покажем, что зависимость от ΔE фактически отсутствует, а $\Gamma = AE^{\frac{3N}{2}}V^N$. Впрочем, еще раньше мы увидим, что это уточнение при больших N несущественно.

²Все-таки малые отклонения от самого вероятного состояния возможны. Теория таких отклонений (флуктуаций) будет рассматриваться позже.

³Здесь, в порядке исключения, приведены задачи, не относящиеся непосредственно к теме лекций, но полезные для «восстановления формы», т. к. кое-что из курса молекулярной физики нужно вспомнить.

шедшего в сосуд воздуха, если теплообмен со стенками сосуда не успевает произойти. Каким будет давление воздуха в сосуде, когда температура его за счет теплообмена сравняется с температурой атмосферного воздуха?

3. Сравнить теплоемкость шарика, лежащего на столе, с теплоемкостью такого же шарика, подвешенного за верхнюю точку.

Ответ. Теплоемкость в обоих случаях одна и та же.

4. Конденсатор емкости \mathcal{C} заполнен диэлектриком, диэлектрическая проницаемость которого зависит от температуры: $\varepsilon(T)$. Один раз конденсатор присоединен к источнику напряжения U , а другой раз — заряжен и отключен от источника. Найти разность значений теплоемкости конденсатора в этих двух случаях, $c_Q - c_U$.
5. Найти диэлектрическую проницаемость газа свободных диполей в пределе высоких температур.

Конденсатор заполнен диэлектриком, для которого $\varepsilon = 1 + A/T$. Найти энергию конденсатора, заряженного до напряжения U .

6. Тонкая диэлектрическая пластина находится в большом плоском конденсаторе. Конденсатор медленно заряжают, так что в нем возникает электрическое поле \mathcal{E} . На сколько изменится температура пластины, если считать ее теплоизолированной? Диэлектрическая проницаемость пластины равна $\varepsilon(T)$, теплоемкость в расчете на единицу объема — \mathcal{C} . Изменение температуры можно считать малым.

Рассмотреть случаи, когда пластина расположена параллельно пластинам конденсатора и перпендикулярно им.

7. Конденсатор заполнен диэлектриком, для которого

$$\mathbf{D} = (\varepsilon(T) + \alpha(T)E^2)\mathbf{E}.$$

Сколько тепла выделится при изотермической зарядке конденсатора? На сколько изменится температура конденсатора, если считать его теплоизолированным? Теплоемкость конденсатора \mathcal{C} достаточно велика. (Изменение температуры можно считать малым.)

8. Диэлектрический шар находится в большом плоском конденсаторе. Конденсатор медленно заряжают, так что в нем возникает электрическое поле \mathcal{E} . На сколько изменится температура шара, если

считать его теплоизолированным? Диэлектрическая проницаемость шара равна $\epsilon(T)$, теплоемкость в расчете на единицу объема — \mathcal{C} . Изменение температуры можно считать малым.

9. Найти форму энергетического спектра электронов при β -распаде атомного ядра (${}^Z A \rightarrow {}^{Z+1} A + e + \bar{\nu}$), считая, что все квантовые состояния системы электрон+антинейтрино при заданной их суммарной энергии ($\varepsilon_e + \varepsilon_{\bar{\nu}} = E$) равновероятны¹. Энергией отдачи ядра можно пренебречь.

1.3. Энтропия и температура

Статистический вес Γ очень сильно меняется с энергией, поэтому удобнее рассматривать величину $S = \ln \Gamma$, которая изменяется гораздо более плавно. Будем называть эту величину энтропией. Впоследствии окажется, что это та самая энтропия, которая определяется в термодинамике.

Если система состоит из нескольких частей, взаимодействие между которыми можно не принимать во внимание, то статистический вес системы равен произведению статистических весов ее частей:

$$\Gamma(E_1 + E_2, x_1, x_2) = \Gamma_1(E_1, x_1) \cdot \Gamma_2(E_2, x_2).$$

Энтропия

$$S = S_1 + S_2, \quad S_1 = \ln \Gamma_1, \quad S_2 = \ln \Gamma_2$$

оказывается величиной аддитивной, что составляет еще одно удобство при использовании ее вместо статистического веса.

По мере приближения от частичного равновесия, характеризуемого значениями параметров x , к полному величины Γ и S возрастают, а в равновесном состоянии имеют максимум, как функции x . Параметр x принимает значение, определяемое условием $\partial S / \partial x = 0$.

Рассмотрим систему, состоящую из двух частей, между которыми есть тепловой контакт. Роль параметра x играет энергия одной из частей E_1 . Энергия второй части $E_2 = E - E_1$ при этом не является независимым параметром. Энтропия системы при заданном значении E_1 (т. е. при частичном равновесии)

$$S(E, E_1) = S_1(E_1) + S_2(E_2).$$

¹Это предположение справедливо с высокой степенью точности. Разумеется, причина этого не в упоминавшемся выше «перемешивании», а в особенностях β -распада. Эта задача приведена здесь как пример эффективного использования важного для нас представления о статистическом весе.

Энергия передается от одной системы к другой посредством теплообмена:

$$dE_1 = \delta Q = -dE_2.$$

Условие равновесия $\frac{\partial S}{\partial E_1} = 0$ дает

$$\frac{\partial S_1}{\partial E_1} + \frac{\partial S_2}{\partial E_1} = \frac{\partial S_1}{\partial E_1} - \frac{\partial S_2}{\partial E_2} = 0.$$

Вводим обозначение

$$\beta_i = \frac{\partial S_i}{\partial E_i}, \quad i = 1, 2$$

и получаем условие равновесия $\beta_1 = \beta_2$.

Изменение параметра E_1 означает в рассматриваемом случае передачу тепла от одной части системы к другой. Осуществляется переход к состоянию с большей энтропией системы, т. е. $dS \geq 0$:

$$dS = \frac{\partial S_1}{\partial E_1} dE_1 + \frac{\partial S_2}{\partial E_2} dE_2 = (\beta_1 - \beta_2) \delta Q \geq 0. \quad (1)$$

Если $\beta_1 > \beta_2$, то $\delta Q > 0$, если $\beta_1 < \beta_2$, то $\delta Q < 0$, т. е. тепло передается к той части системы, у которой больше величина β . Таким образом, соотношение величин β для разных частей определяет направление потоков тепла, а равновесию отвечает равенство значений β . Именно такую роль, как известно, играет температура (только большим значениям β соответствуют меньшие значения T).

Условие $\beta_1(E_1) = \beta_2(E - E_1)$ определяет значения энергий $E_1 = E_{10}$ и $E_2 = E_{20}$, отвечающие равновесию.

Как выражается при условии равновесия энтропия полной системы через энтропии ее частей? Статистический вес состояния с энергией E

$$\Gamma(E) = \sum_{E_1} \Gamma_1(E_1) \Gamma_2(E - E_1), \quad (2)$$

где суммирование ведется по всем существенно различным значениям E_1 . Число слагаемых можно оценить как $E/\Delta E$, где ΔE — точность определения энергии. Взяв $E/\Delta E \approx N$, мы, скорее всего, несколько завышаем число слагаемых. Сумма в правой части (2) лежит в пределах, которые выражаются через наибольшее слагаемое:

$$\Gamma_1(E_{10}) \Gamma_2(E_{20}) < \Gamma(E) < \frac{E}{\Delta E} \Gamma_1(E_{10}) \Gamma_2(E_{20}).$$

Энтропия же оказывается в пределах

$$S_1(E_{10}) + S_2(E_{20}) < S(E) < S_1(E_{10}) + S_2(E_{20}) + \ln\left(\frac{E}{\Delta E}\right).$$

Пренебрегая слагаемым $\sim \ln N$, получаем окончательно

$$S(E) = S_1(E_{10}) + S_2(E_{20}).$$

Рассмотренный нами процесс установления теплового равновесия между частями системы является, как говорят, неравновесным. Равновесный (иногда говорят *квазистационарный, обратимый*) процесс нагревания или охлаждения части «1» системы можно провести, медленно нагревая или охлаждая состоящую с ней в тепловом контакте часть «2», например, за счет совершающей над ней работы. Скоростью такого процесса можно управлять, можно и обращать его вспять (в отличие от скорости и направления процесса установления равновесия). Энергия, получаемая при этом частью «1», $dE_1 = dS_1/\beta_1$, представляет собой теплоту и выражается в термодинамике как $\delta Q = T_1 dS_1$.

Естественно отождествить введенные выше величины S и $1/\beta$ с термодинамическими энтропией и температурой¹.

Чтобы убедиться в правильности именно такого выбора связи между величинами β и T , рассмотрим пример — идеальный газ. Для идеального газа

$$\Gamma = AE^{\frac{3N}{2}}, \quad S = \frac{3N}{2} \ln E + S_0, \quad \frac{1}{T} = \frac{\partial S}{\partial E} = \frac{3N}{2E}, \quad E = \frac{3}{2} NT$$

($S_0 = \ln A$ не зависит от энергии). Итак, для идеального газа определение температуры подтверждается, и этого уже, в принципе, достаточно.

Еще один пример: совокупность N одинаковых «двухуровневых» частиц. Фактически речь идет о таком случае, когда можно выделить степени свободы частиц, отвечающие паре уровней энергии и слабо связанные с остальными степенями свободы тела, так что переход к равновесию для одних лишь этих степеней свободы происходит гораздо быстрее, чем установление полного равновесия. Именно такое частичное

¹Это температура, измеренная в энергетических единицах; для перехода к температуре \tilde{T} , выраженной в градусах, нужно во всех формулах сделать замену $T \rightarrow k_B \tilde{T}$, где k_B — постоянная Больцмана ($k_B = 1,38 \cdot 10^{-23}$ Дж/К = $(1/11600)$ эВ/К), и ввести размерную энтропию: $\tilde{S} = k_B S$. \tilde{S} измеряется в Дж/К.

Условие равновесия при тепловом контакте и направление потока теплоты можно было бы задавать, объявив «температуру» любую монотонно убывающую функцию величины β . Эта функция должна, очевидно, быть универсальной для всех тел.

равновесие мы и рассматриваем. К такому случаю относится, в частности, разреженный газ (либо «раствор» в твердом теле или в жидкости) частиц со спином $\frac{1}{2}$, находящийся в магнитном поле.

Примем уровни энергии частиц равными 0 и ε . Пусть система имеет энергию E . $L = E/\varepsilon$ порций энергии распределяются между N частицами. Число способов, какими это можно сделать, и определяет статистический вес:

$$\Gamma = C_N^L = \frac{N!}{L!(N-L)!}, \quad S = \ln \Gamma. \quad (3)$$

Имея в виду, что числа N и L очень большие, будем далее пользоваться приближенной формулой $\frac{d}{dL} \ln L! \approx \ln L$. Связь температуры с энергией системы определяется равенством

$$\frac{1}{T} = \frac{\partial S}{\partial E} = \frac{1}{\varepsilon} \frac{\partial}{\partial L} \ln \frac{N!}{L!(N-L)!} = \frac{1}{\varepsilon} \ln \frac{N-L}{L}.$$

Отсюда

$$\frac{L}{N-L} = e^{-\varepsilon/T}. \quad (4)$$

L — число частиц на верхнем уровне, $N-L$ — на нижнем, так что мы получили известное соотношение Больцмана.

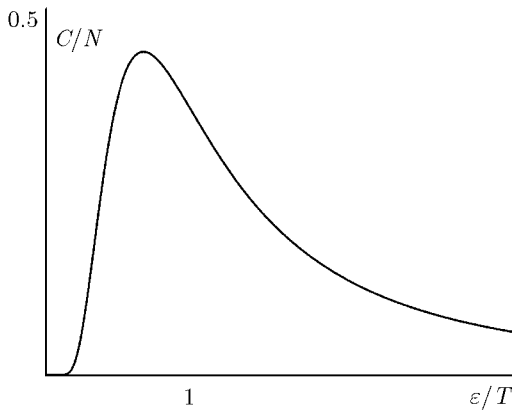


Рис. 1. Теплоемкость двухуровневой системы.

Найдем энергию и теплоемкость рассматриваемой системы частиц:

$$E = \varepsilon L = \frac{N\varepsilon}{e^{\varepsilon/T} + 1},$$

$$C = \frac{dE}{dT} = \frac{N \cdot e^{\varepsilon/T}}{(1 + e^{\varepsilon/T})^2} \cdot \frac{\varepsilon^2}{T^2}.$$

Теплоемкость обращается в нуль как при малых температурах («в обращении» слишком малые порции энергии), так и при очень больших (населенности обоих уровней уже сравнялись). При $T \approx 0,42\varepsilon$ теплоемкость достигает максимального значения $C \approx 0,44N$ (рис. 1).

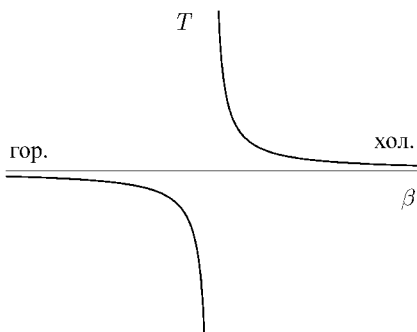


Рис. 2. Тело с отрицательной абсолютной температурой горячее любого тела с положительной (при контакте передает ему тепло).

Заметим, что любое тело с $T > 0$. При таком «остывании» тела с исходной отрицательной температурой величина $\beta = 1/T$ изменяется без скачков (см. рис. 2).

Заметим, что в теории информации используется понятие, родственное понятию энтропии, а именно *количество информации*, определяемое как $I = -\log_2 w$, где w — вероятность данного сообщения. В простейшем случае, когда нет никакой предварительной информации, запись длиной L битов (двоичных разрядов) может содержать $G = 2^L$

¹Это связано с нетипичным поведением функции $\Gamma(E)$: при больших значениях энергии статистический вес (3) — убывающая функция E . Это, в свою очередь, обусловлено тем фактом, что энергия рассматриваемой системы частиц ограничена: $E \leq N\varepsilon$.

Если можно не учитывать связь с другими степенями свободы, то приемлемы и отрицательные значения температуры¹. Важный пример реализации отрицательных температур — инверсная заселенность уровней энергии в лазере.

При контакте с термостатом система с отрицательной температурой отдает тепло, а температура ее понижается (растет по модулю), пока не сравняется с температурой термостата, пройдя через значение $T = -\infty$. Таким образом, система с отрицательной температурой должна рассматриваться не как «холодная», а, наоборот, как более горячая, чем любое тело с $T > 0$. При таком «остывании» тела с исходной отрицательной температурой величина $\beta = 1/T$ изменяется без скачков (см. рис. 2).

различных сообщений, вероятность определенного сообщения $w = 1/G$, а количество информации в конкретном сообщении $I = -\log_2 w = L$ равно количеству битов в его записи. Близость понятий «энтропия» и «количество информации» позволяет понять, между прочим, механизм роста энтропии замкнутой системы, в которой «работает» демон Максвелла.

Задачи.

- Цепочка состоит из N звеньев длины a . Каждое звено может свободно поворачиваться, ориентируясь по или против оси x . Один конец цепочки закреплен, к другому подвешен груз f . Найти зависимость среднего значения длины цепочки от температуры. (Это примитивная модель молекулы каучука. Она «улавливает» необычную зависимость длины молекул от температуры.)

Для резины $\left(\frac{\partial V}{\partial T}\right)_P < 0$. Найти знак величины $\left(\frac{\partial T}{\partial V}\right)_S$.

- Для системы, состоящей из большого числа N одинаковых гармонических осцилляторов, найти статистический вес состояния с энергией $E = L\hbar\omega$ (отсчет энергии — от уровня нулевых колебаний). Найти зависимость теплоемкости системы от температуры.

Ответ. $\Gamma = C_{N+L-1}^L$, $C/N = x^2 / \operatorname{sh}^2 x$, где $x = \hbar\omega/2T$.

1.4. Работа при постоянной энтропии

Нами было получено первое слагаемое в соотношении

$$dE = T dS - P dV.$$

Теперь займемся получением второго.

Мы рассматриваем тело, находящееся в заданном объеме и в каких-то заданных внешних полях. Величинами полей, размером и формой заданного объема, может быть, какими-то еще параметрами определяются уровни энергии тела и его квантовые состояния. Обозначим λ один из этих параметров. Мы будем называть его обобщенной термодинамической координатой. Изменение параметра λ приводит к изменению уровней энергии. Величину

$$dE_n = \Lambda_n d\lambda, \text{ где } \Lambda_n = \frac{\partial E_n}{\partial \lambda},$$

можно рассматривать как элементарную работу, совершающую над телом, находящимся в n -м состоянии, при изменении координаты λ , а Λ_n — как

соответствующую этой координате обобщенную силу. Для тела, находящегося в состоянии термодинамического равновесия, среднее значение обобщенной силы определяется, естественно, как

$$\Lambda = \langle \Lambda_n \rangle = \sum w_n \Lambda_n.$$

Пусть тело теплоизолировано и внешнее воздействие на него сводится к малому изменению $d\lambda$ параметра λ . Изменение энергии тела

$$dE = d \sum w_n E_n = \sum dw_n E_n + \sum w_n dE_n.$$

Имея в виду, что распределение вероятностей микроканоническое, получаем $\sum dw_n E_n = E \sum dw_n = 0$, т.к. $\sum w_n = 1$. Вторая же сумма представляется в виде $\sum w_n dE_n = \sum w_n \Lambda_n d\lambda = \Lambda d\lambda$. Результат ровным счетом такой, как был бы при постоянных значениях w_n , чему отвечает постоянное значение статистического веса Γ и энтропии $S = \log \Gamma$.

Постоянство энтропии в процессе связано с тем, что выполнены условия равновесия. При изменении λ уровни энергии разных состояний изменяются по-разному — какие-то возрастают, другие — убывают. Распределение же по состояниям остается микроканоническим — согласно нашему предположению процесс происходит достаточно медленно, чтобы успевало происходить необходимое для этого перераспределение по состояниям.

Например, при сжатии газа в цилиндре с поршнем¹ из-за столкновений с движущимся поршнем растут только компоненты скорости молекул, параллельные оси цилиндра. Однако тут же происходит обмен энергией в результате столкновений. Можно сказать для удобства рассуждений, что возрастает температура продольного по отношению к оси цилиндра движения, а вслед за тем — и поперечного. Поршень движется достаточно медленно, чтобы обе эти температуры оставались равны друг другу, что и обеспечивает постоянство энтропии. (Согласно (1) из раздела 1.3 $dS = 0$ при $\beta_1 = \beta_2$.) Итак, мы получили основное соотношение термодинамики

$$d\langle E \rangle = TdS + \Lambda d\lambda.$$

Если рассматривается несколько параметров, то в выражении для работы их вклады суммируются.

¹Мы имеем в виду распределение по состояниям всего газа в цилиндре, а не отдельных молекул. Скажем, состояния, отвечающие движению молекул преимущественно вдоль оси цилиндра или поперек — при одной и той же полной энергии газа.

Легко проверить, что при $\lambda \equiv V \equiv L^3$ для газа обобщенная сила $\frac{\partial E}{\partial \lambda} = -P$, где P — давление.

Пример 1. Идеальный газ, состоящий из N частиц, находится в поле тяжести. Пусть $\lambda \equiv Nmg$. Энергия одной частицы может быть разбита на два слагаемых:

$$\varepsilon = \varepsilon_{\perp} + \varepsilon_z,$$

где ε_{\perp} не зависит от g , а $\varepsilon_z = mgz_{\max} = \frac{3}{2}mg\langle z \rangle$ — вклады в энергию частицы от горизонтального и вертикального движения¹.

$$\varepsilon_z \propto (n_z g)^{2/3}; \quad \frac{1}{m} \cdot \frac{\partial \varepsilon_z}{\partial g} = \frac{2}{3} \cdot \frac{\varepsilon_z}{mg} = \frac{2}{3} \cdot z_{\max}.$$

Вычислим Λ :

$$\begin{aligned} \Lambda &= \frac{\partial}{Nm\partial g} \left(\sum w_n \sum_a (\varepsilon_{\perp} + \varepsilon_z) \right) = \\ &= \frac{1}{N} \sum w_n \sum_a \frac{2}{3} z_{\max} = \frac{1}{N} \sum \sum w_n \langle z_n \rangle = \langle z \rangle. \end{aligned}$$

Итак, обобщенная сила есть высота центра тяжести столба газа.

Пример 2. Газ частиц со спинами $\frac{1}{2}$ в магнитном поле. Энергия одной частицы $\varepsilon = -\mu_z \mathcal{H}$, где проекция момента на магнитное поле \mathcal{H} может принимать значения $\mu_z = \pm\mu$ (μ — магнитный момент частицы).

Энергия N частиц

$$E = - \sum_a \mu_z \mathcal{H} = -\mu(N_{\uparrow} - N_{\downarrow}) \mathcal{H},$$

где N_{\uparrow} и $N_{\downarrow} = N - N_{\uparrow}$ — количества частиц, спины которых ориентированы по магнитному полю и против него. Постоянство статистического веса $\Gamma = C_N^{N_{\uparrow}}$ (и энтропии) означает постоянство величин N_{\uparrow} и N_{\downarrow} . Поэтому обобщенная термодинамическая сила, соответствующая величине магнитного поля, есть

$$\frac{\partial E}{\partial \mathcal{H}} = -\mu(N_{\uparrow} - N_{\downarrow}) = -\langle \mathcal{M} \rangle,$$

где \mathcal{M} — магнитный момент системы.

¹Используя квазиклассическое правило квантования, $\oint p_z dz = 2\pi\hbar(n_z + 3/4)$ (и отбрасывая несущественную здесь добавку $3/4$) получаем

$$\int_0^{z_{\max}} \sqrt{2m(\varepsilon_z - mgz)} dz = \pi\hbar n_z = \frac{2}{3}\sqrt{2g}mz_{\max}^{3/2}.$$

Найдем зависимость намагниченности $M = \mathcal{M}/V$ от температуры. Газ магнитных диполей отличается от двухуровневой системы, рассмотренной предыдущем разделе, только началом отсчета энергии. Поэтому

$$\frac{N_{\downarrow}}{N_{\uparrow}} = e^{-2\mu\mathcal{H}/T} \quad (5)$$

и намагниченность

$$M = \frac{N\mu}{V} \frac{e^{\mu\mathcal{H}/T} - e^{-\mu\mathcal{H}/T}}{e^{\mu\mathcal{H}/T} + e^{-\mu\mathcal{H}/T}} = \frac{N\mu}{V} \operatorname{th} \frac{\mu\mathcal{H}}{T}. \quad (6)$$

Магнитная восприимчивость

$$\chi = \left(\frac{\partial M}{\partial \mathcal{H}} \right) \Big|_{\mathcal{H} \rightarrow 0} = \frac{N\mu^2}{VT}.$$

Это эффект, называемый парамагнетизмом Паули.

Замечательной особенностью системы спинов является тот факт, что изменение величины магнитного поля при сохранении населенностей уровней равносильно изменению температуры системы, хотя бы никакого обмена энергией между спинами и не происходило. Можно сказать, что при изменении величины однородного магнитного поля релаксация в системе спинов происходит мгновенно¹.

На взаимодействии с такой системой спинов, охлаждающейся при уменьшении магнитного поля, основан, в частности, метод охлаждения вещества, содержащего парамагнитную примесь.

Изменив достаточно быстро направление поля на противоположное (но все-таки не слишком быстро, чтобы не оказались вихревые токи), можно получить и отрицательную температуру.

Все это возможно потому, что время выравнивания температур системы спинов (ядерных) и движения атомов (называемое временем спин-решеточной релаксации) бывает очень велико (до десятков минут).

При относительно медленном изменении магнитного поля происходит сразу же обмен энергией с движением атомов. При быстром — такой обмен не успевает происходить. Поэтому энтропия не изменяется либо при процессе быстром по отношению к времени спин-решеточной релаксации, либо при медленном.

В дальнейшем нам предстоит рассматривать макроскопические состояния тела, находящегося в контакте с другими телами, так что энергия его не является строго определенной. Определение энтропии тела,

¹При изменении направления магнитного поля происходят гораздо более сложные явления.

$S = \ln \Gamma(E)$, можно видоизменить так, чтобы оно годилось и для этого случая. Подставим $\Gamma = 1/w_k$: $S = -\ln w_k$, где w_k — вероятность одного (любого) состояния для замкнутого тела с энергией E . Определим теперь энтропию как $S = -\langle \ln w \rangle = -\sum w_k \ln w_k$, где суммирование производится по всем микроскопическим состояниям¹. Для тела с фиксированной энергией все значения вероятностей доступных состояний одинаковы, так что усреднение ничего не меняет и определение совпадает с прежним. (Мы принимаем, что $w_k \ln w_k = 0$ при $w_k = 0$.)

1.5. Каноническое распределение

Пусть тело находится в термостате и может обмениваться с термостатом энергией только путем передачи тепла. (Работу исключаем, положив в простейшем случае $V = const.$) Поставим вопрос: какова вероятность $w(|k\rangle)$ того, что тело окажется в заданном микросостоянии $|k\rangle$?

Обозначим энергию тела E , энергию термостата — E_0 . Тело и термостат образуют замкнутую систему. Ее энергия $E_{\text{полн}} = E_0 + E$ остается постоянной, т. е. распределение по состояниям для этой замкнутой системы микроканоническое. Статистический вес этой замкнутой системы есть $\Gamma_{\text{полн}}(E_{\text{полн}})$, а вероятность реализации каждого из состояний с энергией $E_{\text{полн}}$ равна $w = 1/\Gamma_{\text{полн}}$. Число состояний замкнутой системы в том случае, когда тело находится в одном определенном микросостоянии $|k\rangle$, есть просто статистический вес термостата для энергии $E_0 = E_{\text{полн}} - E$. Получили ответ:

$$w(|k\rangle) = \Gamma_0(E_{\text{полн}} - E)w.$$

Отметим, что с ростом энергии E вероятность реализации состояния убывает. Удобно разложить по относительно малой величине E , но не статистический вес, так как $\Gamma(E)$ — слишком быстро изменяющаяся функция, а энтропию:

$$\begin{aligned} w(|k\rangle) &= w\Gamma_0(E_{\text{полн}} - E) = we^{S_0(E_{\text{полн}} - E)}, \\ S_0(E_{\text{полн}} - E) &= S_0(E_{\text{полн}}) - E \frac{\partial S_0(E_{\text{полн}})}{\partial E_0} + \frac{E^2}{2} \frac{\partial^2 S_0}{\partial E_0^2} + \dots = \\ &= S_0(E_{\text{полн}}) - \frac{E}{T_0} - \frac{E^2}{2T_0^2 C_{V0}}. \end{aligned}$$

¹Именно такое определение энтропии было дано Больцманом (хотя буквально подобной формулы он не писал).

Здесь использованы равенства

$$\frac{\partial}{\partial E} \frac{1}{T} = -\frac{1}{T^2} \left(\frac{\partial T}{\partial E} \right)_V = -\frac{1}{T^2} \cdot \frac{1}{C_V}.$$

C_{V0} — теплоемкость термостата, она пропорциональна числу частиц в термостате, т. е. очень велика, поэтому последнее слагаемое можно отбросить.

Тогда в разложении S_0 зависимость от E остается только во втором слагаемом и для вероятности получается

$$w(|k\rangle) = \frac{1}{Z} e^{-E/T_0}.$$

Здесь $Z = \sum e^{-E_k/T_0}$ (сумма по всем микросостояниям тела) — нормировочный множитель, который носит название *статистическая сумма*¹. Замечательно, что в итоге единственным параметром, характеризующим термостат, оказалась его температура. Это каноническое распределение. Его же называют распределением Гиббса. Вопрос рассмотрен. Далее обозначаем $w(|k\rangle) \equiv w_k$.

Другой вопрос: какова вероятность того, что тело имеет энергию E ?

Ответ: вероятность реализации одного состояния с энергией E надо умножить на число состояний с этой энергией $\Gamma(E)$:

$$W(E) = \Gamma(E) \cdot w_k = \Gamma(E) \cdot \frac{1}{Z} \cdot e^{-E/T_0} = \frac{1}{Z} e^{S(E)-E/T_0}.$$

Здесь $\Gamma(E)$ резко растет с энергией (если рассматриваемое тело не слишком мало), а $w_k \propto e^{-E/T_0}$ резко убывает.

Функция $W(E)$ «сосредоточена» в очень узком пике. Поэтому энергия тела с подавляющей вероятностью («почти всегда») оказывается в пределах этого пика. С высокой точностью можно считать, что наиболее вероятное значение энергии совпадает с ее средним значением, а энергия тела почти всегда равна $E = \langle E \rangle$. Чуть ниже мы определим ширину указанного пика.

Оказывается, что статистическая сумма

$$Z = \sum e^{-E_k/T} = \sum e^{-\beta E_k}$$

¹Часто используют жаргонные выражения «статвес», «статсумма».

определяет все термодинамические свойства тела. В частности, среднее значение энергии тела в термостате

$$\begin{aligned} -\frac{1}{Z} \cdot \frac{\partial Z}{\partial \beta} &= \frac{1}{Z} \cdot \sum E_n e^{-\beta E_n} = \sum E_n w_n = \langle E \rangle; \\ \langle E \rangle &= -\frac{\partial}{\partial \beta} \ln Z = T^2 \frac{\partial}{\partial T} \ln Z, \quad \text{так как } d\beta = -\frac{dT}{T^2}. \end{aligned}$$

Воспользуемся статистической суммой $Z(T)$ для вычисления полуширины распределения вероятностей по энергиям $\Delta E = \sqrt{\langle (E - \langle E \rangle)^2 \rangle}$:

$$\begin{aligned} \frac{1}{Z} \cdot \frac{\partial^2 Z}{\partial \beta^2} &= \frac{1}{Z} \sum E_n^2 e^{-\beta E_n} = \sum w_n E_n^2 = \langle E^2 \rangle, \\ \langle (\Delta E)^2 \rangle &= \langle E^2 \rangle - \langle E \rangle^2 = \frac{1}{Z} \cdot \frac{\partial^2 Z}{\partial \beta^2} - \frac{1}{Z^2} \cdot \left(\frac{\partial Z}{\partial \beta} \right)^2, \\ -\frac{\partial \langle E \rangle}{\partial \beta} &= \frac{\partial}{\partial \beta} \frac{1}{Z} \frac{\partial Z}{\partial \beta} = \frac{1}{Z} \frac{\partial^2 Z}{\partial \beta^2} - \frac{1}{Z^2} \left(\frac{\partial Z}{\partial \beta} \right)^2. \end{aligned}$$

В итоге

$$\langle (\Delta E)^2 \rangle = -\frac{\partial \langle E \rangle}{\partial \beta} = T^2 \frac{\partial \langle E \rangle}{\partial T} = T^2 C_V.$$

Так как теплоемкость тела обычно пропорциональна числу N составляющих его атомов $C_V \propto N$, то $\Delta E \propto \sqrt{N}$, так что $\Delta E/E \propto 1/\sqrt{N} \ll 1$. Распределение вероятностей различных значений энергии $W(E)$, действительно, имеет очень острый максимум. Такова же оценка соответствующего отклонения значения температуры тела от наиболее вероятного: $\Delta T/T \propto 1/\sqrt{N}$ — флуктуации температуры тем больше, чем меньше тело.

Энтропия тела в термостате определяется как $S = -\langle \ln w_n \rangle$:

$$\begin{aligned} S &= -\sum w_n \ln w_n = -\sum \frac{e^{-E_n/T}}{Z} \ln \left(\frac{e^{-E_n/T}}{Z} \right) = \\ &= -\sum w_n \left(-\frac{E_n}{T} - \ln Z \right) = \frac{\langle E \rangle}{T} + \ln Z. \end{aligned}$$

Отсюда

$$-T \ln Z = \langle E \rangle - TS = F(T, \lambda).$$

Это свободная энергия, причем выраженная через температуру и термодинамические координаты λ .

Проверим, что полный дифференциал

$$dF = \frac{\partial F}{\partial T} dT + \frac{\partial F}{\partial \lambda} d\lambda$$

равен $-SdT + \Lambda d\lambda$.

$$\begin{aligned} \frac{\partial F}{\partial T} &= -\frac{\partial}{\partial T} T \ln Z = -\ln Z - T \frac{\partial \ln Z}{\partial T} = \frac{F}{T} - \frac{E}{T} = -S, \\ \frac{\partial F}{\partial \lambda} &= -T \frac{\partial \ln Z}{\partial \lambda} = -\frac{T}{Z} \frac{\partial}{\partial \lambda} \sum e^{-E_n(\lambda)/T} = \\ &= -\frac{T}{Z} \cdot \sum e^{-E_n/T} \left(-\frac{1}{T} \frac{\partial E_n}{\partial \lambda} \right) = \sum w_n \frac{\partial E_n}{\partial \lambda} = \left\langle \frac{\partial E_n}{\partial \lambda} \right\rangle = \Lambda. \end{aligned}$$

Мы нашли, таким образом, второй способ решения задачи определения термодинамических свойств системы по ее энергетическому спектру. Это способ, применяемый чаще, чем подсчет статистического веса.

Чем различаются два ответа? Решение, основанное на микроканоническом распределении, определяет $S(E, \lambda)$, а на каноническом — $F(T, \lambda)$. Если можно пренебречь флуктуациями, то оба решения приводят к одним и тем же уравнениям состояния, теплоемкости и т. д., разница только в удобстве вычислений. Тут, как правило, выигрывает каноническое распределение.

В некотором смысле задача статистической физики — определение макроскопических свойств системы по микроскопическим — решена (даже двумя способами). В дальнейшем остаются частные (и самые интересные) задачи.

Для двух независимых тел, находящихся в одном термостате и формально объединенных в одно, статсумма равна произведению их статсумм, а свободная энергия — сумме их свободных энергий.

Если мысленно разделить замкнутое тело на относительно малые, но все еще макроскопические части, то для каждой из них остальная часть тела будет играть роль термостата, и при этом не очень-то важно, строго фиксирована энергия этого термостата или чуть-чуть флуктуирует: термостат в распределении «представлен» только температурой, а ее флуктуации очень малы, — флуктуации температуры любой малой части, как мы знаем, гораздо больше. Термодинамические же функции тела получаются суммированием вкладов от отдельных частей. В той мере, в

какой эти условия выполнены, канонический подход даст правильные термодинамические свойства и для теплоизолированной системы¹.

Каноническое распределение по состояниям может относиться и к малым, даже микроскопическим «телам», вплоть до отдельных молекул. Разумеется, термодинамические величины для микроскопических тел не могут быть введены. Впрочем, как можно видеть из приведенных выше примеров, иногда имеет смысл вводить, например, теплоемкость в расчете на одну частицу, $c = C/N$ (C — теплоемкость N частиц).

Приведем пример вычисления статистической суммы. Пусть «тело» в термостате — это совокупность N частиц, каждая из которых может находиться в одном из двух состояний — с энергиями ε_1 и ε_2 . Каждую из частиц можно рассматривать как независимую от всех остальных и записать для нее статистическую сумму: $z = e^{-\varepsilon_1/T} + e^{-\varepsilon_2/T}$. Для N частиц статистическая сумма — произведение N статсумм отдельных частиц: $Z = z^N$.

Свободная энергия

$$F = -T \ln Z = -NT \ln z = -NT \ln(e^{-\varepsilon_1/T} + e^{-\varepsilon_2/T}).$$

Теперь можно было бы выразить энтропию, энергию, теплоемкость системы, но эти величины мы уже находили, используя микроканоническое распределение. Определенное упрощение по сравнению с расчетом для замкнутой системы достигается за счет того, что энергия системы в термостате может принимать все возможные значения.

Полезно представить себе, как статистическая сумма системы N частиц определяется без разбиения ее на N независимых частей. Энергия тела $E = \sum_{i=1}^N \varepsilon^{(i)}$, где энергия i -й по счету частицы $\varepsilon^{(i)}$ может принимать любое из двух значений ε_1 или ε_2 . Статистическую сумму можно представить в виде

$$Z = (e^{-\varepsilon_1/T} + e^{-\varepsilon_2/T})(e^{-\varepsilon_1/T} + e^{-\varepsilon_2/T}) \dots (e^{-\varepsilon_1/T} + e^{-\varepsilon_2/T}),$$

где каждая скобка отвечает одной из частиц. Действительно, открывая скобки, мы фактически будем перебирать все возможные состояния каждой из частиц.

Можно представить статистическую сумму и среднее значение любой величины в весьма компактном виде. Пусть \hat{H} — гамильтониан тела,

¹Позже будет показано, что флуктуации объемов отдельных частей не влияют на флуктуации их температур.

помещенного в термостат, E_n и $\psi_{nk} \equiv |nk\rangle$ — его собственные значения и собственные функции. Заметим, что в \hat{H} не включено взаимодействие тела с термостатом.

Статистическую сумму тела можно записать в виде

$$Z = \sum \langle nk | e^{-\hat{H}/T} | nk \rangle = Sp \left(e^{-\hat{H}/T} \right),$$

а среднее значение какой-либо величины A , относящейся к этому телу, в виде

$$\langle A \rangle = \sum \langle nk | \hat{A} e^{-\hat{H}/T} | nk \rangle / Z = Sp \left(\hat{A} \hat{\rho} \right),$$

где

$$\hat{\rho} = e^{-\hat{H}/T} / Z.$$

Оператор $\hat{\rho}$ называют *статистическим оператором*.

Собственные значения гамильтонiana практически всегда вырожденные. Приведенные выражения не зависят от того, какой набор функций $|nk\rangle$ будет выбран. Это позволяет, между прочим, выбирать эти функции наиболее удобными для конкретного расчета.

Но не следует думать, что имея компактную запись для средних значений величин, нам остается только включить (в своей голове) «вычислительную машину».

Пусть, например, рассматриваемое «тело» представляет собой пар с капелькой воды. Тогда полное усреднение, подразумеваемое в приведенных формулах, означало бы равномерное «размазывание» капельки по всему объему. Для задач, которые могли бы быть нам интересны (скажем, определение равновесного значения плотности капельки), подобное усреднение совершенно неприемлемо.

Еще пример, с которым мы встретимся далее, — возникновение спонтанной намагниченности в системе взаимодействующих друг с другом магнитных моментов в отсутствие внешнего поля. Направление возникающего момента может быть любым, поэтому среднее значение его равно нулю. Прием, позволяющий найти величину спонтанного момента, состоит в том, чтобы «включить» слабое внешнее поле, фиксирующее направление момента, а затем устремить это поле к нулю.

Задачи.

1. Найти теплоемкость двухуровневой системы с сильно вырожденным верхним уровнем.

Ответ: $C/N = (\varepsilon/T)^2 e^{\varepsilon/T - \zeta} / (e^{\varepsilon/T - \zeta} - 1)^2$, где $\zeta = \log g$, g — кратность вырождения верхнего уровня. Максимум теплоемкости при $T \sim \varepsilon/\zeta$, ширина «пика» $\delta T \sim \varepsilon/\zeta^2$ (рис. 3).

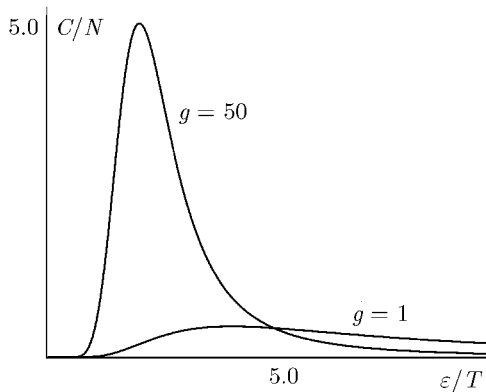


Рис. 3. Теплоемкость системы с сильно вырожденным верхним уровнем.

2. Газ находится в объеме V , в малой части которого V_1 имеется «потенциальная яма» глубины $-U_0$. Найти теплоемкость газа.

1.6. Усреднение по времени и по ансамблю

Обычно в квантовой механике под средним значением какой-нибудь величины понимают «среднее по ансамблю», полагая, что исследуется, скажем, миллион одинаковых атомов, поставленных в одинаковые условия, — «ансамбль». Аналогичную ситуацию можно иметь в виду, если идет речь, например, о распределении молекул газа по скоростям.

Однако для макроскопической системы, скажем, газа в каком-то баллоне, подобное рассуждение оказывается подчеркнуто риторическим, ансамбль одинаковых баллонов с газом является «только мысленно возможным». Тем не менее в статистической физике мы практически всегда подразумеваем усреднение по ансамблю. Реально же наблюдается обычно среднее по времени¹. Можно ли доказать, что находимые нами средние совпадают со средними по времени?

Попытки доказать это для замкнутой системы, описываемой классической механикой, основаны на представлении, что точка в 2s-мерном

¹Интересный пример усреднения по ансамблю представляется в экспериментах на ускорителях со встречными пучками. Сгустки, содержащие $\sim 10^{10}$ частиц, сталкиваются миллионы раз в секунду. При этом состояние газа частиц в каждом из сгустков можно (с некоторыми оговорками) считать равновесным. Наблюдаемые явления фиксируются детектором при каждом столкновении, а затем усредняются по ансамблю столкновений.

пространстве канонических переменных (например, координат и импульсов), изображающая состояние системы (s — число степеней свободы), обойдет всю поверхность постоянной энергии и равномерно «заполнит» ее. Это так называемая эргодическая гипотеза, которой когда-то уделяли большое внимание. Однако время, за которое это могло бы произойти, заведомо столь велико, что во много раз превышает возможности наблюдения (и возраст Вселенной). (Для математических исследований задача об эргодичности той или иной системы остается привлекательной.)

В связи с этим нужно отметить, что было бы неправильно думать, что принятное нами за исходное микроканоническое распределение определяет реально наблюдаемую частоту повторения тех или иных микроскопических состояний. Впрочем, сходным образом обстоит дело и в задачах теории вероятностей. Мы, не колеблясь, скажем, что вероятность тысячекратного подряд выпадения «орла» при бросании монеты составляет $1/2^{1000}$, но понимать эту вероятность как частоту повторения заданного события было бы бессмысленно, т. к. такое событие не произойдет ни разу за разумное время. Так же обстоит дело и с каноническим распределением: мы не стесняемся распространять распределение Гиббса до сколь угодно больших энергий, понимая, что вклад области больших энергий пренебрежимо мал как для реально наблюдаемого распределения, так и для расчета (например, для расчета статистической суммы).

Скорее всего, упомянутое выше сведение микроканонического распределения к каноническому — для малых частей замкнутой системы — показывает, на каком пути можно ожидать успешного доказательства. За достаточно малый промежуток времени (для газа — за время нескольких свободных пробегов молекулы) устанавливается равновесие в каждой из малых частей системы, и такая выборка состояний оказывается достаточно представительной для всей большой системы. Пожалуй, лучше было бы вести речь не о «доказательстве», а об определении условий, при которых можно наблюдать заметные отклонения от находимых в статистической физике закономерностей.

Есть много работ, посвященных этому кругу вопросов. Не выработана даже безусловно принимаемая всеми постановка задачи. Впрочем, правильная постановка задачи означала бы, по-видимому, более половины решения. Более в этом курсе мы почти не будем касаться вопросов обоснования статистической физики.

2. Больцмановский идеальный газ

Будем рассматривать газ в термостате, причем такой, что состояние одной молекулы никак не влияет на состояние других.

Это означает, прежде всего, малость взаимодействия: потенциальная энергия взаимодействия молекулы с окружающими мала в сравнении с кинетической энергией молекулы: $\langle u(\mathbf{r}_1 - \mathbf{r}_2) \rangle \ll \langle \frac{mv^2}{2} \rangle$ — это определение *идеального газа*.

Возможно также взаимное влияние частиц, связанное с их тождественностью. Например, известен принцип Паули, «запрещающий» двум электронам занимать одно и то же квантовое состояние. Подобное влияние будет несущественным, если количество квантовых состояний, в которых могут реально находиться молекулы газа, во много раз превышает число молекул.

Газ, удовлетворяющий этому условию, называется *больцмановским*. Число квантовых состояний определяется с помощью квазиклассического приближения через характерный, типичный импульс молекулы p_{xap} : $p_{\text{xap}}^2/2m \sim T$:

$$\frac{V p_{\text{xap}}^3}{(2\pi\hbar)^3} \gg N,$$

где N — число частиц, или

$$\frac{V(mT)^{3/2}}{\hbar^3} \gg N.$$

Таким образом, речь идет о достаточно горячем и разреженном газе. Для обычных газов это условие практически всегда выполнено. При охлаждении и сжатии раньше, чем оно нарушится, сильно нарушается условие идеальности.

Это же условие можно представить еще в виде $a^3 \gg \lambda_{\text{xap}}^3$, где $\lambda_{\text{xap}} = 2\pi\hbar/p_{\text{xap}}$ — характерная для молекулы длина волны де Бройля, $a = (V/N)^{1/3}$ — среднее расстояние между молекулами. Расстояния между молекулами велики по сравнению с их длиной волны де Бройля, можно было бы построить волновые пакеты отдельных молекул, которые не перекрывались бы (пока не столкнулись и не «расплылись»).

2.1. Распределение Максвелла

Если такой газ находится в равновесном состоянии, то очень просто записать функцию распределения по состояниям для отдельных молекул

газа. Достаточно рассматривать отдельную молекулу как «тело», находящееся в термостате, состоящем из остальных. Вероятность того, что молекула находится в определенном квантовом состоянии с энергией ε , равна

$$w = \frac{1}{z} e^{-\varepsilon/T},$$

где z — статистическая сумма, взятая по всем состояниям молекулы. Такое распределение принято называть распределением Больцмана. (В дальнейшем величины, относящиеся к одной частице, мы будем обозначать малыми буквами.) Можно ввести также среднее число молекул $\langle n_i \rangle$ в состоянии $|i\rangle$ с энергией ε_i (его называют также *средним числом заполнения*). Согласно распределению Максвелла в равновесном состоянии

$$\langle n_i \rangle = \frac{1}{z} e^{-\varepsilon_i/T}.$$

Энергия молекулы всегда разделяется на сумму кинетической и каких-то добавок (вращение, колебания и т. п.), а распределение — на произведение распределений по кинетической энергии и по добавкам. Поэтому распределение по кинетической энергии оказывается независимым и имеет вид, известный как распределение Максвелла:

$$dw = \frac{1}{z} e^{-p^2/2mT} \cdot \frac{dV d^3 p}{(2\pi\hbar)^3},$$

где $dV d^3 p / (2\pi\hbar)^3$ — количество рассматриваемых состояний с данной энергией (число ячеек фазового пространства). Статистическая сумма

$$z = \frac{V}{(2\pi\hbar)^3} \int e^{-p^2/2mT} d^3 p = \frac{V}{(2\pi\hbar)^3} \left(\int_{-\infty}^{\infty} e^{-p_x^2/2mT} dp_x \right)^3 = V \left(\frac{mT}{2\pi\hbar^2} \right)^{3/2}.$$

Если есть внешнее поле $U(\mathbf{r})$, то энергия

$$\varepsilon = \frac{mv^2}{2} + U(\mathbf{r})$$

и в вероятности появляется множитель $e^{-U(\mathbf{r})/T}$ (распределение Больцмана), а при вычислении z множитель V заменяется на

$$\int e^{-U(\mathbf{r})/T} dV.$$

Этот вывод можно сделать, опираясь на классическое распределение $w \propto e^{-H(\mathbf{r}, \mathbf{p})/T}$. Покажем, как можно получить это распределение, стартуя от квантового. Ограничимся одномерным случаем, для которого у нас есть готовые формулы квазиклассического приближения.

Вероятность обнаружить частицу в интервале $(x, x + dx)$ равна

$$dw = \sum_n w_n |\psi_n(x)|^2 dx, \quad \text{где} \quad w_n = w(\varepsilon_n) = \frac{1}{z} e^{-\varepsilon_n/T}.$$

В квазиклассическом приближении нормированная волновая функция

$$\psi_n = \sqrt{\frac{2\omega}{\pi v}} \sin\left(\frac{1}{\hbar} \int pdx\right), \quad v = \sqrt{\frac{2}{m} [\varepsilon_n - U(x)]}.$$

После усреднения по быстрым осцилляциям

$$|\psi_n|^2 \Rightarrow \frac{\omega}{\pi v}.$$

От суммирования по n (с $dn = 1$) перейдем сначала к суммированию по $d\varepsilon_n = \hbar\omega dn$:

$$dw = \sum w_n \frac{d\varepsilon_n}{v\hbar\pi} dx,$$

а затем — по $dp = \frac{d\varepsilon_n}{v}$ (p — согласно уравнению Гамильтона — импульс). В рамках квазиклассического приближения суммирование можно заменить интегрированием. При этом будем иметь в виду, что одному значению ε_n и x соответствуют два значения p — разных знаков. Будем считать, что интегрирование проводится по всем значениям p , и поэтому разделим интеграл на 2:

$$dw = \int w(\varepsilon(x, p)) \frac{dpdx}{2\pi\hbar}, \quad \varepsilon(x, p) = \frac{p^2}{2m} + U(x). \quad (1)$$

Статсумма вычисляется путем интегрирования по всем значениям x и p , как и было сказано выше.

Если можно говорить с достаточной точностью об одновременно определенных x и p (разумеется, в рамках соотношения неопределенностей), то мы приходим к классическому распределению

$$dw = \frac{1}{z} e^{-\varepsilon(x, p)/T} \frac{dpdx}{2\pi\hbar}. \quad (2)$$

Заметим, что конкретный вид функции $w(\varepsilon)$ в этом выводе не играл роли.

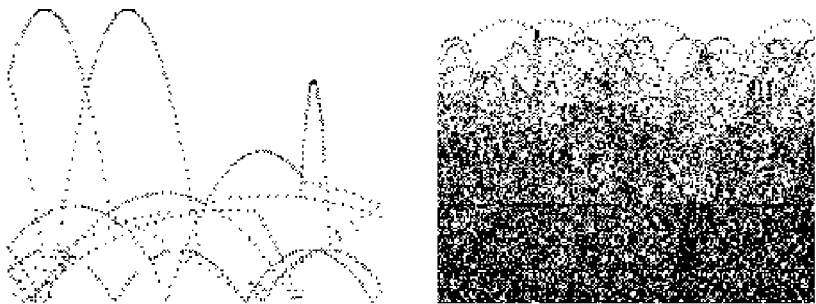


Рис. 4. Иллюстрация процесса усреднения, приводящего к распределению Больцмана. Следы шариков, двигающихся по наклонному бильярдному столу, поставлены через равные промежутки времени. Слева — за короткий интервал времени. Для участка траектории наиболее вероятно наблюдение шарика вблизи вершины параболы. Справа — после многих столкновений шариков друг с другом: возникает большиновское распределение по высоте.

В данном случае усреднение можно представлять себе как результат последовательного выполнения квантового и статистического усреднений. Более того, в процессе движения нескольких очень слабо взаимодействующих частиц можно наблюдать такие усреднения. Иллюстрацией этого может служить рис. 4, на котором представлены траектории шариков, движущихся по наклонному бильярдному столу (разумеется, это компьютерная модель). Точки, изображающие положения центров шариков, выведены на экран через равные промежутки времени, так что концентрация их оказывается пропорциональна вероятности обнаружить шарик вблизи данной точки, т. е. $|\psi(\mathbf{r})|^2$.

К вопросу о функции распределения частиц при наличии достаточно плавно изменяющегося внешнего поля $U(\mathbf{r})$ можно подойти и по-другому. Разобьем мысленно пространство на участки, в пределах каждого из которых можно считать поле приблизительно постоянным. Каждый из таких участков можно рассматривать как тело, находящееся в контакте с соседними. Тогда можно будет смотреть на значения $U(\mathbf{r})$ на каждом из участков как на начало отсчета энергии (на этом участке). Этого достаточно, чтобы записать распределения (1),(2). Такой подход к выводу распределения Больцмана отвечает условиям, когда длина свободного пробега молекул мала в сравнении с масштабом неоднородностей.

Если же поле не плавное, то распределение будет совсем иным. Например, для электронов в переменном периодическом поле внутри кристалла воздействие поля приведет, как мы знаем, к появлению запрещенных зон и т.п.

Отметим, наконец, что для распределения по состояниям молекул вполне применимо представление об «ансамбле» тел, о котором шла речь в предыдущем разделе, поскольку эти «тела» (молекулы) являются микроскопическими. Несомненно, величины, относящиеся к отдельным молекулам (например, средняя энергия, средняя величина относительной скорости молекул и т.п.), могут быть найдены как путем усреднения по ансамблю, так и усреднением по времени (чем мы не занимаемся).

Распределение Максвелла может быть получено также как следствие картины столкновений частиц (см. задачу 2 к разделу 16).

Задачи.

1. Сколько воды испарится при 20°C за 1 с с 1 см² ее поверхности, обдуваемой сухим воздухом? Давление насыщенных паров при 20°C равно 18 мм рт. ст.

Какой поток тепла должен был подводиться к поверхности, чтобы обеспечить такую скорость испарения?

2. Пусть вероятность столкновений молекул максвелловского газа определяется сечением столкновения, зависящим от их относительной скорости: $\sigma = \sigma_0(1 + v_0^2/v_{\text{отн}}^2)$. Найти частоту столкновений и среднюю длину свободного пробега молекул.
3. Оценить количество N молекул в аудитории с кинетической энергией не менее ε_0 для $\varepsilon_0=1, 2, 3, 4$ эВ (согласно распределению Максвелла). Для случая, когда окажется $N \ll 1$, оценить время, спустя которое появится хотя бы одна молекула с такой энергией.

2.2. Термодинамические функции идеального газа

Найдем статистическую сумму одноатомного газа, для молекул которого энергия — только кинетическая энергия. При ее вычислении можно применить такие же соображения, как при вычислении для двухуровневых частиц. От того, что в нашем случае уровней не два, а бесконечно много, дело не меняется, поскольку статистическая сумма Z газа, состоящего из N частиц, может быть выражена через статсумму z одной частицы.

Необходимо только принять во внимание еще одно соображение. В квантовой механике есть принцип тождественности частиц. Состояния, которые отличаются одно от другого только тем, что две такие частицы обменялись своими координатами, на самом деле — просто одно состояние¹. Если мы запишем $Z = z^N$, то тождественность частиц газа не будет учтена. Тот факт, что число частиц мало по сравнению с числом занятых ими ячеек фазового пространства, означает, что все частицы оказываются в разных состояниях, любая перестановка частиц — будь они различимы — приводила бы к новому состоянию. Поэтому учет тождественности сводится в данном случае к тому, что z^N следует разделить на число возможных перестановок: $Z = z^N/N!$. Для $N!$ при $N \gg 1$ воспользуемся формулой Стирлинга:

$$N! \approx \left(\frac{N}{e}\right)^N \sqrt{2\pi N}.$$

Свободная энергия²

$$F = -T \ln \frac{z^N}{N!} = -NT \ln \frac{eV(mT)^{3/2}}{N(2\pi\hbar^2)^{3/2}}.$$

Отсюда находятся уравнение состояния и энтропия:

$$P = -\frac{\partial F}{\partial V} = \frac{NT}{V},$$

$$S = -\frac{\partial F}{\partial T} = N \ln \frac{V}{N} + \frac{3}{2}N \ln T + \frac{3}{2}N \ln \left(\frac{m}{2\pi\hbar^2}\right) + \frac{5}{2}N.$$

Отметим, что энтропия определена полностью, а не с точностью до произвольной постоянной. Переход $T \rightarrow 0$ в этих формулах не предусмотрен, газ перестал бы быть больцмановским (а еще раньше — идеальным).

Теплоемкость $C_V = \frac{3}{2}N$.

Если бы мы не учли тождественность частиц, то зависимость от объема и числа частиц была бы парадоксальной — свободная энергия не была бы аддитивной при объединении нескольких объемов газа в один.

¹Волновые функции тождественных частиц $\Psi(\mathbf{r}_1, \mathbf{r}_2, \dots)$ и $\Psi(\mathbf{r}_2, \mathbf{r}_1, \dots)$ отвечают одному и тому же состоянию. Тождественными являются все электроны, все протоны, все атомы одного вещества, находящиеся в одном и том же квантовом состоянии (скажем, в основном). В перестановках должны участвовать все координаты, включая спиновые.

²Слагаемое $\sim \ln N$ очень мало по сравнению со слагаемыми $\sim N$ и всегда может быть отброшено.

Этот парадокс отметил еще Гиббс. Замечательно, что он угадал (задолго до открытия квантовой механики), что в выражение Z нужно добавлять множитель $1/N!$.

Задача.

Какой вклад в статистическую сумму атомарного водорода дают известные уровни энергии атома водорода ($\varepsilon_n = -(1/2n^2)(e^2/a_B)$, $g_n = n^2$)? Как зависит размер атома водорода от его главного квантового числа?

2.3. Теплоемкость двухатомного газа

Уровни энергии молекулы можно оценить, учитывая, что масса электрона мала по сравнению с массой иона, $m/M \sim 10^{-4}$. Для электронов в молекуле применимо *адиабатическое приближение*. Рассматривая их движение, можно считать ионы неподвижными. В итоге уровни энергии электронов будут зависеть от расстояний между ионами.

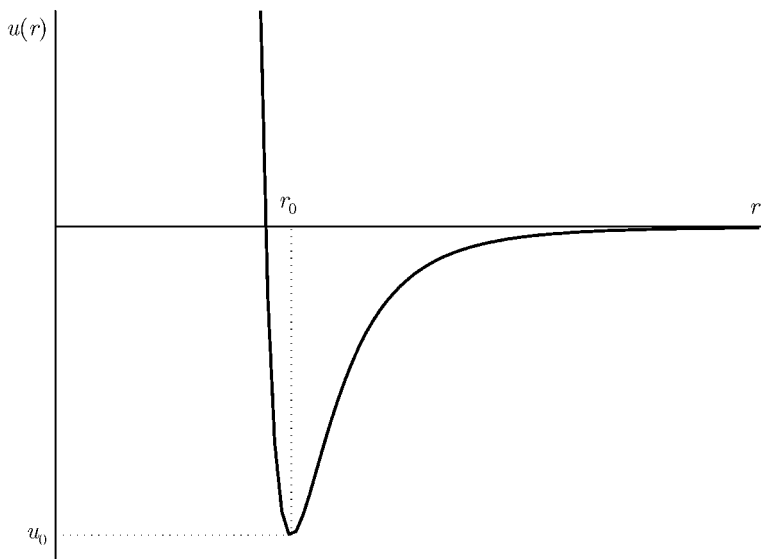


Рис. 5. Энергия взаимодействия атомов в молекуле в зависимости от расстояния между ними.

Взаимодействие ионов в молекуле складывается из их электростатического взаимодействия и энергии электронов. Эта сумма для пары ионов имеет вид потенциальной ямы, причем ее глубина и ширина определяются уровнями энергии электронов (рис 5). Для оценок удобно использовать атомные единицы: длина — $a_B \sim 10^{-8}$ см; энергия — $\varepsilon_0 = e^2/a_B \sim 30$ эВ. (Наименования единиц типа «атомная единица длины» и т. п. мы далее опускаем). Грубая оценка сводится к тому, что равновесное расстояние между атомами $r_0 \sim 1$ и глубина ямы $u_0 \sim 1$.

Комнатаная температура $T \sim 1/40$ эВ $\sim 10^{-3} \ll u_0$.

Представим $u(r)$ вблизи минимума ($r = r_0 + x$, $x \ll r_0$) в виде

$$u(r) = u(r_0) + \frac{u''(r_0)}{2}x^2.$$

Введем коэффициент жесткости связи в молекуле $k = u''(r_0) \sim 1$ и оценим частоту колебаний (M — приведенная масса):

$$\omega = \sqrt{\frac{k}{M}} \sim \frac{1}{\sqrt{M}} \sim 10^{-2}.$$

Момент инерции молекулы $I = Mr_0^2 \sim 10^4$.

Энергия молекулы складывается из электронной ($\varepsilon_0 = u(r_0)$)¹, колебательной, вращательной² и поступательной:

$$\varepsilon = \varepsilon_0 + \hbar\omega \left(n + \frac{1}{2}\right) + \frac{\hbar^2 l(l+1)}{2I} + \frac{p^2}{2M}.$$

Для ε_0 разность между уровнями ~ 1 ; для колебаний $\sim M^{-1/2}$, для вращения $\sim M^{-1}$, поступательное движение имеет практически непрерывный спектр.

Вероятность реализации состояния молекулы $w \propto e^{-\varepsilon/T}$ разбивается на произведение вероятностей.

¹Энергия диссоциации равна $\varepsilon_0 - \hbar\omega/2$.

²Мы считаем, что суммарные значения спинового и орбитального моментов электронов в молекуле равны нулю. Для многих молекул это справедливо. Если же это условие не выполнено, то можно представлять себе вращение молекулы как вращение гантели с встроенным в нее гиростабилизатором. В этом случае вращательные уровни, вообще говоря, иные, но зависимость от вращательных квантовых чисел сводится к приведенной в тексте для высоко возбужденных уровней. Высокотемпературный предел теплоемкости тот же.

Кроме того, для молекул, состоящих из одинаковых атомов (например, H_2 , O_2), проявляются особенности, связанные с тождественностью ядер. Этот вопрос мы затрагиваем только в задаче 4.

Поступательное движение не отличается от того, что есть для однодиатомного газа. Вклады в энергию и теплоемкость $E = \frac{3}{2}NT$; $c_V = C_V/N = 3/2$.

Вклад вращательного движения при комнатной температуре существен. Квант вращательной энергии $\hbar^2/2I \sim \hbar^2/2M_{\text{пр}}r_0^2$, где $M_{\text{пр}}$ — приведенная масса. Для водорода $\hbar^2/2I = 85,4^\circ\text{K}$, для других молекул — заметно меньше. Находим энергию в расчете на одну молекулу:

$$z_{\text{rot}} = \sum_{l=0}^{\infty} (2l+1)e^{-\hbar^2 l(l+1)/2IT}, \quad \varepsilon_{\text{rot}} = -\frac{\partial \ln z_{\text{rot}}}{\partial \beta}.$$

Суммирование можно формально распространить до бесконечности, большие значения l все равно вклада давать не будут.

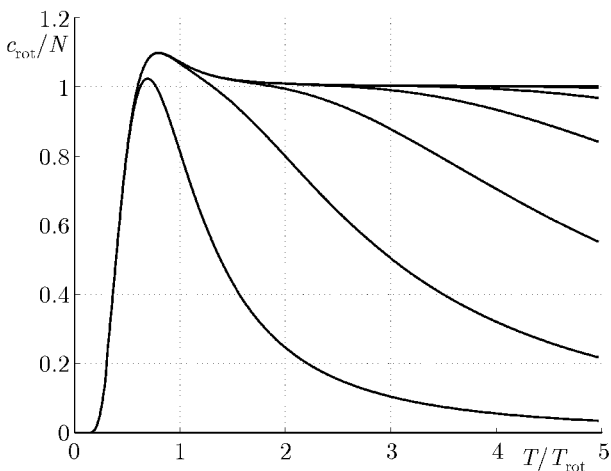


Рис. 6. Вращательная теплоемкость в зависимости от температуры. Учитывается 2, 3, ..., 7 вращательных уровней. Температура измерена в единицах $T_{\text{rot}} = \hbar^2/2I$.

Легко изобразить $c_{\text{rot}}(T)$ с учетом нескольких уровней (рис. 6). При $T \ll \hbar^2/2I$ существенны только два нижних уровня, с повышением температуры «включаются» и следующие. Уже три уровня с хорошей точностью воспроизводят зависимость вплоть до $T \sim \hbar^2/2I$; при этом наблюдается максимум. Механизм его возникновения подобен механизму возникновения максимума для теплоемкости двухуровневой системы (см. раздел 1.3).

При $T \gg \hbar^2/2I$ можно суммирование заменить интегрированием:

$$z_{rot} = \int_0^\infty dl (2l+1) e^{-\hbar^2 l(l+1)/2IT} = \frac{2IT}{\hbar^2},$$

$$\varepsilon_{rot} = T^2 \frac{\partial \ln z_{rot}}{\partial T} = T, \quad c_{rot} = 1.$$

Вклад колебаний в теплоемкость существенен начиная с температур $T \sim \hbar\omega \sim 1000\text{K}$. При вычислении статистической суммы суммируем геометрическую прогрессию:

$$z_{vib} = \sum_{n=1}^{\infty} e^{-\hbar\omega(n+1/2)/T} = \frac{e^{-\hbar\omega/2T}}{1 - e^{-\hbar\omega/T}},$$

$$\varepsilon_{vib} = T^2 \frac{\partial \ln z}{\partial T} = \frac{\hbar\omega}{2} + \frac{\hbar\omega}{e^{\hbar\omega/T} - 1} = \frac{\hbar\omega}{2} \coth \frac{\hbar\omega}{2T},$$

$$c_{vib} = \left(\frac{\hbar\omega}{2T} \right)^2 \operatorname{sh}^{-2} \frac{\hbar\omega}{2T}.$$

Колебательная теплоемкость возрастает монотонно от нуля при $T \ll \hbar\omega$ до $c_{vib} = 1$ при $T \gg \hbar\omega$, причем в основном — в области $T \sim \hbar\omega$.

Электронные возбуждения имеют величину, сравнимую с энергией диссоциации молекулы; «разорванное» состояние молекулы имеет несколько большую энергию, чем возбужденное, и гораздо больший статистический вес¹. Поэтому в области температур, где могли бы дать вклад в теплоемкость электронные возбуждения, газ оказывается уже диссоциировавшим.

Итак, суммарная теплоемкость двухатомного газа растет «ступеньками» от $c_V = \frac{3}{2}$ при $T < \hbar^2/I$ до $c_V = \frac{5}{2}$ при $T < \hbar\omega$ и, наконец, до $c_V = \frac{7}{2}$ — до температур, при которых происходит диссоциация.

Теплоемкость многоатомных газов также складывается из вкладов поступательного движения, вращения и колебаний. При высоких температурах проявляются добавки, обусловленные, например, взаимным влиянием колебаний и вращения молекул.

При вычислении статсуммы молекулы, содержащей одинаковые атомы, нужно также принимать во внимание их тождественность. В частности, при высоких температурах дело сводится к тому, что нужно разделить статсумму на число возможных перестановок, сводящихся к поворотам (называемое *числом симметрии*); для двухатомной молекулы,

¹Вспомним о двухуровневой системе с сильно вырожденным верхним уровнем, см. задачу к разделу 1.5.

состоящей из одинаковых атомов, это число равно 2. На теплоемкость это не повлияет, но окажется существенно для определения условий химического равновесия.

Задачи.

1. Изобразить схематически «ступеньки» в зависимости $C(T)$ для водяного пара, углекислого газа (молекула линейная), этилена (C_2H_6 — две пирамиды CH_3 , соединенные вершинами — атомами углерода; при малых энергиях одно из нормальных колебаний имеет вид крутильных колебаний вокруг оси C – C, при повышении энергии крутильные колебания сменяются вращением вокруг той же оси).
2. Найти поправки к теплоемкости двухатомного газа, обусловленные ангармоническими поправками к энергии взаимодействия атомов в молекуле: $\delta U = -\alpha x^3 + \beta x^4$, где $\alpha = -u'''(r_0)/6$, $\beta = u^{IV}(r_0)/24$, $x = r - r_0$.
3. Найти изменение момента инерции молекулы, вызванное ее «тепловым расширением».
4. Водород, имевший комнатную температуру, быстро охладили до температуры $T_0 \ll T_{rot} = \hbar/2I$, так что соотношение чисел молекул орто- и параводорода осталось равно 3:1. Затем происходит переход к соотношению, равновесному при низкой температуре. Какова будет в итоге температура водорода, если принять, что он теплоизолирован и объем его неизменен? (Уравнение придется решать численно.)

2.4. Отсутствие магнетизма классического газа.

Диамагнетизм Ландау

Рассмотрим газ заряженных частиц, находящийся в состоянии равновесия в некотором объеме. Статистическая сумма частицы

$$z = \int e^{-H(\mathbf{p}, \mathbf{r})/T} d^3 p d^3 r.$$

Гамильтониан частицы в магнитном поле

$$H = \frac{1}{2m} \left(\mathbf{p} - \frac{e}{c} \mathbf{A} \right)^2 + U(\mathbf{r}).$$

Сделаем замену переменных:

$$\mathbf{P} = \mathbf{p} - \frac{e}{c} \mathbf{A}.$$

При этом статистическая сумма принимает вид

$$z = \int e^{-P^2/2mT - U(r)/T} d^3 P d^3 r$$

и не зависит от магнитного поля. Вместе с ней не зависят от наличия поля и термодинамические функции. Классический газ заряженных частиц не является магнетиком. Это теорема Бора – ван-Левен.

Если же учесть отличие от классического приближения — дискретность уровней энергии для движения поперек магнитного поля, — то магнитные свойства появляются.

Напомним, что уровни энергии заряженной частицы в однородном магнитном поле \mathcal{H} , направленном вдоль оси z , равны

$$\varepsilon_{n,p_z} = \frac{p_z^2}{2m} + \hbar\omega \left(n + \frac{1}{2} \right), \quad \text{где} \quad \omega = \frac{e\mathcal{H}}{mc}, \quad n = 0, 1, 2, \dots,$$

и имеют кратность вырождения, не зависящую от n .¹ Поэтому вклад в статистическую сумму движения в направлении, перпендикулярном магнитному полю, равен

$$z_\perp = g \sum_{n=0}^{\infty} \exp \left[-\frac{\hbar\omega}{T} \left(n + \frac{1}{2} \right) \right] = \frac{g}{2\operatorname{sh}(\mu\mathcal{H}/T)}, \quad \text{где} \quad \mu = \frac{e\hbar}{2mc}.$$

При $T \gg \mu\mathcal{H}$ получаем, $z_\perp = gT/2\mu\mathcal{H}$, что должно совпадать с классическим значением, и, в частности, не должно зависеть от \mathcal{H} . Поэтому $g = \tilde{g}\mathcal{H}$, где \tilde{g} от \mathcal{H} не зависит.

Зависящий от \mathcal{H} вклад в свободную энергию газа из N частиц равен

$$F_{\mathcal{H}} = -NT \ln \frac{\mathcal{H}}{\operatorname{sh} \frac{\mu\mathcal{H}}{T}},$$

а магнитный момент

$$M = -\frac{\partial F_{\mathcal{H}}}{\partial \mathcal{H}} = NT \left(\frac{1}{\mathcal{H}} - \frac{\mu}{T} \operatorname{cth} \frac{\mu\mathcal{H}}{T} \right).$$

¹Кратность вырождения определяется числом возможных способов поместить центр орбиты в поперечной плоскости, величина же n определяет радиус орбиты.

При $T \gg \mu\mathcal{H}$ получаем $M = -N\mu^2\mathcal{H}/3T$. Как и следовало ожидать, в пределе $T \rightarrow \infty$ магнитный момент обращается в нуль. Однако найденная здесь величина M сопоставима с найденным ранее эффектом поляризации спинов.

Это диамагнетизм, обнаруженный Ландау. Этот диамагнетизм на $\frac{1}{3}$ компенсирует парамагнетизм Паули для свободно движущихся электронов. Так же обстоит дело и для случая, когда электронный газ подчиняется не распределению Больцмана, а распределению Ферми.

Задача.

Больцмановский газ заряженных частиц находится в поле $U = -\frac{1}{2}m\omega^2r^2$ и постоянном однородном магнитном поле, направленном по оси z . Пренебрегая взаимодействием зарядов между собой, найти магнитный момент газа. Выразить магнитную восприимчивость при $T \ll \hbar\omega$ и при $T \gg \hbar\omega$.

3. Большое каноническое распределение Гиббса

3.1. Некоторые условия равновесия

Пусть тело в термостате имеет температуру термостата, но находится поначалу само по себе в неравновесном состоянии (характеризуемом каким-то параметром x), а затем переходит к равновесному состоянию. При таком переходе должна возрастать полная энтропия замкнутой системы — тела и термостата:

$$S_{\text{полн}} = S_0 + S, \quad \Delta S_{\text{полн}} \geq 0.$$

Это условие неудобно для расчетов, так как для его использования надо было бы знать энтропию термостата. Используя тот факт, что в течение всего процесса установления равновесия термостат пребывает в равновесном состоянии, можно преобразовать это условие к такому виду, что в него будет входить только температура термостата.

Происходит обмен теплотой между телом и термостатом:

$$\Delta E = \delta Q = -\Delta E_0,$$

причем состояние термостата остается равновесным, так что изменение его энтропии равно

$$\Delta S_0 = -\frac{\delta Q}{T_0};$$

отсюда

$$\begin{aligned}\Delta S_{\text{полн}} &= \Delta S - \frac{\Delta E}{T_0} = \frac{T_0 \Delta S - \Delta E}{T_0} = -\frac{\Delta(E - T_0 S)}{T_0} = \\ &= -\frac{\Delta F(T_0, V, x)}{T_0} \geq 0.\end{aligned}$$

Итак, $\Delta F(T_0, V, x) \leq 0$ при $T_0 = \text{const}, V = \text{const}$: если тело находится в термостате и над ним не совершается работа, то прочие макроскопические параметры, определяющие состояние тела, приходят к таким значениям, при которых свободная энергия минимальна.

Рассмотрим еще одну задачу: термостат является одновременно и баростатом, тело может изменять объем — найти условия равновесия. Можно было бы решить ее почти так же, как первую. Продемонстрируем другой способ, сходный с рассуждениями при выводе канонического распределения.

Вероятность определенного квантового состояния тела, при котором его объем равен V , а энергия E определяется статистическим весом состояний термостата:

$$W_n = \frac{\Gamma_0(E_{\text{полн}} - E, V_{\text{полн}} - V)}{\Gamma_{\text{полн}}(E_{\text{полн}}, V_{\text{полн}})} \propto e^{S_0(E_{\text{полн}} - E, V_{\text{полн}} - V)}.$$

Разлагаем энтропию термостата

$$S_0 = S_0(E_{\text{полн}}, V_{\text{полн}}) - \frac{E}{T_0} - \frac{P_0 V}{T_0} + \dots$$

(Использовали равенство $\left(\frac{\partial S_0}{\partial V_0}\right)_E = \frac{P_0}{T_0}$, которое следует из $dE = TdS - PdV$.) Тогда

$$W(E, V) \propto e^{S_0} \propto e^{S_0 - (E + P_0 V)/T_0} = e^{-(E + P_0 V - T_0 S)/T_0}.$$

Отсюда следует, что в состоянии равновесия величина $E + P_0 V - T_0 S$ имеет минимум. Вспомним потенциал Гиббса:

$$\Phi(T, P, x) = E + PV - TS.$$

Условие равновесия

$$\frac{\partial}{\partial x} \Phi(T_0, P_0, x) = 0.$$

Рассмотрим теперь задачу о равновесии двух тел, которые могут обмениваться друг с другом частицами (молекулами). При каком условии будет соблюдаться динамическое равновесие — равенство прихода и ухода частиц от одного тела к другому? Будем считать для определенности, что оба тела находятся в термостате и объемы их фиксированы. Параметром, задающим частичное равновесие, в этом случае естественно считать число частиц N_1 в одном теле, изменения чисел частиц в обоих телах связаны друг с другом: $dN_2 = -dN_1$. В таких условиях должна быть минимальной суммарная свободная энергия $F = F_1(T, V_1, N_1) + F(T, V_2, N_2)$ по отношению к варьированию N_1 : $dF/dN_1 = 0$. Это условие дает

$$\mu_1 = \mu_2, \quad \text{где} \quad \mu = \left(\frac{\partial F}{\partial N} \right)_{T,V}$$

— химический потенциал тела.

Химический потенциал по отношению к обменам частицами играет роль, аналогичную роли температуры по отношению к обмену теплом: направление потока частиц — от тела с большим химическим потенциалом к телу с меньшим.

С учетом зависимости свободной энергии от числа частиц полный дифференциал ее $dF = -SdT - PdV + \mu dN$. Переходя к потенциальну Гиббса, $\Phi(T, P) = F + PV = N\varphi(T, P)$,¹ получим $d\Phi = -SdT + VdP + \mu dN$. При дифференцировании по N получим $\mu = \varphi(T, P)$, т. е. химический потенциал — это потенциал Гиббса в расчете на одну частицу, причем он не зависит от количества вещества (является, как говорят, интенсивной переменной). В этом отношении он тоже схож с температурой.

3.2. Большое каноническое распределение

Пусть тело, находящееся в термостате, может обмениваться с ним не только теплом, но и частицами. Задача состоит в том, чтобы найти вероятность того, что тело содержит заданное число частиц N и находится при этом в определенном состоянии k (энергия которого равна $E_{N,k}$). Объем же тела предполагается фиксированным. Схема решения задачи такая же, как при выводе канонического распределения. Вероятность определяется статистическим весом термостата:

$$w_{N,k} = Ae^{S_0(E_{\text{полн}} - E_{N,k}, N_{\text{полн}} - N)}.$$

¹Здесь подразумевается, что все частицы тела одинаковы, например, все частицы — молекулы воды.

Разложение величины, стоящей в показателе, по относительно малым E и N дает¹

$$S_0 = S_0(E_{\text{полн}}, N_{\text{полн}}) - \frac{E}{T} + \frac{\mu}{T}N.$$

Тогда распределение вероятности

$$w_{N,k} = \frac{1}{Q} e^{(\mu N - E_{N,k})/T},$$

где Q — большая статсумма:

$$Q = \sum_{N=0}^{\infty} e^{\mu N/T} \sum e^{-E_{N,k}/T}.$$

Полученное распределение называется *большим каноническим распределением Гиббса*².

Введем новую величину

$$\Omega = -T \ln Q.$$

Это новый потенциал. Исследуем его:

$$\frac{\partial \Omega}{\partial \mu} = -\frac{T}{Q} \cdot \sum_{N=0}^{\infty} \frac{N}{T} e^{\mu N/T} \sum e^{-E_{N,k}/T} = \sum_{N=0}^{\infty} w_{N,k} N = -\langle N \rangle,$$

$$\frac{\partial \Omega}{\partial \lambda} = \sum w_{N,k} \frac{\partial E_k}{\partial \lambda} = \langle \Lambda \rangle,$$

как при вычислении F , где λ — параметр в выражении для энергии;

$$\begin{aligned} \frac{\partial \Omega}{\partial T} &= -\ln Q + \frac{T}{Q} \sum \sum \frac{\mu N - E_{N,n}}{T^2} \cdot e^{(\mu N - E_{N,n})/T} = \\ &= -\ln Q + \frac{1}{T} (\mu \langle N \rangle - \langle E \rangle) = \frac{\Omega + \mu \langle N \rangle - \langle E \rangle}{T}. \end{aligned}$$

¹Используем соотношение $dE = TdS - PdV + \mu dN$, откуда $(\frac{\partial S}{\partial N})_{E,V} = -\mu/T$.

²Для системы с переменным числом частиц статистический оператор $\hat{\rho} = \exp(\frac{\mu \hat{N} - \hat{H}}{T})/Q$, где $Q = Sp(\exp(\frac{\mu \hat{N} - \hat{H}}{T}))$, а \hat{N} — оператор, собственные значения которого равны числам частиц.

С другой стороны, по определению энтропии:

$$-S = \sum w \ln w = \sum w \left(-\ln Q + \frac{\mu N - E_{N,k}}{T} \right) = \frac{\Omega + \mu \langle N \rangle - \langle E \rangle}{T},$$

что совпадает с $\frac{\partial \Omega}{\partial T}$.

В итоге

$$d\Omega = -SdT + \Lambda d\lambda - Nd\mu.$$

Сопоставляя с равенством

$$dF = -SdT + \Lambda d\lambda + \mu dN,$$

заключаем, что $\Omega = F - \mu N$. Ландау хотел ввести для потенциала Ω название — верховный потенциал. Однако редактор книги «Статистическая физика» не позволил этого¹. Потенциал Гиббса $\Phi = N\mu = F + PV$. Для однородной среды $\Omega = F - \mu N = -PV$.

Рассмотрим тело в термостате, которое имеет фиксированный объем и может обмениваться с термостатом частицами, но значение какого-то параметра x , характеризующего его внутреннее состояние, не равно равновесному. Вероятность этого состояния, при условии, что частичное равновесие тела, которому отвечает определенное значение параметра x , достигается очень быстро по сравнению со временем, за которое достигается равновесие с термостатом по отношению к теплообмену и к обмену частицами,

$$W(x) \propto \exp \left(S - \frac{E - \mu_0 N}{T_0} \right) = \exp \left(-\frac{\Omega(V, T_0, \mu_0, x)}{T_0} \right). \quad (1)$$

В описанных условиях равновесие достигается при условии минимума Ω -потенциала.

3.3. Энтропия идеального газа в неравновесном состоянии

Микроскопическое состояние газа можно задать, указав, в каких квантовых состояниях имеются частицы, а в каких — нет. Объединим «бллизкие» (по энергии, по пространственной локализации и т. п.) квантовые состояния в группы, каждая из которых содержит много состояний ($G_i \gg 1$). Набор чисел частиц N_i в каждой из таких групп определяет

¹Сообщение Л. Д. Ландау на лекции по статфизике в МГУ (1956 г.).

макроскопическое состояние газа, вообще говоря, далекое от равновесия. Число способов, которыми можно распределить N_i частиц по G_i состояниям, это статистический вес i -й группы состояний, Γ_i . Статистические веса разных групп состояний не зависят друг от друга, поэтому статистический вес состояния всего газа $\Gamma = \prod \Gamma_i$, а энтропия $S = \ln \Gamma = \sum \ln \Gamma_i$.

Для большинства газа $N_i \ll G_i$. Поэтому при подсчете $\Delta \Gamma_i$ можно учитывать только те микросостояния, когда в квантовое состояние попадает не более одной частицы. Учитывая также, что частицы следует считать неразличимыми, получаем

$$\Gamma_i = C_{G_i}^{N_i} = \frac{G_i!}{N_i!(G_i - N_i)!}. \quad (2)$$

Далее,

$$\Gamma_i = \frac{G_i(G_i - 1) \dots (G_i - N_i + 1)}{N_i!} \approx \frac{G_i^{N_i}}{N_i!}.$$

Мы считаем, что группы состояний настолько велики, что $N_i \gg 1$. Используя равенство $\ln L! \approx L \ln(L/e)$ (для $L \gg 1$), получаем

$$S = \sum N_i \ln \frac{eG_i}{N_i}. \quad (3)$$

Удобно ввести среднее *число заполнения* в данной группе состояний $f_i = N_i/G_i$

$$S = \sum G_i f_i \ln \frac{e}{f_i}. \quad (4)$$

В частности, для поступательного движения можно выбрать в качестве группы состояний состояния частиц в *физическем бесконечно малом* объеме фазового пространства (т. е. содержащем большое число квантовых состояний $G_i = d^3 p dV / (2\pi\hbar)^3$), так что вклад поступательного движения в энтропию

$$S_{\text{пост.}} = \int f(\mathbf{r}, \mathbf{p}) \ln \frac{e}{f(\mathbf{r}, \mathbf{p})} \cdot \frac{d^3 p dV}{(2\pi\hbar)^3}. \quad (5)$$

Рассмотрим газ, представляющий собой замкнутую систему. Равновесному состоянию газа в таком случае отвечает максимальное значение энтропии, определяемое при условиях $\sum N_i = N$, $\sum \varepsilon_i N_i = E$, или

$$\sum G_i f_i = N, \quad \sum G_i f_i \varepsilon_i = E. \quad (6)$$

Для определения экстремума воспользуемся методом Лагранжа:

$$\frac{\partial}{\partial f_j} \sum G_i (f_i \ln \frac{e}{f_i} - \alpha f_i - \beta f_i \varepsilon_i) = 0, \quad (7)$$

откуда

$$f_j = e^{-\alpha - \beta \varepsilon_j}. \quad (8)$$

Множители Лагранжа можно выразить через N и E из уравнений (6). Смысл их очевиден: $-\alpha = \mu/T$, $\beta = 1/T$.

4. Химическое равновесие

4.1. Степень ионизации газа

В качестве примера, задающего и общий метод, рассмотрим задачу: найти, какая доля атомов газа ионизирована при данной температуре.

Процессы ионизации и диссоциации можно рассматривать как реакцию



Обозначим числа атомов, ионов и электронов N_A, N_{A^+}, N_e ; два соотношения очевидны:

$$N_{A^+} = N_e; \quad N_A + N_{A^+} = N_0 \quad (2)$$

(здесь N_0 — число атомов еще не ионизированного газа).

Еще одно соотношение определяется условием минимума свободной энергии. Статистическая сумма смеси газов, составленных нейтральными атомами, ионами и электронами,

$$Z = Z_A \cdot Z_{A^+} \cdot Z_e, \quad (3)$$

$$Z_A = \frac{z_A^{N_A}}{N_A!}, \quad Z_{A^+} = \frac{z_{A^+}^{N_{A^+}}}{N_{A^+}!}, \quad Z_e = \frac{z_e^{N_e}}{N_e!}. \quad (4)$$

Здесь

$$z_A = g_A V \left(\frac{m_A T}{2\pi\hbar^2} \right)^{3/2} \cdot e^{-\varepsilon_{0A}/T}. \quad (5)$$

Множитель g_A показывает количество возможных спиновых состояний, в частности $g_{H^+} = 2, g_H = 4, g_e = 2$. Энергия атома $\varepsilon_A = \frac{p^2}{2m_A} + \varepsilon_{0A}$,

ε_{0A} — энергия покоящегося атома. Аналогичны выражения для Z_{A+} и Z_e . Обратим специально внимание на появление последнего множителя в (5), необходимого для согласования начала отсчета энергии различного вида «атомов», вступающих во взаимодействие. Энергия ионизации

$$I = \varepsilon_{0A+} + \varepsilon_{0e} - \varepsilon_{0A}.$$

Свободная энергия смеси

$$F = -T \ln Z = F_A + F_{A+} + F_e.$$

Примем, что газ находится в термостате и имеет заданный объем, величину же N_e будем считать варьируемым параметром и потребуем выполнения условия $\frac{\partial F}{\partial N_e} = 0$. При этом нужно учитывать, что $dN_e = dN_{A+} = -dN_A$

$$\begin{aligned} \frac{\partial F_e}{\partial N_e} &= -\frac{\partial}{\partial N_e}(T \ln Z_e) = \\ &= -T \frac{\partial}{\partial N_e}(N_e \ln z_e - \ln N_e!) = -T(-\ln z_e + \ln N_e) = T \ln \left(\frac{z_e}{N_e} \right). \end{aligned}$$

Итак, третье соотношение для определения чисел частиц компонент смеси

$$\frac{N_{A+} N_e}{N_A} = \frac{z_A^+ z_e}{z_A}.$$

Введя степень ионизации $\alpha = \frac{N_{A+}}{N_0}$, получим

$$\frac{\alpha^2}{1 - \alpha} = \frac{V}{N_0} \left(\frac{m_e T}{2\pi\hbar^2} \right)^{3/2} \frac{g_{A+} g_e}{g_A} e^{(\varepsilon_{0A+} + \varepsilon_{0e} - \varepsilon_{0A})/T}.$$

Эта задача была решена индийским физиком Саха. Множитель

$$G(T) = \frac{V}{N_0} \left(\frac{m_e T}{2\pi\hbar^2} \right)^{3/2} \frac{g_{A+} g_e}{g_A}$$

должен быть очень большим, чтобы газ был больцмановским, и еще больше, чтобы можно было говорить об ионизации. Таким образом,

$$\frac{\alpha^2}{1 - \alpha} = G(T) e^{-I/T}.$$

Анализируя эту зависимость, можно заметить, что ионизация происходит при энергиях, значительно меньших, чем потенциал ионизации. Действительно, $\alpha = \frac{1}{2}$ при $T_0 = I / \ln G(T_0)$. Обычно $\ln G(T_0) \gg 1$, поэтому $T_0 \ll I$. Под знаком логарифма с хорошей точностью можно заменить

T_0 на I . Интервал температур, в котором происходит переход от малой ионизации к почти полной, оценивается как $\delta T = I/[\ln G(I)]^2 \ll T_0$ и оказывается очень узким.

Можно качественно посмотреть на частично ионизированный газ, как на совокупность двухуровневых систем: электрон может находиться либо в связанном состоянии, либо в свободном — с энергией I и очень большой кратностью вырождения $G(T)$.

Зависимость теплоемкости от температуры содержит очень узкий пик в области ионизации. Одним из проявлений этой повышенной теплоемкости являются конвективные процессы на Солнце, видимые как грануляция его поверхности (масштаб гранул порядка 1000 км). Эти процессы возникают из-за наличия больших значений c_P в области высокого градиента температуры.

4.2. Закон действующих масс

Переходим к общему случаю.

Рассмотрим химическую реакцию $A_1 + A_2 + \dots = A_3 + \dots$; это уравнение можно записать так: $\sum \nu_i A_i = 0$, где ν_i — стехиометрические коэффициенты. Для δN_0 актов реакции количества участвующих в ней молекул изменяются на $\delta N_i = -\nu_i \delta N_0$. Если процесс идет при постоянных значениях объема и температуры, то свободная энергия смеси $F = F(T, V, N_1, N_2, \dots)$ изменяется при этом на

$$\delta F = \sum_i \frac{\partial F}{\partial N_i} \delta N_i = -\delta N_0 \sum \nu_i \frac{\partial F}{\partial N_i} = -\delta N_0 \sum \nu_i \mu_i.$$

Здесь $\mu_i = \frac{\partial F}{\partial N_i}$ — химический потенциал вещества A_i .

Условие равновесия $\delta F = 0$ сводится к равенству

$$\sum \nu_i \mu_i = 0.$$

Если о компонентах реакции можно говорить как об идеальных газах, то $F = \sum_i F_i(T, V, N_i)$. Тогда

$$\mu_i = -T \ln \frac{z_i}{N_i} = -T \ln \frac{V}{N_i} + \varphi_i(T).$$

Условие равновесия в таком случае принимает вид

$$-T \sum_i \nu_i \left(\ln \frac{V}{N_i} - \frac{\varphi_i}{T} \right) = 0, \quad \text{или} \quad \prod_i \left(\frac{N_i}{V} \right)^{\nu_i} = K_V(T),$$

где $K_V(T) = e^{\sum_i \nu_i \varphi_i / T}$ — константа химического равновесия.

Если ввести парциальное давление $P_i = \frac{N_i T}{V}$, то можно записать химический потенциал в виде

$$\mu_i = -T \ln \frac{V}{N_i} + \varphi_i(T) = T \ln P_i + \chi_i(T),$$

а условие равновесия представить в виде

$$\prod_i (P_i)^{\nu_i} = K_P(T), \quad \text{где } K_P(T) = e^{-\sum_i \nu_i \chi_i / T}.$$

Полученное уравнение называется законом действующих масс.

Запишем, наконец, условие равновесия через концентрации $c_i = N_i / N$, где $N = \sum N_i$:

$$\prod_i (c_i)^{\nu_i} = K_c(T), \quad \text{где } K_c(T) = P^{\sum \nu_i} e^{-\sum_i \nu_i \chi_i / T}.$$

Зависимость условия равновесия от объема (или K_c — от давления) возникает, если полное число частиц в левой части уравнения реакции не равно числу частиц — в правой.

Вспомним реакцию ионизации. Для ионизации атома достаточно столкновения двух частиц, а для рекомбинации необходимо тройное столкновение (третья частица унесет энергию, выделяемую при образовании атома). Чем меньше концентрация смеси, тем меньше возможность тройных столкновений. Зависимость константы реакции от давления легко получается приравниванием *скоростей реакций* — чисел образующихся в единицу времени молекул — для реакций, идущих, согласно уравнению, «направо» и «налево».

Подход к изучению реакций с помощью уравнений, выраждающих скорость реакций, позволяет не только получить равновесное состояние, но и изучать процесс приближения к нему. Как правило, в процессе изменения веществ имеется «узкое место», связанное с необходимостью преодоления некоторого потенциального барьера ΔU , преодолеть который удается лишь частицам из «хвоста» распределения по энергиям. В итоге скорость реакции зависит от температуры как $\exp(-\Delta U/T)$ (закон Аррениуса). Иной оказывается зависимость от температуры скорости реакции термоядерного синтеза, в процессе которой дейтоны проходят под кулоновским барьером благодаря туннельному эффекту.

Важную роль играют также реакции, происходящие с постоянным добавлением и удалением веществ. (Так протекают реакции в живых

организмах.) Мы этот очень интересный, но очень обширный вопрос оставляем в стороне.

Отметим также, что известны относительно простые реакции, в которых приближение к равновесию происходит путем колебаний. Наиболее изученной является реакция, открытая Б. П. Белоусовым и исследованная (более десяти лет спустя) А. М. Жаботинским.

Задачи.

- Найти зависимость степени диссоциации двухатомного газа от температуры при заданном объеме.
- Примесь ядердейтерия в естественном водороде составляет 0.015%. Найти отношение концентраций молекул HD и D₂.

4.3. Термический эффект реакции

В процессе химической реакции выделяется или поглощается тепло. Как его рассчитать? Количество тепла (для определенности рассматриваем процесс, протекающий при постоянном объеме и заданном значении температуры) равно изменению энергии смеси¹ $\delta Q_V = \delta E$ и может быть выражено через изменение свободной энергии, а в конечном счете — через «константу» химической реакции. Учитывая, что $E = -T^2 \frac{\partial F}{\partial T}$, запишем

$$\delta Q_V = -T^2 \frac{\partial}{\partial T} \frac{\delta F}{T}.$$

Для изменения свободной энергии имеем

$$\delta F = -\delta N_0 \sum \nu_i \mu_i = -\delta N_0 \sum \nu_i \left(-T \ln \frac{V}{N_i} + \varphi_i \right);$$

$$\delta Q_V = -T^2 \delta N_0 \frac{\partial}{\partial T} \ln K_V.$$

Изменение условий равновесия с температурой различно для тех реакций, в которых тепло выделяется, и тех, в которых — поглощается.

В случае, если можно считать постоянными теплоемкости газов, задача о выделении тепла решается еще проще: энергия выражается как

$$E = \sum N_i (c_{Vi} T + \varepsilon_{0i}),$$

¹Реакция — это неравновесный процесс. Изменение энтропии смеси при указанных условиях $dS \geq \frac{\delta Q}{T}$.

так что

$$\delta Q = -\delta N_0 \sum \nu_i (c_{Vi} T + \varepsilon_{0i}).$$

Если реакция происходит не при постоянном объеме, а при постоянном давлении, то выделяемое тепло определяется приростом энталпии.

Задача.

Выразить теплоемкости C_V и C_P частично ионизированной плазмы через ее степень ионизации $\alpha(T)$. Нарисовать графики $C_V(T)$ и $C_P(T)$. (Считая зависимость $\alpha(T)$ известной.)

5. О компьютерном моделировании

Обычно в статистической физике мы имеем дело с системами, состоящими из огромного числа частиц. Поэтому компьютерное моделирование таких систем — дело далеко не тривиальное. Необходимым этапом является осознание результатов, понимание того, насколько модель отражает физическую реальность.

Один из очевидных способов моделирования — метод молекулярной динамики. Создается в компьютере система взаимодействующих частиц. Естественно, что для учета взаимодействия каждой из частиц с каждой из остальных требуется огромный объем вычислений. Расчеты приходится упрощать, поэтому в тонких случаях неизбежен вопрос, что принадлежит моделируемой системе, а что — модели. Тем не менее, этот подход является одним из весьма результативных. Пример применения метода молекулярной динамики — рассматриваемый ниже газ шаров. Хотя у нас он выглядит как чисто учебный, есть немало научных работ, основанных на исследовании такого газа.

Основные же методы включают существенно статистическое моделирование, обычно с использованием датчиков случайных чисел. О них немного будет сказано далее.

5.1. Задача о компьютерном газе бильярдных шаров

В практикуме «Моделирование физических явлений» (на первом курсе) изучался двумерный газ абсолютно упругих шаров. При движении шаров сохраняется энергия

$$\sum \frac{p^2}{2m} = E.$$

Для достаточно просторного бильярда распределения в пространстве и в импульсном пространстве можно считать независимыми. В импульсном пространстве движение происходит на сфере, а точнее — в слое малой толщины, определяемой неточностью в сохранении E . Для компьютерного газа шаров эта неточность определяется округлением значения энергии δE и очень мала ($\frac{\delta E}{E} \sim 10^{-8}$).

Объем этого слоя равен

$$\begin{aligned}\Gamma_N(E) &= \Gamma(\sum \varepsilon < E) - \Gamma(\sum \varepsilon < E - \delta E) = \\ &= A_N(E^N - (E - \delta E)^N) \approx A_N N E^{N-1} \delta E.\end{aligned}$$

(Множитель, отвечающий движению в обычном пространстве, включен в A_N .)

Чтобы найти распределение по энергиям для одного шара, будем действовать так же, как при выводе распределения Гиббса. Задаем энергию одной частицы ε и находим фазовый объем, заполняемый при движении всех ($N - 1$) остальных:

$$\Gamma_{N-1}(E - \varepsilon) = B(E - \varepsilon)^{N-2}$$

(B — множитель, не зависящий от ε). Выписанный фазовый объем и определяет вероятность состояния выделенного шара. Если учесть еще, что для одного шара элемент фазового объема пропорционален $d^2 p \propto d\varepsilon$, то получаем распределение вероятностей по энергии

$$dw = \frac{N-1}{E} \left(1 - \frac{\varepsilon}{E}\right)^{N-2} d\varepsilon \quad (1)$$

(постоянная определена условием нормировки). При малых значениях N распределение совсем не похоже на максвелловское. Компьютерный эксперимент полностью подтверждает наши выкладки.

Для пары шаров распределение в плоскости p_x, p_y — равномерно заполненный круг.

Если $\varepsilon \ll E$, то

$$dw = \frac{N-1}{E} e^{-\varepsilon(N-2)/E} d\varepsilon,$$

это больцмановское распределение с температурой $T = \frac{E}{N-2}$.

Пусть два одинаковых шара движутся в кубе. Остановимся сначала на таком особом случае, когда они движутся симметрично относительно

центра куба. В этом случае из условий $\mathbf{p}_1 + \mathbf{p}_2 = 0$, $\mathbf{p}_1^2 + \mathbf{p}_2^2 = 2mE$ следует, что в импульсном пространстве их координаты заполняют поверхность сферы $\mathbf{p}^2 = mE$. На рис. 7 а мы видим проекцию точек, равномерно разбросанных по поверхности сферы, на плоскость (p_x, p_y) .

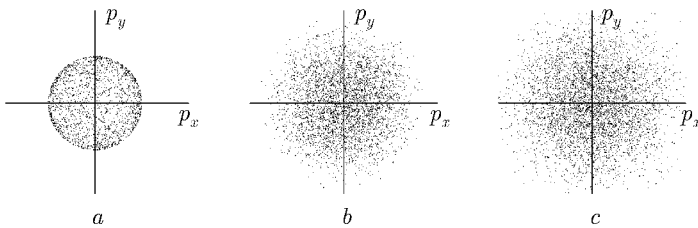


Рис. 7. Распределения по импульсам для шаров в кубе: *a* — пара шаров, шары движутся симметрично, так что $\mathbf{p}_1 + \mathbf{p}_2 = 0$, *b* — пара шаров, добавочного интеграла движения нет, *c* — шесть шаров.

На рис. 7 *b* представлен общий случай движения пары шаров — проекция на плоскость (p_x, p_y) точек, равномерно разбросанных по поверхности 5-мерной сферы в 6-мерном пространстве.

На рис. 7 *c* представлен результат моделирования движения девяти шаров по плоскому бильярду (соответствующий движению в кубе шести шаров с той же средней энергией, что и в случаях *a* и *b*) — проекция на плоскость (p_x, p_y) точек, равномерно разбросанных по поверхности 17-мерной сферы. С увеличением числа шаров происходит переход к распределению Максвелла. Рис. 7 *c* при этом практически не изменится, только появится отличный от нуля, но весьма слабо выраженный «хвост», на рисунке все равно не помещающийся.

Для настоящего газа неточность определения энергии δE хотя и мала, тем не менее, $\delta E/E \gg 1/N$. Поэтому выражение для $\Gamma_N(E)$ преобразуем не путем разложения по δE , а иначе:

$$\begin{aligned}\Gamma_N(E) &= \Gamma\left(\sum \varepsilon < E\right) - \Gamma\left(\sum \varepsilon < E - \delta E\right) = \\ &= A_N E^N \left[1 - \left(1 - \frac{\delta E}{E}\right)^N \right] \approx A_N E^N \left(1 - e^{-\frac{\delta E}{E} N}\right) \approx A_N E^N.\end{aligned}$$

Это означает, что объем слоя с высокой степенью точности совпадает с объемом N -мерного шара и фазовый объем перестает зависеть от толщины энергетического слоя.

Задачи.

- Найти распределение по «высоте» шаров на наклонном бильярде, принимая, что размеры шаров невелики и что шары в своем движении не достигают верхнего бортика.
- Если поместить пару шаров на равных расстояниях от противоположных стенок и задать им такие начальные скорости, чтобы было $p_{1x} + p_{2x} = 0$ (а $|p_{y1}| \neq |p_{y2}|$), то распределение в плоскости (p_x, p_y) оказывается анизотропным (рис. 8)¹. Найти это распределение.

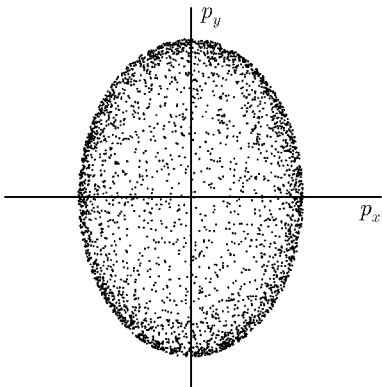


Рис. 8. Распределение по импульсам для движения пары шаров на плоском бильярде при условии $p_{1x} + p_{2x} = 0$.

Решение.

Связывающее скорости шаров условие не нарушается ни при их столкновениях друг с другом, ни при столкновениях их со стенками. С учетом этого дополнительного закона сохранения функция распределения может быть записана в виде

$$dw = A\delta\left(\frac{p_{1x}^2}{2m} + \frac{p_{1y}^2}{2m} + \frac{p_{2x}^2}{2m} + \frac{p_{2y}^2}{2m} - E\right) \delta(p_{1x} + p_{2x}) dp_{1x} dp_{1y} dp_{2x} dp_{2y}.$$

После интегрирования по p_{2x} получаем

$$dw = A\delta\left(\frac{p_{1x}^2}{m} + \frac{p_{1y}^2}{2m} + \frac{p_{2y}^2}{2m} - E\right) dp_{1x} dp_{1y} dp_{2y}$$

— в пространстве (p_{1x}, p_{1y}, p_{2y}) равномерно заполняется поверхность эллипсоида

$$\frac{p_{1x}^2}{mE} + \frac{p_{1y}^2}{2mE} + \frac{p_{2y}^2}{2mE} = 1,$$

сплюснутого в направлении оси p_{1x} .

¹Это явление обнаружила, выполняя работу в практикуме «Моделирование», студентка О. Шурыгина.

После интегрирования по p_{2y} получаем проекцию этого эллипсоида на плоскость (p_{1x}, p_{1y}) — внутренняя часть эллипса, заполнение которого резко растет по мере приближения к его контуру. Нормированное распределение

$$dw = \frac{dp_x dp_y}{2\pi \sqrt{mE(2mE - 2p_x^2 - p_y^2)}}.$$

Заметим, что подобное же условие возникает, если бильярд, по которому движутся шары, «склеить», образовав цилиндр. И в этом случае изменяется функция распределения (при наличии многих шаров, разумеется, иначе).

5.2. Статистическое моделирование

Количество состояний — статистический вес — любой интересной системы очень велико и недоступно для полного перебора с помощью компьютера. Поэтому для моделирования используют метод Монте-Карло.

Как можно было бы моделировать распределение по состояниям в термостате? Начнем с очевидного, но не эффективного метода. Выберем простой пример. Пусть в термостате находится система взаимодействующих друг с другом частиц. Определить состояние в нашем примере значит задать координаты всех частиц. Будем моделировать состояние системы при данной температуре.

Алгоритм состоит в том, что состояния системы выбираются случайным образом, а затем принимаются с определенной вероятностью или отбрасываются. Для этого достаточно найти энергию системы в выбранном состоянии E , вычислить $w = \exp(-E/T)$ и, выбрав случайное число $r = \text{random}$ в пределах $(0,1)$, принять состояние, если $r < w$, и отвергнуть в противном случае. Легко сообразить, что принимаемые состояния будут подчиняться распределению Гиббса. При таком моделировании можно было бы находить среднее значение энергии, теплоемкость и т. п.

Однако перебрать подобным образом все состояния обычно не под силу самому мощному компьютеру. Представим себе, например, «кристалл», состоящий всего из 1000 «частиц», каждая из которых может находиться в одном из двух состояний. Число разных состояний «кристалла» равно $2^{1000} \approx 10^{100}$. Если на расчеты, связанные с каждым состоянием, тратить хотя бы 1 нс, потребуется время, во много раз превосходящее возраст Вселенной.

Обычно используют более эффективные алгоритмы (естественно, и менее точные, и надежные). Один из распространенных способов моделирования носит название — метод Митрополиса.

Алгоритм таков. Сначала «разбрасываем» частицы по объему случайнным образом. Затем начнем изменять координаты отдельных частиц, сообразуясь уже с температурой термостата. Для этого зададим одной из частиц случайнным образом «пробное» смещение (можно «шевелить» и по несколько частиц сразу). Подсчитаем, как изменится при этом энергия всей системы, $E \rightarrow E + \Delta E$. После этого определим, принять это смещение или отвергнуть.

Если $\Delta E < 0$, то смещение принимается, если же $\Delta E > 0$, то принимается только с вероятностью $w = \exp(-\Delta E/T)$. Подобным образом, неоднократно шевеля каждую частицу, достигаем в конце концов некоторого равновесия.

Каким окажется это равновесие? Выберем два состояния системы (A и B), разность их энергий обозначим $\Delta E_{AB} = E_B - E_A > 0$. Пусть за очень большое время система побывала N_A раз в состоянии A и N_B раз — в состоянии B . В равновесии число переходов из A в B должно быть равно числу обратных переходов $B \rightarrow A$:

$$N_A W_{A \rightarrow B} = N_B W_{B \rightarrow A}.$$

Согласно описанному алгоритму $W_{A \rightarrow B} = \exp(-\Delta E_{AB}/T)$, $W_{B \rightarrow A} = 1$, поэтому соотношение частот пребывания системы в состояниях A и B оказывается отвечающим распределению Гиббса,

$$\frac{N_B}{N_A} = \exp\left(-\frac{E_B - E_A}{T}\right),$$

что и требуется.

Число разных методов и их вариаций велико. На этом остановимся.

6. Закон Нернста

При уменьшении температуры уменьшается статистический вес состояния тела, уменьшается и энтропия. Естественно ожидать, что при $T = 0$ будет обращаться в нуль и энтропия. Это утверждение называют иногда третьим началом термодинамики. Его открыл Нернст. Он анализировал, каким образом можно согласовать значения энтропии для веществ, получаемых разными путями в химических реакциях, в разных фазовых состояниях.

С точки зрения статистического подхода, доказательство теоремы $\langle S \rangle_{T=0} = 0$ сводится к замечанию, что система при абсолютном нуле попадает в основное состояние, и поэтому $\Gamma = 1$. Однако нужно иметь в виду, что нижнее состояние может быть вырожденным. Тогда энтропия оказывается не равной нулю. Так будет, например, для системы невзаимодействующих спинов ($S = N \ln 2$).

Выбор начала отсчета энтропии все-таки является до некоторой степени условным. Если мы имеем дело со смесью изотопов, не делая попыток разделить их, то можно принять за нуль энтропию смеси при $T = 0$. Если же существенны процессы, в которых изотопный состав изменяется, то (при $T = 0$) энтропия смеси больше суммы энтропий разделенных изотопов.

Если все температуры в задаче велики по сравнению с интервалами сверхтонкой структуры атомов (разностями энергий, обусловленными различными ориентациями спинов атомных ядер), то можно не принимать во внимание спины ядер (например, в формуле Саха положить $g_H = 2$, $g_{H^+} = 1$, что, естественно, не повлияет на результат).

Все-таки важно знать не просто предел при $T = 0$, а поведение энтропии при низких температурах. Ведь температуры, низкие по сравнению с первым возбужденным уровнем (на чем и базировалось приведенное выше «доказательство»), фактически недостижимы. О тепловых свойствах тел при низких температурах разговор впереди.

7. Квантовые газы

Пусть газ является идеальным (потенциальной энергией взаимодействия его частиц можно пренебречь), но не выполнено условие

$$\frac{V p_T^3}{(2\pi\hbar)^3} \gg N,$$

обеспечивающее малость числа частиц в сравнении с числом квантовых состояний, которые частицы фактически могут занять. В таком случае взаимное влияние частиц все равно есть и очень существенное. Оно вызвано тождественностью частиц. Такие газы называют вырожденными. В результате вместо распределения Больцмана появляются иные распределения, обычно называемые квантовыми распределениями. При этом состояния самих частиц могут быть с большой точностью классическими. Пусть

$$\frac{V p_{\text{хар}}^3}{(2\pi\hbar)^3} \lesssim N,$$

где $p_{\text{хар}}$ — характерный импульс частицы.

На квантовомеханическом языке это условие эквивалентно тому, что

$$\lambda_{\text{хар}} = \frac{2\pi\hbar}{p_{\text{хар}}} \gtrsim a \sim \left(\frac{V}{N}\right)^{1/3}.$$

Если состояние каждой частицы газа представляет собой волновой пакет, то почти все эти волновые пакеты перекрываются друг с другом.

7.1. Идеальный ферми-газ

Будем рассматривать идеальный газ и решать задачу о вероятности нахождения частицы в выбранном квантовом состоянии (с энергией ε). Мы будем рассматривать газ, частицы которого имеют полуцелый спин (фермионы) и для которых, следовательно, справедлив принцип Паули: в одной квантовой ячейке фазового пространства не может быть больше одной частицы с заданной поляризацией.

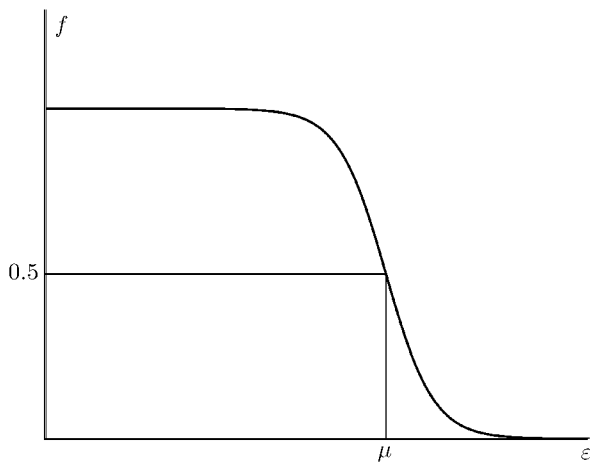


Рис. 9. Функция распределения Ферми – Дирака $f(\varepsilon)$. (Среднее число заполнения квантового состояния в зависимости от его энергии.)

Воспользуемся распределением для тела с переменным числом частиц в термостате:

$$w_{N,n} = \frac{1}{Q} e^{(N\mu - E_{Nn})/T},$$

понимая под «телом» совокупность частиц в рассматриваемом состоянии, а под термостатом — остальной газ. Число частиц в этом «теле» N может быть равно 0 или 1, а энергия его — соответственно равна 0 или ε . Вероятности этих двух состояний «тела»:

$$w_0 = \frac{1}{q}; \quad w_1 = \frac{1}{q} e^{(\mu - \varepsilon)/T},$$

где $q = 1 + e^{(\mu - \varepsilon)/T}$ — нормировочная константа. Итак,

$$w_0 = \frac{1}{e^{(\mu - \varepsilon_n)/T} + 1}, \quad w_1 = \frac{1}{e^{(\varepsilon_n - \mu)/T} + 1}.$$

Среднее число частиц в состоянии

$$\langle N_n \rangle = w_0 \cdot 0 + w_1 \cdot 1 = w_1 = f(\varepsilon).$$

Это распределение

$$f(\varepsilon) = \langle N_n \rangle = \frac{1}{e^{(\varepsilon - \mu)/T} + 1}$$

называют распределением Ферми–Дирака (рис. 9). Форма кривой $f(\varepsilon)$ зависит от температуры. При малом T ширина переходной области $\sim T$. Если $e^{(\mu - \varepsilon_n)/T} \ll 1$, то получаем больцмановское распределение:

$$\langle N_n \rangle = e^{(\mu - \varepsilon_n)/T} \ll 1.$$

Полное число частиц

$$N = \int \langle N(\varepsilon) \rangle d\Gamma = \int \frac{gVd^3p}{(2\pi\hbar)^3} \cdot \frac{1}{e^{(p^2/2mT - \mu/T)} + 1}.$$

Из этого равенства может быть найден химический потенциал $\mu(N, V, T)$. (Множитель g соответствует спиновому вырождению, далее для ферми-газа будем принимать $g = 2$.)

7.2. Ферми-газ при $T = 0$

Сделаем предположение, что $T \ll \mu$, и формально устремим $T \rightarrow 0$. Это соответствует ступеньке в распределении $\langle N_n \rangle(\varepsilon)$. В пространстве импульсов оказываются заполнены все состояния с $p \leq p_0$, где $p_0 \equiv p_F$

называют граничным, или фермиевским импульсом. Его можно выразить через концентрацию частиц:

$$N = \frac{2V}{(2\pi\hbar)^3} \cdot \frac{4}{3}\pi p_0^3, \quad p_0 = (3\pi)^{1/3}\hbar \left(\frac{N}{V}\right)^{1/3},$$

соответствующую граничному импульсу энергию $p_0^2/2m = \varepsilon_0 = \mu$ называют энергией Ферми, поверхность в импульсном пространстве $\varepsilon(p) = \mu$ — поверхностью Ферми; при меньших энергиях частиц все состояния заполнены, при больших — пусты.

Выразим еще раз полное число частиц:

$$N = A \int_0^{p_0} p^2 dp = \frac{Ap_0^3}{3}$$

и энергию

$$E = A \int_0^{p_0} \frac{p^2}{2m} p^2 dp = \frac{A}{2m} \cdot \frac{p_0^5}{5} = \frac{3N}{5} \cdot \frac{p_0^2}{2m} = \frac{3}{5} N \varepsilon_0;$$

Таким образом, средняя энергия частицы для вырожденного ферми-газа $\langle \varepsilon \rangle = \frac{3}{5} \varepsilon_0$.

Для рассматриваемого случая статистический вес равен единице. Поэтому при $T = 0$ и $S = 0$. Сосчитаем давление

$$p_0 \propto V^{-1/3}; \quad \propto V^{-2/3}; \quad P = - \left(\frac{\partial E}{\partial V} \right)_{T=0} = \frac{2}{3} \frac{E}{V} \propto V^{-5/3}.$$

Зависимость от объема такая же, как для адиабаты одноатомного бульмановского газа: $pV^\gamma = \text{const}$, $\gamma = 5/3$.

Для примера рассмотрим электронный газ в металле. В среднем на один атом приходится $1/2$ «обобществляемых» электрона (их называют электронами проводимости), т. е. концентрация электронов $\sim 10^{22} \text{ см}^{-3}$ (концентрация молекул в воздухе $\sim 10^{19} \text{ см}^{-3}$), масса электрона много меньше массы молекулы газа. Все это приводит к тому, что газ становится сильно вырожденным. Впрочем, и без численных оценок ясно, что обобществляемые в металле электроны имеют длину волны порядка размеров атомов, атомы расположены «вплотную», поэтому характерная длина волны порядка расстояний между электронами.

Точнее говоря, при образовании из отдельных атомов кристалла металла волновые функции каждого из электронов проводимости распространяются на весь кристалл, так что почти у всех них длина волны возрастает и энергия электронов уменьшается (в расчете на один электрон — на заметную долю величины ε_0). Так возникает *металлическая связь*.

В атомных единицах: $\mu \sim 1$ ат. ед. ≈ 30 эВ $\gg T \sim (1/40)$ эВ (это примерно комнатная температура). Для определения давления электронного газа в металле можно принять его температуру равной нулю.

Оценим давление электронного газа в металле:

$$P_e \sim \frac{N_e \varepsilon_0}{V} \sim 1 \text{ ат. ед.}$$

Перейти к обычным единицам удобно, сравнивая это давление с атмосферным. Для воздуха при комнатной температуре $P_{\text{атм}} = N_{\text{атм}} T / V$. Поэтому

$$\frac{P_e}{P_{\text{атм}}} = \frac{N_e \varepsilon_0}{N_{\text{атм}} T} \sim \frac{10^{22}}{10^{19}} \cdot \frac{30}{1/40} \sim 10^5 \div 10^6.$$

Потенциальная энергия взаимодействия электронов друг с другом e^2/r ; в нашем случае $p^2/2m \sim \hbar^2/(2mr^2) \sim e^2/r$ — потенциальная и кинетическая энергия одного порядка; казалось бы, нельзя считать газ идеальным. Однако можно предположить (и доказать — только не в этом курсе), что большая часть взаимодействия электрона с другими электронами и с ионами сводится к взаимодействию его с неким средним периодическим полем, что ведет к появлению эффективной энергии и квазимпульса, а также к появлению двойного электрического слоя на границе металла, приводящего к определенной работе выхода.

Если уменьшить объем в 1000 раз, то кинетическая энергия увеличится в 100 раз, а потенциальная — только в 10 раз, так что уже без сомнения можно считать электронный газ идеальным. Почти так обстоит дело вблизи центра Земли.

Вернемся к вопросу об идеальности электронного газа в металле при обычных давлениях. Фактически в ряде явлений (теплоемкость электронного газа, его проводимость, теплопроводность) принимают участие электроны с энергиями, близкими к энергии Ферми, для которых $|\varepsilon - \mu| = |p^2/2m - p_0^2/2m| \approx (p_0/m)|p - p_0| \ll \mu$. В связи с этим иногда находят удобным рассматривать вместо свободных электронов *возбуждения электронного газа (квазичастицы* — электроны и дырки) с

энергией $\epsilon = v_0 |p - p_0|$, отсчитываемой от уровня Ферми. При этом подразумевается, что большая часть взаимодействия электронов с решеткой и друг с другом включена в энергию основного состояния электронного газа, количество же возбуждений достаточно мало, чтобы считать газ возбуждений близким к идеальному. При нагревании металла происходит рождение именно таких квазичастиц. В *энергетическом слое* толщины $\sim T/\mu$ вблизи поверхности Ферми энергия газа квазичастиц совпадает с кинетической энергией электронного газа, отсчитанной от ее значения, взятого при $T = 0$. Вдали от поверхности Ферми квазичастиц почти нет. В то же время концентрация квазичастиц во много раз (примерно в μ/T раз) меньше, чем концентрация частиц.

Поэтому газ квазичастиц близок к идеальному¹.

Один из итогов рассмотрения квазичастиц как раз и состоит в том, что приближение, в котором электронный газ считается идеальным, оказывается достаточно хорошим.

Задачи.

1. Оценить скорость продольного звука в металле ($v_s^2 = \left(\frac{\partial P}{\partial \rho}\right)$), предполагая, что давление определяется электронным газом, а плотность — массами ионов.
 2. Найти отношение числа квазичастиц электронного газа при $T \ll \mu$ к числу частиц.
- Ответ: $3 \ln 2 \cdot (T/\mu)$, $\mu = p_0 v_0 / 2$.
3. Оценить радиус белого карлика, масса которого порядка массы Солнца (10^{33} г).
 4. Оценить радиус нейтронной звезды, масса которой порядка массы Солнца.
 5. В атомах с большим числом Z электронов большая часть из них движется вблизи ядра в объеме с характерным размером R . В модели Томаса – Ферми эти электроны рассматриваются как вырожденный электронный газ, температура которого равна нулю. (Один-два

¹Учет парного взаимодействия электронов в металле (а также атомов — в жидком ^3He) осуществлен в теории *ферми-жидкости* Ландау.

Оказывается, что для некоторых явлений вклад взаимодействия исчезает, для других — видоизменяет результаты. Есть и такие явления, которые целиком обязаны своим возникновением взаимодействию.

Кроме того, взаимодействие электронов (через посредство кристаллической решетки) может привести к появлению *сверхпроводимости*. Теории сверхпроводимости мы также не касаемся.

электрона движутся вблизи наружной части атома, где поле ядра почти полностью экранировано. Поэтому размеры всех атомов близки друг к другу.) Пренебрегая кулоновским взаимодействием электронов друг с другом, оценить величину R .

6. Найти вклад спиновых магнитных моментов в магнитную восприимчивость вырожденного электронного газа. (Для больцмановского газа это было сделано в конце раздела 1.4.)

7.3. Вычисление интеграла с $f(\varepsilon)$ при $T \ll \mu$

В дальнейшем нам неоднократно придется вычислять интегралы, содержащие произведение плавно изменяющейся функции $\mathcal{F}(\varepsilon)$ на функцию

$$f(\varepsilon) = \frac{1}{e^{(\varepsilon-\mu)/T} + 1},$$

— лишь слегка сглаженную «ступеньку»:

$$I = \int_0^\infty f(\varepsilon) \mathcal{F}(\varepsilon) d\varepsilon.$$

Покажем удобный способ приближенного вычисления такого интеграла.

Основной вклад дает интегрирование с заменой $f(\varepsilon)$ на «ступеньку»

$$I_0 = \int_0^\mu \mathcal{F}(\varepsilon) d\varepsilon.$$

Добавка

$$I - I_0 = \int_\mu^\infty f(\varepsilon) \mathcal{F}(\varepsilon) d\varepsilon - \int_0^\mu (1 - f(\varepsilon)) \mathcal{F}(\varepsilon) d\varepsilon,$$

содержит вклады «хвоста» и «дырок», причем оба эти распределения сосредоточены вблизи $\varepsilon = \mu$ и почти в точности симметричны (рис. 10).

Сделаем замены переменных, подчеркивающие это: $\varepsilon = \mu + Tx$ в первом интеграле и $\varepsilon = \mu - Tx$ — во втором:

$$I - I_0 = T \int_0^\infty \frac{\mathcal{F}(\mu + Tx) dx}{e^x + 1} - T \int_0^{\mu/T} \frac{\mathcal{F}(\mu - Tx) dx}{e^{-x} + 1}.$$

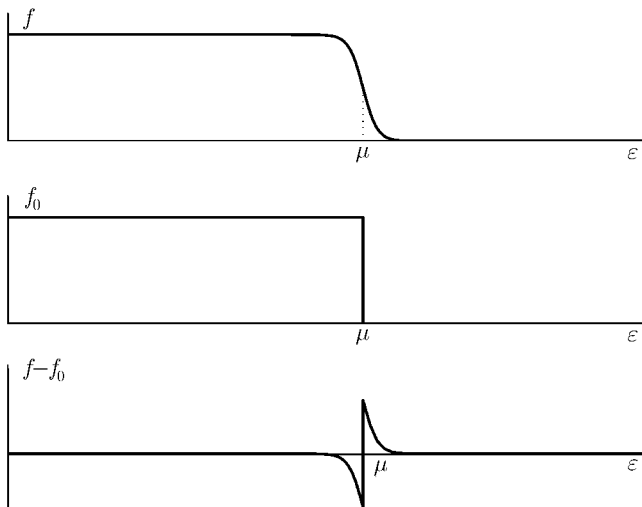


Рис. 10. Из функции $f(\varepsilon)$ выделяем основную часть — «ступеньку». Остающиеся пики имеют высоту $1/2$, ширину и площадь $\sim T$. Оценка $I - I_0 \sim -T\mathcal{F}(\mu - T) + T\mathcal{F}(\mu + T) \sim T^2\mathcal{F}'(\mu)$.

Теперь, имея в виду условие $\mu \gg T$, заменим предел интегрирования во втором интеграле на ∞ ; экспонента в знаменателе обуславливает быстрое убывание подынтегральной функции с ростом Tx , поэтому можем разложить \mathcal{F} по Tx :

$$\mathcal{F}(\mu \pm Tx) = \mathcal{F}(\mu) \pm \mathcal{F}'(\mu)Tx,$$

$$I - I_0 = 2T^2\mathcal{F}'(\mu) \int_0^\infty \frac{x dx}{e^x + 1}.$$

Интеграл¹ равен $\pi^2/12$, так что окончательно

$$I = \int_0^\infty f(\varepsilon)\mathcal{F}(\varepsilon)d\varepsilon = \int_0^\mu \mathcal{F}(\varepsilon)d\varepsilon + \frac{\pi^2}{6}T^2\mathcal{F}'(\mu). \quad (1)$$

¹Чтобы найти $\int_0^\infty \frac{x dx}{1+e^x}$, надо вычислить $\int \frac{z^2 dz}{1+e^z}$ в комплексной плоскости по пути $\infty - 2\pi i, -2\pi i, 2\pi i, \infty + 2\pi i$.

7.4. Теплоемкость вырожденного электронного газа

Наличие электронного газа в металлах дает естественное объяснение проводимости и высокой теплопроводности. Однако отсутствие наблюдавшегося вклада его в теплоемкость металла было загадочным. Можно было ожидать теплоемкости $\sim 3/2$ на электрон. Разгадка — в свойствах квантового распределения, приводящего к уменьшению теплоемкости во много раз.

Теплоемкость может быть найдена как $C_V = \left(\frac{\partial E}{\partial T}\right)_{V,N}$. Энергия

$$E = \frac{2V}{(2\pi\hbar)^3} \int \frac{\varepsilon d^3p}{e^{(\varepsilon-\mu)/T} + 1}$$

оказывается выражена через химический потенциал, поэтому нужно еще найти $\mu(N/V, T)$ — из уравнения

$$N = \frac{2V}{(2\pi\hbar)^3} \int \frac{d^3p}{e^{(\varepsilon-\mu)/T} + 1}.$$

Выделим в $d\Gamma = 2Vd^3p/(2\pi\hbar)^3$ зависимость от энергии: $d\Gamma = B\sqrt{\varepsilon}d\varepsilon$.

Пользуясь выведенной в предыдущем пункте формулой (1), находим

$$N = \frac{2}{3}B\mu^{3/2} + \frac{\pi^2}{6}T^2 \frac{B}{2\sqrt{\mu}} = \frac{2B}{3}\mu^{3/2} \left(1 + \frac{\pi^2}{8} \cdot \frac{T^2}{\mu^2}\right),$$

$$E = \frac{2}{5}B\mu^{5/2} + \frac{\pi^2}{6}T^2 \frac{3B\sqrt{\mu}}{2} = \frac{2B}{5}\mu^{5/2} \left(1 + \frac{5\pi^2}{8} \cdot \frac{T^2}{\mu^2}\right).$$

Выразим из первого уравнения $\mu = \mu(N, T)$. Для этого решаем его методом последовательных приближений, полагая $\mu^{(0)} = \varepsilon_0$. Далее:

$$\mu^{(1)} = \varepsilon_0 \left(1 - \frac{\pi^2}{8} \cdot \frac{T^2}{\varepsilon_0^2}\right)^{2/3} = \varepsilon_0 \left(1 - \frac{\pi^2}{12} \cdot \frac{T^2}{\varepsilon_0}\right),$$

$$E = \frac{2}{5}B\varepsilon_0^{5/2} \left(1 - \frac{\pi^2}{12} \cdot \frac{T^2}{\varepsilon_0^2}\right)^{5/2} \cdot \left(1 + \frac{5\pi^2}{8} \cdot \frac{T^2}{\varepsilon_0^2}\right) = \frac{3}{5}N\varepsilon_0 \left(1 + \frac{5\pi^2}{12} \cdot \frac{T^2}{\varepsilon_0^2}\right),$$

$$C_V = \frac{\pi^2}{2}N \frac{T}{\varepsilon_0}.$$

Теплоемкость мала, основное поглощение тепла идет за счет электронов, находящихся вблизи поверхности Ферми. Вклад электронного газа в теплоемкость можно наблюдать при низких температурах, так как

с уменьшением температуры вклад кристаллической решетки $C_{\text{реш}} \propto T^3$ убывает гораздо быстрее¹.

Другой способ расчета теплоемкости — через Ω -потенциал

$$\Omega = -T \ln Q, \quad Q = \sum e^{(\mu N - E)/T},$$

где Q — большая статистическая сумма. При вычислении Q не являются фиксированными не только энергия $\sum \varepsilon_k N_k$, но и полное число частиц $\sum N_k$. Это позволяет рассматривать газ как множество независимых «тел», о которых шла речь при выводе распределения Ферми–Дирака («тело» — совокупность частиц в данном квантовом состоянии). Для каждого из таких «тел» большая статсумма $q_k = 1 + e^{(\mu - \varepsilon_k)/T}$. Для всего газа

$$Q = \prod_k q_k.$$

Запишем Ω -потенциал:

$$\Omega = -T \sum_k \ln q_k = -T \sum_k \ln(1 + e^{(\mu - \varepsilon_k)/T}).$$

Сумма по всем состояниям k сводится к интегралу: $\sum_k \dots = B \int \sqrt{\varepsilon} d\varepsilon \dots$

$$\Omega = -TB \int_0^\infty \sqrt{\varepsilon} \ln(1 + e^{(\mu - \varepsilon)/T}) d\varepsilon,$$

интегрируем по частям

$$\Omega = -\frac{2}{3}B \int_0^\infty \frac{\varepsilon^{3/2} d\varepsilon}{e^{(\mu - \varepsilon)/T} + 1} = -\frac{2}{3} \sum_k \frac{\varepsilon_k}{e^{(\mu - \varepsilon_k)/T} + 1} = -\frac{2}{3}E.$$

(Ранее уже получали, что $\Omega = -PV$, а известное равенство $PV = \frac{2}{3}E$ можем использовать для контроля правильности вычислений.)

$$\Omega = -\frac{4B}{15}\mu^{5/2} \left(1 + \frac{5}{8}\pi^2 \frac{T^2}{\mu^2}\right), \quad N = -\frac{\partial \Omega}{\partial \mu} \approx \frac{2B}{3}\mu^{3/2},$$

$$S = -\left(\frac{\partial \Omega}{\partial T}\right)_{V,\mu} = \frac{\pi^2}{3}BT\sqrt{\mu},$$

$$C_V = T \left(\frac{\partial S}{\partial T}\right)_V = \frac{\pi^2}{3}B\mu^{3/2} \frac{T}{\mu}N = \frac{\pi^2}{2}N \frac{T}{\mu}.$$

Таким образом, результаты совпали.

¹Удобно построить график C_V/T в зависимости от T^2 .

Вырожденный ферми-газ встречается в природе:

- электронный газ в металлах;
- внутри атома (если атом содержит много электронов, то большая их часть образует вырожденный электронный газ; для его описания используется модель Томаса-Ферми);
- белые карлики (электронный газ удерживает такую звезду от дальнейшего сжатия, ядра «висят» на электронах);
- ядра атомов (вырожденный газ, вернее, смесь газов протонов и нейтронов);
- нейтронные звезды;
- ранняя Вселенная (в первые секунды и доли секунды после Большого взрыва Вселенная заполнена квантовыми газами фермионов и бозонов).

Задачи.

1. При каком давлении водород будет иметь плотность $10 \text{ кг}/\text{см}^3$? На сколько изменится это давление, если температура от 300 К поднимется до 3000 К ?
2. Ферми-газ является слабовырожденным $((mT)^{3/2}/(2\pi\hbar)^3 \gg N/V)$. Найти первую квантовую поправку для давления и теплоемкости.

7.5. Полупроводники

В кристалле каждый электрон движется в периодическом поле, образованном кристаллической решеткой и остальными электронами.

Вспомним факты, известные из квантовой механики.

В энергетическом спектре электрона есть разрешенные и запрещенные зоны, уровень удобно характеризовать квазимпульсом. Количество состояний в данной области «фазового» пространства выражается через квазимпульсы подобно тому, как для свободных частиц — через импульсы:

$$d\Gamma = 2 \frac{V d^3 p}{(2\pi\hbar)^3},$$

где p — квазимпульс.

Полупроводник — это кристалл, в основном состоянии которого электроны заполняют все состояния ряда зон, в других же, отделенных запрещенной зоной, электронов нет (рис. 11). В этом отношении полупроводник полностью подобен изолятору. Отличие же состоит в относительно небольшой ширине запрещенной зоны. Поэтому при комнатной температуре заметное количество электронов переходит в верхнюю зону.

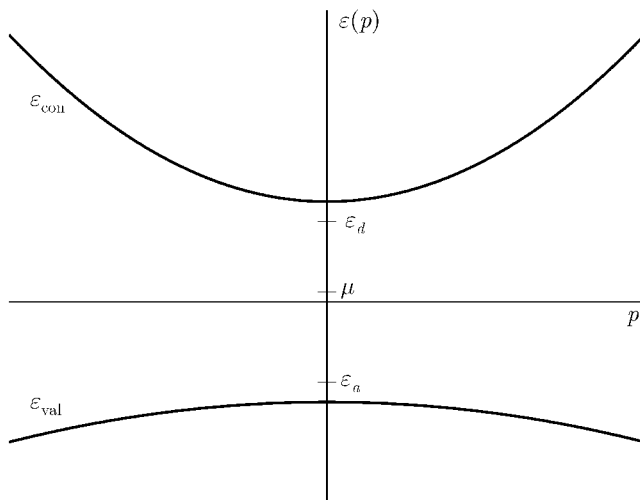


Рис. 11. Зависимость энергетических уровней полупроводника от квазимпульса. Указаны также уровень Ферми и примесные (донорные и акцепторные) уровни. Выбор начала отсчета энергии произволен.

Поставим себе задачу определить, сколько именно электронов переходит в верхнюю зону при температуре T .

Энергии уровней, освобожденных электронами в нижней зоне и занятых — в верхней, лежат вблизи запрещенной зоны. Поэтому можно ограничиться состояниями с небольшими значениями квазимпульса и энергиями, лежащими вблизи «потолка» нижней, разрешенной зоны (называемой *валентной*) и «дна» верхней (зоны *проводимости*). Пусть ширина запрещенной зоны равна Δ . В полупроводнике $\Delta \sim 1$ эВ. Мы рассматриваем полупроводник при комнатной температуре, $T \ll \Delta$. Выберем за начало отсчета энергии середину запрещенной зоны. Тогда в зоне проводимости энергия

$$\varepsilon_{\text{con}}(p) = \Delta/2 + \varepsilon_e(p),$$

где обозначено $\varepsilon_e(p) = p^2/2m_e$, m_e — некоторая константа порядка массы электрона. В валентной зоне

$$\varepsilon_{\text{val}}(p) = -\Delta/2 - \varepsilon_h(p),$$

где $\varepsilon_h(p) = p^2/2m_h$, m_h — константа (масса дырки, $h \equiv \text{hole} \equiv \text{дырка}$).

Концентрация электронов в зоне проводимости

$$n_e = \int f\left(\frac{\varepsilon_{con} - \mu}{T}\right) d\Gamma' = \int f\left(\frac{\Delta/2 + \varepsilon_e - \mu}{T}\right) d\Gamma', \quad (2)$$

$$d\Gamma' = d\Gamma/V, \quad f(x) = \frac{1}{e^x + 1}.$$

Валентная зона почти целиком заполнена, концентрация незаполненных состояний, называемых *дырками*, тоже невелика:

$$n_h = \int \left[1 - f\left(\frac{\varepsilon_{val} - \mu}{T}\right) \right] d\Gamma' =$$

$$= \int f\left(\frac{\Delta/2 + \varepsilon_h + \mu}{T}\right) d\Gamma'. \quad (3)$$

Если ввести $\mu_h = -\mu$, то формулы для электронов и дырок будут почти одинаковы, но в физике полупроводников предпочитают использовать один химический потенциал μ . Уровень энергии, равный μ , называют уровнем Ферми. Положение уровня Ферми относительно границ зон не зависит от выбора начала отсчета энергии. В рассматриваемых условиях уровень Ферми близок к середине запрещенной зоны

$$|\mu| \ll \Delta \quad (4)$$

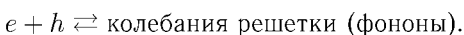
(что далее следует проверить), поэтому при температурах порядка комнатной концентрации электронов и дырок невелики, $f(x) \approx e^{-x}$, так что и электроны, и дырки образуют больцмановские газы. В этом случае интегралы (2), (3) нам хорошо знакомы:

$$n_e = e^{(\mu - \Delta/2)/T} 2 \left(\frac{m_e T}{2\pi\hbar^2} \right)^{3/2}; \quad n_h = e^{-(\Delta/2 + \mu)/T} 2 \left(\frac{m_h T}{2\pi\hbar^2} \right)^{3/2}.$$

Заметим, что

$$n_e n_h = 4 \left(\frac{m_e^{1/2} m_h^{1/2} T}{2\pi\hbar^2} \right)^3 e^{-\Delta/T}.$$

Это закон действующих масс для реакции



Из условия электронейтральности $n_e = n_h$ находим

$$n_e = n_h = 2 \frac{(m_e m_h)^{3/4} \cdot T^{3/2}}{(2\pi\hbar^2)^{3/2}} \cdot e^{-\Delta/2T}; \quad e^{-\frac{\mu}{T}} = \left(\frac{m_e}{m_h}\right)^{3/4} e^{-\Delta/2T}.$$

Уровень Ферми оказывается близок к середине запрещенной зоны:

$$\mu = \frac{3}{4} T \ln \frac{m_h}{m_e},$$

поэтому условие (4) выполнено.

Самая интересная характеристика полупроводника — его проводимость. Как известно, она равна $\sigma = ne^2\tau/m$, где τ — время между соударениями (время пробега). Величина τ сравнительно слабо зависит от температуры, n — концентрация носителей тока (электронов и дырок), зависит от температуры очень сильно. Фактически это и определяет зависимость проводимости полупроводников от температуры. В отличие от проводимости металлов, у полупроводников она растет с ростом температуры.

Обычно в полупроводниках бывают примеси — доноры и акцепторы, которые поставляют или захватывают электроны. Чем выше температура, тем меньше роль примесей. Рассмотренный нами случай чистого полупроводника трудно достичь даже при высокой температуре.

Задачи.

- Найти теплоемкость электронов и дырок в чистом полупроводнике.
- Атом примеси в полупроводнике имеет уровень энергии $\varepsilon_a = -\Delta/2 + \Delta_a \ll \Delta$ (такая примесь называется *акцепторной*). На этом уровне может оказаться один электрон, причем он может находиться в одном из двух спиновых состояний. Выразить вероятность того, что электрон окажется в таком состоянии через химический потенциал электронов.
- Атом примеси в полупроводнике имеет уровень энергии $\varepsilon_d = \Delta/2 - \Delta_d$; $\Delta_d \ll \Delta$ (*донорная* примесь). Атом донорной примеси, лишенный электрона, оказывается положительно заряженным. При достаточно большой концентрации донорной примеси n_d это приводит к резкому уменьшению концентрации дырок (т.к. произведение концентраций электронов и дырок зависит лишь от температуры). Найти концентрацию электронов в зоне проводимости в условиях, когда концентрацией дырок в валентной зоне можно пренебречь.

7.6. Идеальный бозе-газ

Бозоны — это частицы с целыми спинами $S = 0, 1, \dots$

Примеры вырожденного бозе-газа:

- фотонный газ,
- фононы — газ колебаний кристаллической решетки,
- частицы с целым спином в ранней Вселенной.

В любом квантовом состоянии (k -м) может быть любое число частиц N_k . Интересующие нас задачи — определение вероятности того, что в данном состоянии находится N_k частиц $w(N_k)$, среднего числа частиц в данном состоянии $\langle N_k \rangle$ — такие же, как для ферми-газа. И решаются они таким же способом. Отличие состоит только в том, что N_k принимает значения $0, 1, 2, \dots$

Решения этих задач представляются в таком виде: вероятность

$$w(N_k) = \frac{1}{q} e^{N_k(\mu - \varepsilon_k)/T}, \quad \text{где } q = \sum_{N_k=0}^{\infty} e^{N_k(\mu - \varepsilon_k)/T}.$$

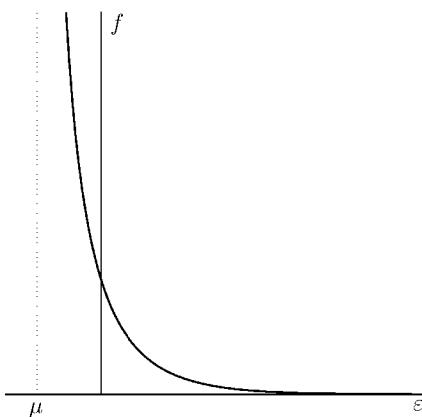


Рис. 12. Функция распределения Бозе–Эйнштейна $f(\varepsilon)$ — среднее число заполнения квантового состояния частицы в бозе-газе в зависимости от энергии этого состояния.

Чтобы ряд не расходился и была возможность найти значение химического потенциала, обеспечивающее данное полное число частиц, мы должны потребовать, чтобы было $\mu < \varepsilon_{k \min}$. Тогда можем просуммировать ряд и найти q :

$$q = \sum_{N_k=0}^{\infty} e^{N_k(\mu - \varepsilon_k)/T} = \frac{1}{1 - e^{(\mu - \varepsilon_k)/T}}.$$

Среднее значение N_k :

$$\begin{aligned} \langle N_k \rangle &= \sum_{N_k=0}^{\infty} w_k N_k = -\frac{T}{q} \frac{\partial q}{\partial \mu} = \\ &= -T \frac{\partial}{\partial \mu} \ln q = \frac{1}{e^{(\varepsilon_k - \mu)/T} - 1}. \end{aligned}$$

Это — распределение Бозе–Эйнштейна (рис. 12). Главное отличие от распределения Больцмана — большее заполнение низких уровней. Причину легко понять. Если N частиц распределены по N разным

ячейкам фазового пространства, то вклад такого состояния в общее число состояний следует разделить на $N!$ (вспомним расчет статистической суммы больцмановского газа). Каждое такое состояние дает в статистический вес вклад $1/N!$. Если же все эти частицы оказались в одной ячейке, то такое состояние идет в счет за одно.

Равенство

$$N = \int \langle N(\varepsilon) \rangle d\Gamma, N(\varepsilon) = \left(e^{(\varepsilon - \mu)/T} - 1 \right)^{-1}$$

позволяет найти $\mu = \mu(N, T, V)$.

7.7. Конденсация Бозе – Эйнштейна

Рассматриваем идеальный бозе-газ с фиксированным числом частиц.

Чтобы наблюдать газ, близкий к идеальному, его необходимо сделать разреженным. В таком случае температура рассматриваемого ниже фазового перехода оказывается очень низкой. Экспериментальное наблюдение явлений, в основе которых лежат описываемые ниже свойства бозе-газа, в 2001 году было отмечено Нобелевской премией. Мы не будем касаться подробностей этих работ.

Фазовый переход жидкого гелия в сверхтекучее состояние в какой-то мере также сходен с фазовым переходом в бозе-газе, о котором пойдет речь далее.

Полное число частиц

$$N = \frac{V}{(2\pi\hbar)^3} \int \frac{d^3 p}{e^{(p^2/2mT - \mu/T)} - 1} = \frac{V(2mT)^{3/2}}{2\pi^2\hbar^3} \int_0^\infty \frac{\sqrt{x} dx}{e^{x - \mu/T} - 1}.$$

Введем в рассмотрение функцию $b_a(y)$:

$$b_a(y) = \int_0^\infty \frac{x^a dx}{e^{x+y} - 1},$$

$$\begin{aligned} \frac{db_a(y)}{dy} &= \int_0^\infty x^a dx \frac{d}{dy} \frac{1}{e^{x+y} - 1} = \int_0^\infty x^a dx \frac{d}{dx} \frac{1}{e^{x+y} - 1} = \\ &= -a \int_0^\infty x^{a-1} dx \frac{1}{e^{x+y} - 1} = -ab_{a-1}(y). \end{aligned}$$

(Эта формула не годится при $a \leq 1$, $y = 0$.) Функция $b_a(y)$ определена при $y \geq 0^1$ и монотонно убывает с ростом y .

Через эту функцию удобно выразить полное число частиц

$$N = \frac{V(2mT)^{3/2}}{4\pi^2\hbar^3} b_{1/2}\left(-\frac{\mu}{T}\right) = AVT^{3/2}b_{1/2}(y), \quad (5)$$

где $y = -\mu/T$. Полученное равенство может служить для определения химического потенциала по числу частиц.

Получаем уравнение $b_{1/2}(y) = N/VAT^{3/2}$, откуда определяется y , а затем и $\mu = -Ty$. При понижении температуры правая часть этого уравнения возрастает и при некоторой температуре T_k достигает значения $b_{1/2}(0)$. Химический потенциал становится равен нулю. При более низких температурах уравнение не имеет решений. Частиц больше, чем предусмотренных функцией распределения «занимаемых мест».

Что же происходит при $T \rightarrow T_k$? В этом случае $\mu \rightarrow -0$ и число частиц с нулевой энергией N_0 формально оказывается бесконечным:

$$N_0 = \frac{1}{e^{-\mu/T} - 1} \approx \frac{T}{-\mu}.$$

Значит, выбирая химический потенциал достаточно близким к нулю, мы можем придать величине N_0 любое значение — все частицы, которым «не хватило мест», попадают в одно и то же квантовое состояние с $\varepsilon = 0$. (Говорят, что эти частицы составляют *конденсат*.) Уравнение (5) следует переписать:

$$N = AVT^{3/2}b_{1/2}(y) + N_0.$$

При $T > T_k$ в этом уравнении следует принять $N_0 = 0$, и тогда оно, как уже говорилось, определяет химический потенциал. При $T < T_k$ в этом уравнении следует положить $y = 0$. Тогда оно определяет N_0 .

Отсюда получаем число частиц с нулевой энергией²:

$$N_{\varepsilon=0} = N \left[1 - \left(\frac{T}{T_k} \right)^{3/2} \right].$$

$$\begin{aligned} b_a(0) &= \int_0^\infty e^{-x} x^a (1 + e^{-x} + e^{-2x} + \dots) dx = \sum_{n=1}^\infty 1/n^{a+1} \cdot \int_0^\infty x^{a+1} e^{-x} dx = \\ &= \Gamma(a+1)\zeta(a+1). \end{aligned}$$

²Рассуждения относительно скачков справедливы для предела

$$N \rightarrow \infty, \quad V \rightarrow \infty, \quad \frac{N}{V} = \text{const},$$

обычно называемого *термодинамическим пределом*.

Функция $b'_{1/2}(y)$ при $y \rightarrow 0$ обращается в бесконечность¹. Это приводит к плавному росту $|\mu(T)|$ вблизи $T = T_k$, $\mu'(T_k) = 0$.

Энергия также легко выражается через функцию $b_a(y)$:

$$E = \frac{V}{(2\pi\hbar)^3} \int_0^\infty \frac{\varepsilon d^3 p}{e^{(\varepsilon-\mu)/T} - 1} = AVT^{5/2} b_{3/2}(y) = N \frac{T^{5/2} b_{3/2}(y)}{T_k^{3/2} b_{1/2}(0)}.$$

Кривая $C_V(T)$ в критической точке имеет излом. Если же бозе-газ находится во внешнем поле, скажем, в поле тяжести, то будет и скачок теплоемкости.

При температуре ниже критической давление $P = \frac{2}{3} \frac{E}{V} = P(T)$ перестает зависеть от объема.

Все это напоминает свойства насыщенного пара, находящегося в контакте с жидкостью. При нагревании происходит испарение жидкости, что влияет на теплоемкость системы, если же жидкость полностью испарится, теплоемкость сразу же изменяется. Во внешнем поле частицы конденсата пространственно выделены (их слой — «на полу»), но в рассмотренном случае они распределены по всему объему, говорят, что происходит конденсация в импульсном пространстве.

Рассмотренное явление называется конденсацией Бозе – Эйнштейна.

Задачи.

- Бозе-газ находится в поле

$$U(z) = \begin{cases} fz & \text{при } z > 0, \\ \infty & \text{при } z < 0. \end{cases}$$

Найти температуру T_k конденсации Бозе – Эйнштейна, теплоемкость при $T < T_k$, скачок теплоемкости в точке конденсации, высоту

центра тяжести газа $\langle z \rangle$ и скачок величины $\frac{\partial \langle z \rangle}{\partial T}$.

¹Чтобы найти $b_{1/2}(y)$ при $y \ll 1$, введем функцию $\tilde{b}(z) = b_{1/2}(z^2)$, которую при $z \ll 1$ можно представить в виде $\tilde{b}(z) = \tilde{b}(0) + z\tilde{b}'(0)$, где $\tilde{b}'(0) = -\lim_{z \rightarrow 0} (zb_{-1/2}(z^2))$; $zb_{-1/2}(z^2) = \int_0^\infty \frac{zdx}{\sqrt{x}(e^{x+z^2}-1)}$; после замены $x = z^2u^2$ получаем $\tilde{b}'(z) = -\int_0^\infty \frac{z^2du}{e^{(u^2+1)z^2}-1} = -\int_0^\infty \frac{du}{(u^2+1)+z^2(u^2+1)/2+\dots}$ итоге $b_{1/2}(y) = b_{1/2}(0) - \pi\sqrt{y}$.

лучаем $\tilde{b}'(z) = -\int_0^\infty \frac{z^2du}{e^{(u^2+1)z^2}-1} = -\int_0^\infty \frac{du}{(u^2+1)+(z^2(u^2+1)/2+\dots)} \rightarrow -\pi$. В

2. Бозе-газ находится в поле $U = m\omega^2 r^2/2$. Найти температуру T_k конденсации Бозе – Эйнштейна, теплоемкость при $T < T_k$ и скачок теплоемкости в точке конденсации.
3. Найти скачок величины $\left(\frac{\partial C_V}{\partial T}\right)_V$ в точке $T = T_k$.

7.8. Газ фотонов

Число фотонов не является фиксированным, так как фотоны могут появляться и исчезать в любых количествах. Их количество определяется условием, что свободная энергия имеет минимум:

$$\mu = \left(\frac{\partial F}{\partial N}\right)_{T,V} = 0.$$

(Другое обоснование этого условия — ссылка на условие равновесия в реакции излучения и поглощения фотона атомом $A + \gamma \rightleftharpoons A$: $\mu_A + \mu_\gamma = \mu_A$.)

Для фотонов $p = \hbar k = \hbar\omega/c$; $\varepsilon = \hbar\omega$. Число фотонов :

$$dN = \frac{2Vd^3k}{(2\pi)^3(e^{\hbar\omega/T} - 1)} = \frac{V\omega^2 d\omega}{\pi^2 c^3 \cdot (e^{\hbar\omega/T} - 1)};$$

множитель 2 возник за счет разных поляризаций. Спектральное распределение получается умножением dN на $\hbar\omega$:

$$dE = \frac{V\hbar\omega^3 d\omega}{\pi^2 c^3 (e^{\hbar\omega/T} - 1)}$$

— это известное распределение Планка.

Число фотонов в заданном объеме при данной температуре

$$N = \frac{2V}{(2\pi\hbar)^3} \int \frac{d^3p}{e^{\hbar\omega/T} - 1}.$$

Удобно перейти от p к ω и проинтегрировать по углам

$$N = \frac{V}{\pi^2} \left(\frac{T}{\hbar c}\right)^3 \int_0^\infty \frac{x^2 dx}{e^x - 1}.$$

(Грубая оценка: $N \sim V/\lambda_{\text{хар}}^3$, где $\lambda_{\text{хар}} = 2\pi c/\omega_{\text{хар}}$, $\hbar\omega_{\text{хар}} \sim T$.)

Энергия фотонного газа¹

$$E = \frac{2V}{(2\pi\hbar)^3} \int \frac{\hbar\omega d^3 p}{e^{\hbar\omega/T} - 1} = \frac{VT^4}{\pi^2(\hbar c)^3} \int_0^\infty \frac{x^3 dx}{e^x - 1} = \frac{\pi^2 VT^4}{15(\hbar c)^3}.$$

Найдем давление фотонного газа. Для оценки можно написать, как и для любого газа $P \sim nvp \sim n\hbar\omega \sim$ плотности энергии. Точный расчет даст $PV = \frac{1}{3}E$.

Чтобы показать это, проинтегрируем по углам выражение для импульса, переданного единице площади стенки в единицу времени фотонами с определенной энергией $\varepsilon = cp$. Каждый фотон передает импульс $\Delta p = 2p \cos \theta$. Число фотонов, прилетающих с определенного направления $n(\varepsilon)v_z d\Omega$, $v_z = c \cos \theta$. При этом интегрируем по телесному углу 2π , имея в виду, что фотоны прилетают с одной стороны стенки:

$$\int \Delta p \ n(\varepsilon)v_z d\Omega = n(\varepsilon)2pc \int_0^{\pi/2} \cos^2 \theta \ 2\pi \sin \theta d\theta = \frac{1}{3}n(\varepsilon)2\pi cp,$$

— так возникла «1/3». (А для газа с энергиями частиц $\varepsilon = p^2/2m$ и изотропной функцией распределения подобным же образом появляется «2/3».) Внутри Солнца давление фотонного газа сопоставимо с давлением газа ионов и электронов.

Напомним, что в качестве модели поверхности *абсолютно черного тела* (тела, поглощающего любой упавший на него фотон) может быть принята дырка, ведущая в замкнутую полость с хорошо поглощающими стенками. Состояние газа фотонов в такой полости определяется температурой ее стенок. Сосчитаем энергию улетающих через дырку фотонов, энергия каждого из которых равна ε :

$$2\pi n(\varepsilon)c\varepsilon \int_0^{\pi/2} \cos \theta \sin \theta d\theta = n(\varepsilon)\varepsilon c\pi.$$

Значит, энергия фотонов, улетающих с единицы поверхности черного тела в единицу времени,

$$I = \frac{c}{4} \cdot \frac{E}{V}.$$

¹Интеграл вычисляется таким же образом, как похожий интеграл в задаче о фермигазе. См. также задачу к этому разделу.

Это закон Стефана – Больцмана излучения черного тела. Обычно его представляют в виде

$$I = \sigma T^4, \quad \text{где} \quad \sigma = \frac{\pi^2 k_B^4}{60 \hbar^3 c^2} = 5,67 \cdot 10^{-8} \text{Вт/м}^2 \text{К}^4$$

(температура — в градусах Кельвина).

Если абсолютно черное тело находится в равновесии с газом фотонов, то падающая на единицу его поверхности за единицу времени энергия равна излучаемой, т. е. I . Тело, поглощающее падающее на него излучение лишь частично, можно характеризовать его *поглощательной способностью* A — долей поглощаемой энергии. Если тело находится в равновесии с газом фотонов, то поглощаемая телом энергия AI компенсируется излучаемой, так что излучение пропорционально поглощательной способности $I' = AI$ (закон Кирхгофа).

Теплоемкость

$$C_V = \frac{\partial E}{\partial T} \propto T^3.$$

Давление зависит только от температуры, поэтому теплоемкость C_P можно считать бесконечной.

Задачи.

1. Введем функции

$$f_a(y) = \int_0^\infty \frac{x^a dx}{e^{x+y} + 1}; \quad b_a(y) = \int_0^\infty \frac{x^a dx}{e^{x+y} - 1}.$$

Доказать равенство $f_a(y) = b_a(y) - b_a(2y)/2^a$. Найти соотношение между концентрациями электронов, позитронов и фотонов при температуре $T \gg m_e c^2$ (такая высокая температура была в малые доли секунды после *Большого взрыва*; в этих условиях можно принять, что концентрации электронов и позитронов одинаковы).

2. Оценить концентрацию фотонов при температуре 3 К (реликтовое излучение).

7.9. Теплоемкость твердого тела

Имеется в виду кристаллическая решетка, о теплоемкости электронного газа речь уже шла.

Движение атомов относительно друг друга можно рассматривать как малые колебания. Вспомним, что для цепочки атомов была зависимость частот от номера нормального колебания. В кристалле ситуация аналогична.

Атомы в кристалле можно представлять набором осцилляторов с разными частотами. При температурах, высоких по сравнению с наибольшей из этих частот, на каждый осциллятор приходится теплоемкость $c = 1$, на N атомов — $C = 3N$ — это закон Дюлонга и Пти.

При низких температурах теплоемкость падает. Эйнштейн принял, что все частоты этих осцилляторов одинаковы. Тогда при малых T теплоемкость $C \propto e^{-\hbar\omega_0/T}$. Эксперимент дает $C \propto T^3$.

Дебай предположил, что спектр примерно такой же, как для колебаний упругого тела, $\omega = uk$, где k — волновой вектор, u — скорость звука, некоторым образом усредненная (см. ниже). Полное же число нормальных колебаний было выбрано равным числу степеней свободы, что обеспечивает выполнение в модели закона Дюлонга и Пти.

При низких температурах осцилляторы с высокими частотами не возбуждаются, поэтому ограничение спектра не оказывается и получается такая же зависимость теплоемкости от температуры, как для фотонного газа $C \propto T^3$.

В промежуточной области температур модель Дебая можно считать интерполяционной.

Удобно ввести циклические граничные условия и рассматривать в качестве нормальных колебаний бегущие волны. Нужно учитывать, что возможны разные поляризации звуковых волн, в изотропном теле — продольные (l) и поперечные (t).

Число колебаний

$$d\Gamma = \sum_i \frac{V d^3 k}{(2\pi)^3} = \sum_{i=l,t_1,t_2} \frac{V 4\pi \omega^2 d\omega}{(2\pi)^3 u_i^3} = \frac{3V \omega^2 d\omega}{2\pi^2 u^3},$$

где u — средняя скорость звука в решетке, которая определяется так:

$$\frac{3}{u^3} = \frac{1}{u_l^3} + \frac{2}{u_t^3}.$$

Максимальную частоту можно определить из условия:

$$\frac{3V}{2\pi^2 u^3} \int_0^{\omega_m} \omega^2 d\omega = \frac{V \omega_m^3}{2\pi^2 u^3} = 3N.$$

Обычно вводят дебаевскую температуру

$$T_D = \hbar\omega_m = \left(6\pi^2 \frac{N}{V}\right)^{1/3} \hbar u.$$

Теперь легко записать энергию

$$\begin{aligned} E &= \frac{3V}{2\pi^2 u^3} \int_0^{\omega_m} \hbar\omega \left(\frac{1}{2} + \frac{1}{e^{\hbar\omega/T} - 1} \right) \omega^2 d\omega = \\ &= \frac{3VT^4}{2\pi^2 u^3 \hbar^3} \int_0^{T_D/T} \left(\frac{1}{2} + \frac{1}{e^x - 1} \right) x^3 dx = 3N \left[\frac{3}{8} T_D + T \cdot D\left(\frac{T_D}{T}\right) \right], \end{aligned}$$

где

$$D(x) = \frac{3}{x^3} \int_0^x \frac{z^3 dz}{e^z - 1} = \begin{cases} \frac{1}{\pi^4/5x^3} & \text{при } x \ll 1 \\ \frac{1}{x} & \text{при } x \gg 1 \end{cases}$$

— функция Дебая (ее значения имеются в таблицах, что имело смысл до распространения компьютеров).

$$\text{При } T \ll T_D \quad E = (9/8)NT_D + (3\pi^4/5)N(T^4/T_D^3),$$

$$C = (12\pi^4/5)N(T^3/T_D^3).$$

$$\text{При } T \gg T_D \quad E = 3NT, \quad C = 3N.$$

Теория Дебая оказалась очень удачной¹.

Примеры значений дебаевской температуры: очень высокая — для алмаза ($T_D=1860$ К) и низкая — для свинца ($T_D=88$ К).

Тепловое движение можно считать газом фононов, каждое нормальное колебание — сорт фононов, $N_{\mathbf{k}}$ — число фононов с волновым вектором \mathbf{k} . Отвлекаясь от возможных явлений, связанных с поверхностью, удобно принять циклические граничные условия для колебаний решетки. Тогда каждый фонон можно представлять себе как бегущую плоскую волну с определенными поляризацией и волновым вектором.

Истинный спектр колебаний известен из опытов по рассеянию нейтронов. При неупругом рассеянии проявляются отдельные фононы, и

¹Иногда в таблицах для того, чтобы привести зависимость теплоемкости от температуры, указывают зависимость $T_D(T)$, подразумевая, что $C = 3N[D(T_D/T) - D'(T_D/T)T_D/T]$.

законы сохранения позволяют по потере импульса и энергии нейтроном узнать зависимость энергии фона на от его квазимпульса. Спектр оказался не очень похож на дебаевский.

В выражении энергии есть слагаемое $9NT_D/8$ — вклад нулевых колебаний. Оно не проявляется в теплоемкости. Однако в других явлениях (рассеяние рентгеновских лучей, эффект Мёссбауера и др.) эти колебания полностью проявляются.

Задача.

Используя модель Дебая, найти средний квадрат отклонения атома от положения равновесия r^2 .

Решение.

Отклонение атома, связанное с одним из нормальных колебаний $r_{\mathbf{k}}$, определяется условием

$$\frac{Nm\omega_{\mathbf{k}}^2 \langle \mathbf{r}_{\mathbf{k}}^2 \rangle}{2} = \frac{1}{2} \hbar \omega_{\mathbf{k}} \left(\frac{1}{2} + \frac{1}{e^{\hbar \omega_{\mathbf{k}}/T} - 1} \right), \quad (6)$$

отклонения в разных колебаниях можно считать независимыми и поэтому значения $\langle \mathbf{r}_{\mathbf{k}}^2 \rangle$ для разных \mathbf{k} сложить:

$$\langle r^2 \rangle = \int \frac{\hbar}{Nm\omega} \left(\frac{1}{2} + \frac{1}{e^{\hbar \omega/T} - 1} \right) d\Gamma = \frac{3V\hbar}{4Nm\pi^2 u^3} \int_0^{\omega_m} \omega \operatorname{cth} \frac{\hbar\omega}{2T} d\omega. \quad (7)$$

7.10. Тепловое расширение твердых тел

Газ, находящийся в сосуде, оказывает давление на его стенку за счет передачи импульса стенке отражающимися от нее молекулами. Таким же представляем мы себе механизм возникновения давления фотонного газа. Для газа фона на такое представление не годится: в гармоническом приближении импульс, переносимый фононами, равен нулю¹. Тем не менее колебания кристаллической решетки, которые мы можем

¹Если кристалл закреплен, то каждый атом колебается около своего положения равновесия, среднее за период значение скорости атома $\langle \mathbf{v}_i \rangle$ равно нулю. Импульс, связанный с фононом, $\langle \sum m_i \mathbf{v}_i \rangle = 0$. В «закон сохранения» для рассеяния, например, нейтрона входит квазимпульс фона.

представлять себе как газ фононов, оказывают на кристалл давление изнутри. Это эффект, целиком обусловленный отклонением колебаний атомов от гармонического приближения. Зависимость этого давления от температуры приводит к тепловому расширению кристалла.

Механизм возникновения давления, обусловленного колебаниями кристаллической решетки, можно понять с помощью простой модели.

Рассмотрим сначала линейную цепочку частиц, связанных пружинами. Обозначим отклонение i -й и $(i-1)$ -й частиц от своих положений равновесия x_i и x_{i-1} ; пусть потенциальная энергия соединяющей их пружинки $u(x_i, x_{i-1}) = kx^2/2 - bx^3/3$, где $x = x_i - x_{i-1}$ (см. рис.5). Сила, действующая на i -ю частицу со стороны $(i-1)$ -й, равна $f = -\frac{\partial u}{\partial x_i} = -kx + bx^2$. Пусть цепочка колеблется. Среднее по времени значение силы $\langle f \rangle = b\langle x^2 \rangle$ и представляет собой «давление», обусловленное колебаниями. Считая ангармоническое слагаемое в потенциальной энергии малой поправкой, можно выразить $\langle x^2 \rangle$ через энергию колебаний цепочки E : $Nk\langle x^2 \rangle/2 \approx E/2$, где N — число звеньев (среднее значение потенциальной энергии равно половине полной)¹. Если края цепочки не закреплены, ее длина увеличится на $N\langle f \rangle/k = bE/k^2$.

Аналогично можно оценить давление фононного газа в трехмерном кристалле, приняв в качестве модели объемную кубическую структуру, построенную из таких же частиц и пружинок. Пусть равновесное расстояние между частицами равно a . Давление фононного газа $P_{phon} = \langle f \rangle/a^2$. Величину $\langle f \rangle$ оцениваем так же, как для линейной цепочки, $\langle f \rangle \sim b\langle x^2 \rangle \sim bE/kN$, с тем только отличием, что E — энергия колебаний всего кристалла, а $N = V/a^3$ — число пружинок одного направления (совпадающее с числом частиц), V — объем кристалла. Таким образом, $P_{phon} \sim (ba/k)(E/V)$.

Коэффициенты жесткости выражаются через потенциальную энергию взаимодействия соседних частиц $k = u >> (a)$, $b = -u >> (a)/2$, и при этом² $b \sim k/a$. В итоге $P_{phon} \sim E/V$. Таким образом, самая грубая оценка давления газа фононов приводит к такой же формуле, как для обычного газа и газа фотонов.

С ростом температуры растет P_{phon} , это и приводит к тепловому

¹В гармоническом приближении равенство можно считать точным для цепочки с циклическими граничными условиями: в этом случае роль нормальных колебаний играют бегущие волны, и для каждого из таких колебаний смещения разных частиц отличаются друг от друга лишь сдвигом по фазе.

²Так для популярного потенциала Леннарда – Джонса $u(r) = u_0 [(a/r)^{12} - 2(a/r)^6]$ получаем $b = 3k/a$.

расширению кристалла. Линейный коэффициент теплового расширения (равный 1/3 объемного)

$$\alpha = \frac{1}{3V} \left(\frac{\partial V}{\partial T} \right)_P = \frac{1}{3VK} \left(\frac{\partial P_{phon}}{\partial T} \right)_V,$$

где K — модуль всестороннего сжатия,

$$\frac{1}{K} = -\frac{1}{V} \left(\frac{\partial V}{\partial P} \right)_T$$

(в последнем равенстве P — внешнее давление в законе Гука)¹. Таким образом, получаем оценку

$$\alpha \sim \frac{bC_{phon}}{3VKKa^2N}, \text{ где } C_{phon} = \left(\frac{\partial E}{\partial T} \right)_V$$

— теплоемкость кристаллической решетки. Величину

$$\gamma = \frac{3KV\alpha}{C}$$

называют *параметром Грюнайзена*. Согласно нашей оценке параметр Грюнайзена $\gamma \sim P_{phon}V/E$ не зависит от температуры. В атомных единицах грубая оценка $a \sim k \sim b \sim K \sim 1$ дает $\gamma \sim 1$. При температуре выше дебаевской $C/V \sim 1$, так что $\alpha \sim 1$. Поскольку 1 ат.ед. энергии $\approx 27,2$ эВ $\approx 3 \cdot 10^5$ К, в обычных единицах $\alpha \sim 3 \cdot 10^{-6} K^{-1}$. В качестве самой грубой оценки это правильный ответ (для многих веществ величина α несколько больше).

Отметим, что в рассмотренной модели нет поперечного звука.

Можно выразить давление газа фононов и без использования этой несколько примитивной модели. Свободная энергия фононного газа совпадает с его Ω -потенциалом (т.к. химический потенциал равен нулю) и может быть выражена через большую статистическую сумму:

$$Q = \prod_a \frac{e^{-\hbar\omega_a/2}}{1 - e^{-\hbar\omega_a/T}},$$

¹Использовано соотношение

$$\left(\frac{\partial V}{\partial T} \right)_P = - \left(\frac{\partial V}{\partial P} \right)_T \left(\frac{\partial P}{\partial T} \right)_V.$$

где a — номер моды колебания, задаваемой волновым вектором и поляризацией (Q вычисляется подобно тому, как это сделано для ферми-газа в конце раздела 7.4).

$$F = -T \ln Q = \sum_a \left(\frac{\hbar\omega_a}{2} + T \ln (1 - e^{-\hbar\omega_a/T}) \right),$$

$$P_{phon} = -\frac{\partial F}{\partial V} = -\hbar \sum_a n_a \frac{\partial \omega_a}{\partial V}, \quad n_a = \frac{1}{2} + \frac{1}{e^{\hbar\omega_a/T} - 1}, \quad (8)$$

$$\alpha = -\frac{\hbar}{3K} \sum_a \frac{\partial n_a}{\partial T} \frac{\partial \omega_a}{\partial V}.$$

Заметим также, что

$$E = \hbar \sum_a n_a \omega_a, \quad C = \hbar \sum_a \frac{\partial n_a}{\partial T} \omega_a.$$

При $T \ll T_D$ возбуждены только низкочастотные, акустические колебания, для которых $\frac{\partial \omega_a}{\partial V} = \gamma \frac{\omega_a}{V}$, где $\gamma = \text{const}^1$, так что

$$\alpha = \frac{\gamma}{3KV} \sum_a \frac{\partial n_a}{\partial T} (\hbar\omega_a) = \frac{\gamma C(T)}{3KV}.$$

При $T \gg T_D$ имеем $(\hbar\omega_a) \frac{\partial n_a}{\partial T} = 1$,

$$\alpha = \frac{1}{3K} \sum_a \frac{\partial \omega_a}{\partial V},$$

и α , как и теплоемкость, не зависит от температуры. В обоих предельных случаях параметр Грюнайзена оказывается константой, но разной при высоких и при низких температурах². Например, для кристалла NaCl при низких температурах $\gamma \approx 0,5$, а при комнатной — $\gamma \approx 1,6$.

¹Точнее говоря, величина γ определяется усреднением по продольным и поперечным звуковым колебаниям.

²Для линейной цепочки при циклических граничных условиях $\omega_s = \sqrt{\frac{k}{m}} \sin \frac{\pi s}{2N}$ вместо $\frac{\partial \omega_a}{\partial V}$ следует подставить $\frac{\partial \omega_s}{N \partial a}$; т. к. $\frac{\partial \omega_a}{\omega_a} = \frac{\delta k}{2k} = -\frac{b \delta a}{ka}$, получаем $\langle f \rangle = \frac{b}{kN} \sum \hbar \omega_a n_a$, что совпадает, естественно, с результатом, полученным в начале раздела.

В металлах есть еще электронный газ, давление которого очень велико, но очень слабо зависит от температуры. Влияние давления электронного газа на коэффициент теплового расширения (как и на теплопроводность) можно обнаружить только при низких температурах.

Задача.

Найти вклад давления электронного газа в коэффициент теплового расширения металла.

7.11. Силы притяжения между нейтральными проводниками (силы Казимира)

Свободная энергия газа фотонов и его давление вычисляются также, как для газа фононов (см. (8)),

$$P = -\hbar \sum_a n_a \left(\frac{\partial \omega_a}{\partial V} \right),$$

где среднее число фотонов моды a

$$n_a = \frac{1}{2} + \frac{1}{\exp(\hbar\omega_a/T) - 1},$$

однако зависимость собственных частот от объема оказывается иной. В объеме $V = L^3$, ограниченном идеально проводящими стенками, для каждой моды собственных колебаний, определяемой волновым вектором и поляризацией, частота $\omega_a \propto V^{-1/3}$, так что $\left(\frac{\partial \omega_a}{\partial V} \right) = -\omega_a/3V$. (В отличие от газа фононов, нелинейные поправки к делу отношения не имеют.) Энергия

$$E = \sum_a n_a \hbar \omega_a. \quad (9)$$

В результате мы вновь получаем соотношение $P = E/3V$, но на этот раз энергия включает в себя и энергию нулевых колебаний электромагнитного поля.

Набор частот ω_a включает в себя сколь угодно высокие частоты, поэтому выражение (9) представляет собой расходящуюся сумму. Вклад нулевых колебаний в энергию оказывается бесконечным. Этот факт можно было бы рассматривать либо как проявление незавершенности современной теории, либо как следствие некорректной постановки вопроса. В частности, следует отказаться от представления об идеально проводящих стенках. Для электромагнитных волн высоких частот стенки

становятся прозрачными и величина $(\frac{\partial \omega_a}{\partial V})$ обращается в нуль. Таким образом, для давления вопрос о расходимости снимается.

Однако вопрос о бесконечной энергии в данном объеме остается. Одна из возможностей «спасти» теорию — признать, что в этом случае речь идет о величине, которая не могла бы быть измерена (в отличие от давления)¹.

Возможнымказалось и такое спасение от появления в теории неприятной расходимости: сместим начало отсчета энергии электромагнитных колебаний и примем, что нулевых колебаний вообще не существует. Такой подход оказался ошибочным. Нулевые колебания электромагнитного поля были обнаружены экспериментально. Первоначально это был эксперимент, связанный с наблюдением влияния нулевых колебаний на спектры атомов («лембовский сдвиг»). Немного позже для проверки реальности нулевых колебаний электромагнитного поля было предложено наблюдать силы, действующие на проводник (Казимир, 1948).

Если электромагнитное излучение находится в области пространства, включающей проводящие и диэлектрические тела, то частоты собственных колебаний электромагнитного поля зависят от формы и расположения этих тел. Пусть форма и положение тел задаются параметрами λ , так что $\omega_a = \omega_a(\lambda)$. Соответствующая параметру λ обобщенная сила, действующая на среду со стороны фотонного газа, равна $\Lambda = -(\frac{\partial F}{\partial \lambda})_T$.

Будем рассматривать электромагнитное поле в щели между полу-пространством, заполненным проводником, и плоским слоем проводника, находящимся от него на расстоянии l .

Для низких частот колебаний можно считать проводник идеальным, а для очень высоких — прозрачным. Для низких частот

$$\omega(k_{\perp}, s) = c\sqrt{k_{\perp}^2 + k_z^2}, \quad k_z = \frac{\pi s}{l}, \quad s = 1, 2, 3, \dots, \quad (10)$$

где k_{\perp} — двумерный вектор (в плоскости, параллельной границе слоя). Давление электромагнитного поля на поверхность проводника

$$P = -\hbar \int \frac{2d^2 k_{\perp}}{(2\pi)^2} \sum_{s=1}^{\infty} \frac{\partial \omega(k_{\perp}, s)}{\partial l} n(\omega) R(\omega), \quad (11)$$

¹Можно было бы смотреть на энергию нулевых колебаний как на источник добавочного гравитационного поля, которое все-таки может наблюдаться. Так ли это, до сих пор не ясно.

Во избежание недоразумений отметим, что в современных теориях существуют общепринятые способы исключать бесконечные величины. Однако в промежуточных построениях «бесконечности» остаются.

где множитель $R(\omega)$ отражает указанные выше свойства проводника:

$$R(\omega) = \begin{cases} 1 & \text{при } \omega \rightarrow 0, \\ 0 & \text{при } \omega \rightarrow \infty, \end{cases}$$

т. е. зависит от частоты примерно так же, как коэффициент отражения света. Наличие этого множителя гарантирует отсутствие расходимости при высоких частотах.

В интеграле (11) подставим $\partial\omega/\partial l = -c^2 k_z^2 / \omega l$ (согласно (10)):

$$P = \frac{\hbar}{l} \sum_s \int \frac{2d^2 k_{\perp}}{(2\pi)^2 \omega} n(\omega) k_z^2 R(\omega). \quad (12)$$

Давление на слой со стороны свободного полупространства можно получить, устремив в (12) l к бесконечности и перейдя при этом от суммирования по s к интегрированию по $dk_z = (\pi/l)ds$. Учитывая, что $\hbar k_z = p_z$, $c^2 k_z / \omega = v_z$, получим, разумеется,

$$P_0 = \int_{v_z > 0} \frac{2d^2 k_{\perp} dk_z}{(2\pi)^3} n(\omega) v_z 2p_z R(\omega), \quad (13)$$

т. е. уже известное нам давление фотонного газа.

Иначе говоря, переход к свободному полупространству сводится к замене $\sum_s \dots$ на $\int ds \dots$, при этом параметр l исчезал при заменах переменных, подразумевалось только, что он очень велик.

Разность $\Delta P = P_0 - P$ определяет силу притяжения слоя к полупространству, заполненному проводником. Для дальнейших расчетов удобно в интеграле (12) после интегрирования по углу ($d^2 k_{\perp} \rightarrow 2\pi k_{\perp} dk_{\perp}$) перейти от переменной k_{\perp} к переменной $\omega = \omega(k_{\perp}, s)$:

$$P = \frac{\hbar\pi}{l^3} \sum_s s^2 \int_{c\pi s/l}^{\infty} n(\omega) R(\omega) d\omega. \quad (14)$$

Ограничимся случаем низких температур, когда для существенных в задаче частот можно рассматривать только нулевые колебания: $n = 1/2$. Уловить отличие интеграла

$$P_0 = \frac{\hbar\pi}{2l^3} \int_0^{\infty} ds s^2 \int_{c\pi s/l}^{\infty} R(\omega) d\omega \quad (15)$$

от суммы ряда (14) позволяет формула Эйлера – Маклорена:

$$\int_0^\infty f(s)ds = \frac{1}{2}f(0) + \sum_{s=1}^{\infty} f(s) + \frac{1}{12}f'(0) - \frac{1}{720}f^{(3)}(0) + \frac{1}{5040}f^{(5)}(0) - \dots$$

Отлично от нуля только слагаемое с третьей производной, так что

$$\Delta P = \frac{\pi^2}{240} \frac{\hbar c}{l^4}. \quad (16)$$

Именно эту величину и измеряли экспериментально. Условие применимости приведенного расчета ($T \ll \hbar\omega_s$) сводится к соотношению $T \ll \hbar c/l$.

В одном из недавних экспериментов была достигнута точность около 5%. Измерения проводились при $l \sim 1$ мкм. Одним из главных источников ошибок была трудность параллельной установки поверхностей проводников. Эту трудность обошли, придав одной из поверхностей сферическую форму. Учитывая, что радиус кривизны велик, $R \gg l$, можем принять, что измеряемая сила вблизи каждой точки поверхности пропорциональна $(l + z)^{-4}$, где $z = \rho^2/2R$, ρ – расстояние вдоль плоскости от точки наибольшего сближения со сферой. Сила притяжения получится заменой в (16) величины l^{-4} на

$$\int_0^\infty \frac{2\pi\rho d\rho}{(l + \rho^2/2R)^4} = \frac{2\pi R}{l^3}.$$

Расчет силы притяжения между полупространствами, заполненными диэлектриками с заданными значениями диэлектрической проницаемости, $\varepsilon(\omega)$, при известной температуре можно найти в книгах [4, 5]. Естественно, это расчет заметно более сложный.

8. Неидеальные газы

8.1. Вириальный коэффициент

Учет взаимодействия молекул существенно различен для случая короткодействующих сил (для нейтральных молекул потенциал взаимодействия очень быстро падает с расстоянием между ними) и для дальнодействующих (для заряженных частиц). Мы начинаем с короткодействующих.

Взаимодействие молекул удобно представлять в виде потенциала $u(\mathbf{r}_i - \mathbf{r}_j)$ (тем самым мы не учитываем взаимодействия одновременно трех молекул, химическое насыщение...). Будем вычислять статистическую сумму, а затем — свободную энергию: $F = -T \ln Z$, $Z = \sum e^{-\frac{E}{kT}}$. Для идеального газа $Z_{\text{ид}} = z^N / N!$, где

$$z = \frac{V}{(2\pi\hbar)^3} \int e^{-\frac{p^2}{2mT}} d^3 p.$$

Взаимодействие приводит к тому, что интегрирование по объему не будет тривиальным. Мы можем представлять потенциал взаимодействия в виде

$$U(\mathbf{r}_1, \mathbf{r}_2, \dots, \mathbf{r}_N) = \sum_{i < j} u(\mathbf{r}_i - \mathbf{r}_j).$$

Общее число слагаемых $C_N^2 = N(N-1)/2$. Запишем статсумму

$$Z = Z_{\text{ид}} \cdot \frac{1}{V^N} \int dV_1 dV_2 \dots dV_N e^{-\frac{U}{kT}}.$$

Такой $3N$ -мерный интеграл не удается вычислить точно для сколько-нибудь реалистических потенциалов u .

Для того чтобы представить наглядную картину, удобно для начала представлять себе молекулы шариками. Пусть v — объем одной молекулы. (А вообще-то, это объем, на который распространяются силы взаимодействия с данной молекулой.) Потребуем выполнения следующего условия: $Nv \ll V$. Это предположение дает нам возможность не учитывать тройные столкновения: при вычислении нашего $3N$ -мерного интеграла мы выбрасываем тот относительно малый вклад, когда сближаются сразу три молекулы. Кроме того, мы не учитываем, что молекула не может вплотную подойти к стенке сосуда. Итак, вычисляем:

$$Z = Z_{\text{ид}} \cdot \frac{1}{V^N} \int dV_N \dots \int dV_2 e^{-\frac{1}{kT} \sum_{j=3}^N u(\mathbf{r}_2 - \mathbf{r}_j)} \cdot \int dV_1 e^{-\frac{1}{kT} \sum_{j=2}^N u(\mathbf{r}_1 - \mathbf{r}_j)}.$$

Преобразуем последний интеграл

$$\int dV_1 e^{-\frac{1}{kT} \sum_{j=2}^N u(\mathbf{r}_1 - \mathbf{r}_j)} = \int dV_1 [1 + (e^{-\frac{1}{kT} \sum_{j=2}^N u(\mathbf{r}_1 - \mathbf{r}_j)} - 1)].$$

Если первая частица не сблизилась ни с одной из остальных, то слагаемое типа $(e^{-\sum_j u(\mathbf{r}_1 - \mathbf{r}_j)/kT} - 1)$ обратится в нуль и вклад даст только 1

в квадратных скобках; в тех же случаях, когда первая частица попала в область действия сил со стороны какой-то из остальных, в сумме по j отлично от нуля одно из слагаемых, причем вклады от сближения с любой из частиц одинаковы, а всего таких вкладов $N - 1$.

$$\int dV_1 [1 + (N - 1)(e^{-u(\mathbf{r}_1 - \mathbf{r}_j)/T} - 1)] = V[1 - (N - 1)2B],$$

где обозначено

$$B = \frac{1}{2} \int \left(1 - e^{-u(\mathbf{r}_1 - \mathbf{r}_2)/T}\right) dV_1 \sim \frac{8v}{2}.$$

При вычислении интеграла по dV_2 не нужно учитывать более конфигурации, в которых вторая частица сближалась с первой, — такие конфигурации были уже учтены при вычислении первого интеграла (сумма в показателе начинается с $j = 3$). При вычислении последующих интегралов количество учитываемых сближений частиц все уменьшается. Таким образом, получим¹

$$Z = Z_{\text{ид}} \left(1 - \frac{2B}{V}\right) \left(1 - \frac{2B}{V}2\right) \left(1 - \frac{2B}{V}3\right) \dots \left(1 - \frac{2B}{V}(N - 1)\right).$$

Свободная энергия

$$\begin{aligned} F &= F_{\text{ид}} - T \sum_{j=1}^{N-1} \ln \left(1 - \frac{2B}{V} j\right) \approx F_{\text{ид}} + T \sum_{j=1}^{N-1} \left(\frac{2B}{V} j\right) = \\ &= F_{\text{ид}} + TN(N - 1) \frac{B}{V} \approx F_{\text{ид}} + \frac{TN^2 B}{V}. \end{aligned}$$

Мы нашли первую поправку к статистической сумме и остановимся на этом. Существует способ последовательно получать и следующие поправки по малому параметру Nv/V , учитывая тем самым тройные, четверные и другие многочастичные столкновения (см. например, [2, 7]).

¹Подчеркнем во избежание недоразумений, что при вычислении интегралов по dV_2 , dV_3 и т.д. мы не учитывали конфигураций, при которых сближается одновременно три или более молекул; тем самым в каждом из сомножителей, близких к единице, мы не учитывали поправок порядка $(B/V)^2$.

Если бы мы в рамках дальнейших вычислений открыли скобки, то могли бы быть уверены только в линейных по B/V слагаемых, а их было бы заведомо недостаточно для вычисления произведения. Принятый же способ расчета, сводящийся к сложению логарифмов сомножителей, позволяет обойти эту трудность.

Давление

$$P = -\frac{\partial F}{\partial V} = P_{\text{ид}} + \frac{BTN^2}{V^2} = \frac{NT}{V} \left(1 + \frac{BN}{V} \right).$$

Найти зависимость $B(T)$, зная $u(r)$, не очень сложно, но мы рассмотрим совсем простой вариант расчета.

Введем характерный размер $2r_0$, расстояние между атомами, при котором $u(r) = 0$. Тогда B можно записать в виде

$$B = \frac{1}{2} \int_0^\infty (1 - e^{-\frac{u(r)}{T}}) 4\pi r^2 dr = \int_0^{2r_0} + \int_{2r_0}^\infty.$$

Введем обозначение

$$b = \frac{1}{2} \cdot \frac{4}{3} \pi (2r_0)^3 = 4 \cdot \frac{4}{3} \pi r_0^3,$$

которое используем для оценки первого интеграла (при $r < r_0$ потенциал $u(R)$ очень быстро возрастает и экспонентой можно пренебречь). Для расчета второго интеграла будем считать, что при $r > 2r_0$, $u \ll T$. Разлагая экспоненту, получаем

$$\frac{4\pi}{2T} \int_{2r_0}^\infty ur^2 dr = -\frac{a}{T}.$$

Таким образом, $B(T) = b - a/T$. При других видах потенциала отличие зависимости $B(T)$ не очень велико.

Подставляем $B(T)$ в выражение для свободной энергии:

$$F = F_{\text{ид}} + \frac{N^2 BT}{V} = F_{\text{ид}} + \frac{N^2 Tb}{V} - \frac{N^2 a}{V}.$$

Давление

$$P = -\frac{\partial F}{\partial V} = P_{\text{ид}} + \frac{N^2 Tb}{V^2} - \frac{N^2 a}{V^2} = \frac{NT}{V} \left(1 + \frac{bN}{V} \right) - \frac{N^2 a}{V^2}; \quad (1)$$

здесь $N^2 Tb/V^2$ — увеличение давления за счет эффективного уменьшения объема, $N^2 a/V^2$ — уменьшение давления за счет притяжения.

Часто уравнение состояния плотного газа находят удобным представлять в виде

$$P = T \sum_l B_l(T) \left(\frac{N}{V} \right)^l, \quad (l = 1, 2, \dots), \quad B_1 = 1; \quad B_2 = B(T); \dots$$

Функции $B_l(T)$ называют *вироальными коэффициентами*. Мы вычисляли второй вироальный коэффициент.

8.2. Газ Ван-дер-Ваальса. Фазовый переход

Взаимодействие молекул газа ведет с ростом его концентрации и уменьшением температуры к качественно новому явлению — фазовому переходу. Было предпринято много попыток получить этот результат с помощью более точного учета взаимодействия, есть много частичных успехов, несомненного результата нет. Однако сейчас едва ли можно сомневаться, что дело здесь в вычислительных трудностях, а не в принципиальных. Иначе говоря, «научная общественность» верит, что если бы удалось сосчитать статистическую сумму точно, то переход к жидкому состоянию был бы обнаружен. Для такой уверенности есть основания, касаться которых мы не будем.

Гораздо более «дешевый» (зато успешный) способ получить описание неидеального газа, включающее и сжижение, был предложен Ван-дер-Ваальсом. Если сделать в уравнении (1) замену $(1+bN/V) \rightarrow 1/(1-bN/V)$, то получим уравнение Ван-дер-Ваальса. Такую замену можно сделать, если $bN/V \ll 1$. Однако уравнение Ван-дер-Ваальса можно распространить и на большие плотности — на том основании, что оно дает очень резкий рост давления при $V \rightarrow bN$, получается вещество, вообще не сжимаемое более, чем до объема bN . Это справедливо для жидкости (в сравнении с газом, разумеется).

Подправим выражение для свободной энергии, заменив в ней второе слагаемое N^2bT/V на $-NT \ln(1-bN/V)$, после чего автоматически появляется уравнение Ван-дер-Ваальса

$$F = F_{\text{ид}} - NT \ln \left(1 - b \frac{N}{V} \right) - \frac{N^2 a}{V};$$

$$P = \frac{NT}{V - Nb} - \frac{N^2 a}{V^2}.$$

Запишем выражение для энтропии

$$S = -\frac{\partial F}{\partial T} = S_{\text{ид}} + N \ln \left(1 - b \frac{N}{V} \right).$$

Энергия

$$E = F + TS = \frac{3}{2}NT - \frac{N^2a}{V},$$

теплоемкость

$$C_V = T \left(\frac{\partial S}{\partial T} \right)_V = C_{V\text{ид.}}$$

Рассмотрим изотерму газа Ван-дер-Ваальса. Есть участок изотермы, где $(\frac{\partial P}{\partial V})_T > 0$, чего реально быть не может. Если в таком веществе появляется флуктуация — вещество в какой-то части объема расширилось, — то давление в этой части объема при таком условии должно возрасти. А другая часть объема, наоборот, уменьшается, и давление в ней падает. В итоге флуктуация не убывает, а неограниченно растет — происходит расслоение на фазы. А для каждой из фаз будет в итоге выполняться условие $(\frac{\partial P}{\partial V})_T < 0$.

Если уменьшать объем, занимаемый веществом, то при определенной величине объема происходит фазовый переход — расслоение на две фазы (пар и жидкость). При этом условия равновесия таковы: $P_{\text{п}} = P_{\text{ж}}$, $\mu_{\text{п}} = \mu_{\text{ж}}$.

Равенство $\mu_{\text{п}}(P, T) = \mu_{\text{ж}}(P, T)$ позволяет найти зависимость температуры фазового перехода¹ от давления. На PT -диаграмме получается кривая равновесия фаз $P(T)$. На PV -диаграмме (рис. 13) получается участок изотермы $P = \text{const}$, при перемещении по которому изменяются количества частиц в фазах. Эти количества определяются уравнениями

$$N_{\text{п}} + N_{\text{ж}} = N,$$

$$N_{\text{п}}v_{\text{п}} + N_{\text{ж}}v_{\text{ж}} = N,$$

где $v_{\text{п}}(P, T)$ и $v_{\text{ж}}(P, T)$ — объемы пара и жидкости в расчете на одну частицу; изменения объем, мы движемся вдоль прямой, пока не «кончатся» пар или жидкость.

Равенство химических потенциалов наглядно представляется правилом Максвелла, состоящем в том, что площади между истинной изотермой и кривой Ван-дер-Ваальса на PV -диаграмме должны быть одинаковы. Для доказательства надо подсчитать $\oint VdP$ по замкнутому пути, образованному истинной изотермой (прямой) и кривой. Этот интеграл как раз равен интересующей нас разности площадей. С другой стороны, фактически только и будет вклад от интегрирования вдоль кривой

¹ То есть зависимость температуры кипения от давления. Мы уверены, что процесс кипения нам знаком.

Ван-дер-Ваальса; согласно равенству $d\Phi = -SdT + VdP$ получается $\Phi_{\text{п}} - \Phi_{\text{ж}}$, что равно нулю, так как на границах участка интегрирования $\Phi_{\text{п}} = N\mu_{\text{п}}$, $\Phi_{\text{ж}} = N\mu_{\text{ж}}$, $\mu_{\text{п}} = \mu_{\text{ж}}$.

Подчеркнем, что до сих пор шла речь о короткодействующих силах. Именно поэтому справедлив учет только парных взаимодействий. Добавочная энергия этого взаимодействия в расчете на одну частицу

$$\frac{E - E_{\text{ид}}}{N} = -\frac{Na}{V}$$

пропорциональна числу столкновений частицы, а потому — концентрации.

8.3. Учет взаимодействия в плазме

Картина получается иной, если рассматривать дальнодействующее взаимодействие (кулоновское). Итак, рассмотрим бульмановскую плазму. Чтобы избежать лишних осложнений, будем рассматривать полностью ионизированную водородную плазму. (Задача была решена первоначально Дебаем и Хюккелем для раствора электролита.) Потенциальная энергия взаимодействия пары частиц $u = \mp e^2/r$. Нужно учитывать взаимодействие каждой частицы со многими другими.

Распределение частиц в пространстве и при учете взаимодействия остается однородным, поэтому электрическое поле в любой точке в среднем равно нулю. Взаимодействие частиц влияет на их взаимное расположение: частицы с зарядами разных знаков оказываются чаще всего ближе друг к другу, а частицы с зарядами одного знака — дальше. Мы будем рассматривать функцию распределения *относительно положения одной из частиц*. Можно представлять себе, что сделанные в разные моменты времени «снимки» мы смещаем таким образом, чтобы избранная нами частица каждый раз оказывалась в начале координат¹. Тогда вокруг начала координат будет отличное от нуля электрическое поле. Прежде всего, это кулоновское поле самой избранной частицы. Но к тому же распределение частиц относительно выбранной за «центр» оказывается в среднем неоднородно, поэтому возникает некоторое среднее (в указанном смысле) электрическое поле, создаваемое всеми частицами.

Будем считать, что каждая частица находится в этом среднем поле всех других, чем и определяется для нее вероятность находиться на

¹Со сходным приемом (но для пространства скоростей) мы уже встречались: решая задачу 2 к разделу 2.1, мы должны были вводить функцию распределения по скоростям относительного движения.

том или ином расстоянии от центра. Такой подход, когда функция распределения частиц и поле, созданное этим распределением, находятся совместно, называется самосогласованным.

Сначала проведем оценку энергии взаимодействия. Рассмотрим случай, когда энергия взаимодействия невелика, $T \gg e^2/a$, a — характерное расстояние между ближайшими частицами, $Na^3 = V$. Выберем за центр для определенности протон. Выберем сферу вокруг протона, внутри которой суммарный заряд всех прочих частиц равен $-e$, т. е. как раз компенсирует заряд центрального протона. Радиус такой сферы r называется радиусом экранирования. Оценим его:

$$r^3(n_0 e^{e^2/rT} - n_0 e^{-e^2/rT}) \sim 1;$$

здесь r^3 — оценка объема сферы, n_0 — средняя концентрация частиц (протонов или электронов). Учитывая малость взаимодействия, разлагаем экспоненты $2n_0 r^3 (e^2/rT) \sim 1$, откуда

$$r \sim \sqrt{\frac{T}{n_0 e^2}}.$$

Для сравнения радиуса экранирования с расстоянием между частицами найдем

$$\frac{a^2}{r^2} \sim \frac{1}{n^{2/3}} \cdot \frac{ne^2}{T} \sim \frac{e^2}{aT} \ll 1,$$

так что в экранировании каждого заряда участвует много частиц.

Величина радиуса экранирования в растворе электролита порядка $10^{-3} \div 10^{-4}$ см, а в ионосфере она достигает нескольких километров.

Имея такую качественную картину экранирования, можем легко найти добавочную энергию, приходящуюся на один протон:

$$\delta U \sim \frac{1}{2} \cdot \underbrace{r^3(n_{\text{протонов}} - n_{\text{электронов}})}_{-1} \frac{e^2}{r} \sim -\frac{e^2}{r} \sim -\frac{N^{1/2}|e|^3}{V^{1/2}T^{1/2}}.$$

Оценка энергии N частиц

$$U \sim -N \frac{e^2}{r} \sim -\frac{N^{3/2}|e|^3}{V^{1/2}T^{1/2}} = -\frac{A}{\sqrt{VT}}.$$

Найдем добавку к теплоемкости (заранее ясно, что добавка положительна):

$$C_V = C_{V \text{ ид}} + \delta C_V, \quad \delta C_V = \left(\frac{\partial U}{\partial T} \right)_V = \frac{A}{2V^{1/2}T^{3/2}}.$$

Найдем добавку к давлению. Очевидно, преобладающее притяжение частиц друг к другу приводит к уменьшению давления. Путь расчета такой: $\delta C_V \rightarrow \delta S \rightarrow \delta F \rightarrow \delta P$. Расчет энтропии:

$$S = S_{\text{ид}} + \delta S, \quad \delta S = \int_{\infty}^T \frac{C_V}{T} dT = -\frac{A}{3V^{1/2}T^{3/2}},$$

пределы определяются тем соображением, что при высокой температуре эффект экранировки пропадает. Энтропия уменьшилась, т. к. возник некоторый «порядок» — корреляция в расположении частиц.

$$F = F_{\text{ид}} + \delta F, \quad \delta F = U - T\delta S = -\frac{2}{3} \cdot \frac{A}{V^{1/2}T^{1/2}}.$$

$$P = P_{\text{ид}} + \delta P, \quad \delta P = -\left(\frac{\partial \delta F}{\partial V}\right)_T = -\frac{A}{3V^{3/2}T^{1/2}}.$$

Теперь проведем расчет более аккуратно¹. Запишем уравнение Пуасона:

$$\Delta\varphi = -4\pi e \sum_i z_i n_i. \quad (2)$$

(Здесь заряд частицы j -го сорта обозначен $z_j e$.) Это уравнение определяет поле вокруг одной частицы. Концентрация:

$$n_i = n_{i0} e^{-\frac{z_i e \varphi}{T}} \approx n_{i0} \left(1 - \frac{z_i e \varphi}{T}\right). \quad (3)$$

Условие электронейтральности:

$$\sum_i n_{i0} z_i = 0.$$

Подставляем (3) в уравнение (2):

$$\Delta\varphi = \frac{4\pi e^2}{T} \sum_i z_i^2 n_{i0} \varphi = \kappa^2 \varphi.$$

¹Мы получим множитель A . Без формального вывода принят тот факт, что в расчете участвует функция распределения по координатам относительно одной из частиц. Такой вывод (предложенный Н.Н.Боголюбовым) можно найти в [1, §79].

Решение, убывающее при $r \rightarrow \infty$,

$$\varphi = \frac{C}{r} e^{-\kappa r}.$$

При малых r коэффициент C определяется самой центральной частицей: $C = z_j e$.

Разложим потенциал

$$\varphi = \frac{z_j e}{r} - z_j e \kappa + \dots$$

Тогда добавочная энергия взаимодействия

$$U = \frac{1}{2} \sum_j z_j e \left(\varphi - \frac{z_j e}{r} \right)_{r \rightarrow 0} \cdot n_{j0} = -\frac{\kappa}{2} \sum_j z_j^2 e^2 n_{j0},$$

$$U = -\frac{\kappa}{2} \sum_j z_j^2 e^2 n_{j0},$$

а так как $\kappa \propto (VT)^{-1/2}$, то можно получить точное выражение для введенного выше коэффициента A , а следовательно, и для остальных термодинамических функций. Величина $r_D = \kappa^{-1}$ называется в физике плазмы дебаевским радиусом. (Это и есть радиус экранирования.)

Рассмотрим добавку к давлению на PV -диаграмме. Загиб вниз кривой при $V \rightarrow 0$ дает намек на возможность расслоения плазмы на фазы (образование капель, что и было найдено в экспериментах с электронно-дырочной плазмой полупроводников), хотя сам расчет в этой области концентраций неверен (так как поправка не мала).

Подобный же подход к определению корреляций в расположениях частиц, вызванных их взаимодействием, применим и к вырожденному электронному газу. Нужно лишь подставить $\delta n = -(\partial n / \partial \mu) z_i e \varphi$ вместо δn в (3). Однако для полностью вырожденного слабо неидеального электронного газа гораздо больший эффект дает корреляция, обусловленная тождественностью частиц. В случае, когда направления спинов электронов совпадают, принцип Паули не позволяет им находиться в одной и той же точке пространства. Такая (отрицательная) корреляция распространяется на расстояния порядка характерной длины волны.

Поясним это несколько подробнее. Если два электрона с одинаковыми проекциями спина на одну ось находятся в состояниях с определенными значениями импульсов $\hbar \mathbf{k}_1$ и $\hbar \mathbf{k}_2$, то волновая функция их при замене $\mathbf{r}_1 \leftrightarrow \mathbf{r}_2$ должна изменять знак:

$$\Psi(\mathbf{r}_1, \mathbf{r}_2) \propto e^{i\mathbf{k}_1 \mathbf{r}_1 + i\mathbf{k}_2 \mathbf{r}_2} - e^{i\mathbf{k}_2 \mathbf{r}_1 + i\mathbf{k}_1 \mathbf{r}_2}.$$

Вероятность того, что один электрон находится в малом объеме dV_1 вблизи точки \mathbf{r}_1 , а другой — в малом объеме dV_2 вблизи точки \mathbf{r}_2 , равна

$$dW \propto |\Psi(\mathbf{r}_1, \mathbf{r}_2)|^2 dV_1 dV_2 \propto [1 - \cos((\mathbf{k}_1 - \mathbf{k}_2)(\mathbf{r}_1 - \mathbf{r}_2))] dV_1 dV_2.$$

Она обращается в нуль при $\mathbf{r}_1 = \mathbf{r}_2$ и осциллирует в пространстве с периодом $2\pi/|\mathbf{k}_1 - \mathbf{k}_2| \sim \lambda_{\text{хар}}$ в направлении $\mathbf{k}_1 - \mathbf{k}_2$. Речь должна идти о корреляциях в расположении каждого электрона и всех остальных. Поэтому необходимо провести усреднение по различным значениям и направлениям \mathbf{k}_1 и \mathbf{k}_2 , и это приводит к сглаживанию осцилляций при $|\mathbf{r}_1 - \mathbf{r}_2| \gtrsim \lambda_{\text{хар}}$, в результате чего корреляция координат электронов при таких расстояниях между ними исчезает. Но минимум dW при $|\mathbf{r}_1 - \mathbf{r}_2| \lesssim \lambda_{\text{хар}}$ при таком усреднении сохраняется. Если же направления спинов противоположны, то эффект от принципа Паули отсутствует.

Для электрона $\lambda_{\text{хар}} \sim n^{-1/3}$. В итоге энергия каждого электрона убывает на величину порядка $e^2/\lambda_{\text{хар}}$. Поправка к энергии газа¹ $\delta E_{\text{обм}} \sim -Ne^2n^{1/3}$.

Задача.

Оценить поправку к энергии, обусловленную корреляцией, вызванной кулоновским взаимодействием, для полностью вырожденной электронной плазмы.

8.4. Пространственная дисперсия диэлектрической проницаемости плазмы (в электростатических задачах)

Если в плазму поместить заряд, то частицы плазмы экранируют его. Это явление рассмотрим, применяя метод самосогласованного поля. Пусть плотность внесенного заряда равна $\rho(r)$. Электрический потенциал определяется уравнением Пуассона

$$\Delta\varphi = -4\pi(e \sum_i z_i n_i + \rho),$$

которое преобразуется, как это было сделано в предыдущем разделе, к виду

$$\Delta\varphi - \kappa^2\varphi = -4\pi\rho.$$

¹Поправка к энергии, обусловленная корреляцией координат частиц вследствие их тождественности, называется обменной.

Удобно перейти к компонентам Фурье

$$\varphi(\mathbf{r}) = \int \varphi_{\mathbf{k}} e^{i\mathbf{kr}} d^3 k / (2\pi)^3, \quad \rho(\mathbf{r}) = \int \rho_{\mathbf{k}} e^{i\mathbf{kr}} d^3 k / (2\pi)^3$$

$$-k^2 \varphi_{\mathbf{k}} - \varkappa^2 \varphi_{\mathbf{k}} = -4\pi \rho_{\mathbf{k}}$$

и ввести диэлектрическую проницаемость

$$\varepsilon(\mathbf{k}) = 1 + \varkappa^2/k^2, \quad (4)$$

так что уравнение принимает вид

$$k^2 \varepsilon(\mathbf{k}) \varphi_{\mathbf{k}} = 4\pi \rho_{\mathbf{k}}.$$

В компонентах Фурье связь напряженности электрического поля $\mathbf{E}_{\mathbf{k}} = i\mathbf{k}\varphi_{\mathbf{k}}$ и электрического смещения $\mathbf{D}_{\mathbf{k}}$ сводится к соотношению $\mathbf{D}_{\mathbf{k}} = \varepsilon(\mathbf{k})\mathbf{E}_{\mathbf{k}}$. Для $\mathbf{D}(\mathbf{r})$ и $\mathbf{E}(\mathbf{r})$ связь оказывается нелокальной:

$$\mathbf{D}(\mathbf{r}) = \mathbf{E}(\mathbf{r}) + \int f(\mathbf{r}, \mathbf{r}') \mathbf{E}(\mathbf{r}') dV'.$$

Задачи.

- Найти ядро интегральной связи \mathbf{D} и \mathbf{E} в плазме.

Ответ. $f(\mathbf{r} - \mathbf{r}') \propto |\mathbf{r} - \mathbf{r}'|^{-1}$.

- Найти емкость плоского конденсатора, заполненного электролитом в качестве диэлектрика.

9. Фазовые переходы

9.1. Фазовые переходы первого рода

На рис. 13 изображена изотерма газа Ван-дер-Ваальса.

Участок 1 – 2 — жидкость, 2 – 3 — перегретая жидкость, 6 – 7 — пар, 5 – 6 — переохлажденный пар, 3 – 4 – 5 — неустойчивое состояние, 2 – 4 – 6 — жидкость+пар.

Пар на дуге 5 – 6 является метастабильным, образование жидкой фазы затруднено, так как для образования капли необходима поверхностная энергия (сейчас мы ее не учитываем).

Подобным же образом затруднено образование пара в перегретой жидкости.

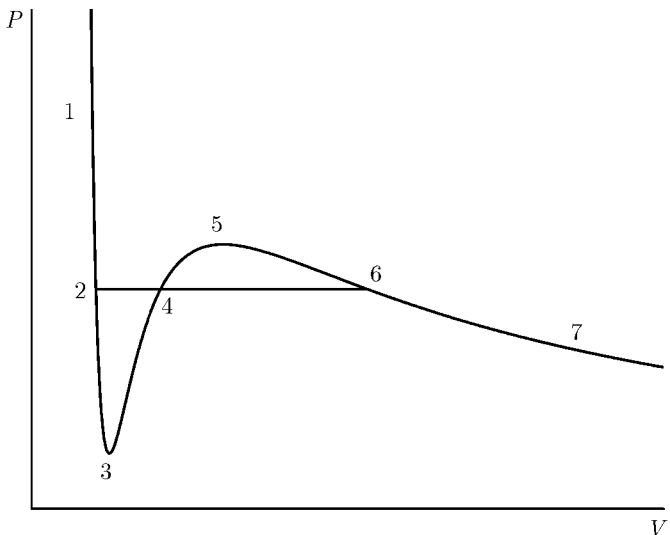


Рис. 13. Изотерма газа Ван-дер-Ваальса. Температура ниже критической.

Условия равновесия: $P = P_{\text{ж}} = P_{\text{п}}$;

$$\mu_{\text{п}}(P, T) = \mu_{\text{ж}}(P, T). \quad (1)$$

Уравнение (1), определяющее связь температуры фазового перехода с давлением, как мы увидим, удобнее использовать, представив его в дифференциальной форме. Продифференцируем равенство $\Delta\mu \equiv \mu_{\text{п}}(P, T) - \mu_{\text{ж}}(P, T) = 0$ вдоль кривой равновесия¹

$$\frac{d\Delta\mu}{dT} = \frac{\partial\Delta\mu}{\partial T} + \frac{\partial\Delta\mu}{\partial P} \cdot \frac{dP}{dT} = -\Delta s + \Delta v \frac{dP}{dT} = 0,$$

откуда

$$\frac{dP}{dT} = \frac{\Delta s}{\Delta v}. \quad (2)$$

Теплота, подводимая при переходе жидкость \rightarrow пар, в расчете на одну частицу

$$q = T\Delta s = T(s_{\text{п}} - s_{\text{ж}}) \quad (3)$$

¹Использовано соотношение $d\mu = -sdT + vdP$, где s и v — энтропия и объем, приходящиеся на одну частицу.

называется скрытой теплотой парообразования¹. Она равна изменению энталпии при фазовом переходе при постоянном давлении (не энергии!):

$$q = \Delta w = w_{\text{п}} - w_{\text{ж}}.$$

Подставив (3) в (2), получим уравнение Клапейрона – Клаузиуса:

$$\frac{dP}{dT} = \frac{\Delta s}{\Delta v} = \frac{q}{T(v_{\text{п}} - v_{\text{ж}})}.$$

Кривая $P(T)$ заканчивается в точке, где жидкость перестает отличаться от пара (Д. И. Менделеев, 1860), называемой критической точкой.

Обходя эту точку (на PT диаграмме), можно перейти от воды к пару и обратно без расслоения вещества на фазы. Поведение вещества в районе критической точки эквивалентно фазовому переходу второго рода (в этой точке обращаются в ноль скачки удельных объема и энтропии).

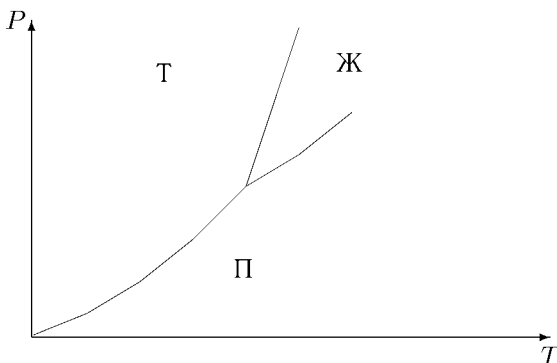


Рис. 14. Типичные кривые сосуществования фаз.

При наличии нескольких фаз на PT диаграмме получается иная картина и существует тройная точка, характеризующаяся равенством химических потенциалов:

$$\mu_{\text{п}}(P, T) = \mu_{\text{ж}}(P, T) = \mu_{\text{т}}(P, T).$$

Это два уравнения, определяющие давление и температуру.

¹ В таблицах чаще приводят теплоту в расчете на единицу массы (*удельную*) или – в расчете на моль (*молярную*).

Количества частиц в каждой из фаз определяются уравнениями

$$\begin{aligned} N_{\text{п}} + N_{\text{ж}} + N_{\text{т}} &= N, \\ N_{\text{п}}v_{\text{п}} + N_{\text{ж}}v_{\text{ж}} + N_{\text{т}}v_{\text{т}} &= V, \\ N_{\text{п}}\varepsilon_{\text{п}} + N_{\text{ж}}\varepsilon_{\text{ж}} + N_{\text{т}}\varepsilon_{\text{т}} &= E, \end{aligned}$$

где $v_{\text{п}}(P, T)$, $v_{\text{ж}}(P, T)$, $v_{\text{т}}(P, T)$ — объемы пара, жидкости и твердого вещества в расчете на одну частицу, а $\varepsilon_{\text{п}}(P, T)$, $\varepsilon_{\text{ж}}(P, T)$ и $\varepsilon_{\text{т}}(P, T)$ — энергии частицы в каждой из фаз. Изменение полного объема V и энергии E приводит к изменению чисел частиц в каждой из фаз, но пока выписанная система уравнений имеет решение с положительными $N_{\text{п}}$, $N_{\text{ж}}$ и $N_{\text{т}}$, температура и давление остаются неизменны. От тройной точки непросто отойти при подводе тепла, поэтому тройные точки используются как эталоны температуры.

Задачи.

- На сколько сместится тройная точка воды ($P_0 = 4.62 \text{ мм} Hg$, $T_0 = 273,15 K$) из-за наличия в сосуде воздуха под давлением 1 атм.?
- Найти зависимость скрытой теплоты фазового перехода от температуры dq/dT . Рассмотреть случаи испарения (например, воды при $T \sim 100^{\circ}C$) и плавления льда.
- Найти зависимость температуры плавления льда от давления на лед при условиях, когда давление образующейся при этом воды оказывается равно атмосферному.
- Имеется насыщенный водяной пар. Его объем адиабатически уменьшают. Станет ли при этом пар пересыщенным?
- Найти радиус кривизны капли воды, находящейся в равновесии с пересыщенным паром, и исследовать устойчивость такого равновесия.

9.2. Фазовые переходы второго рода

Фазовые переходы второго рода связаны с изменением свойств внутренней симметрии вещества. Примеры — переход в ферромагнитное состояние, в антиферромагнитное, в сверхпроводящее состояние, для гелия — в сверхтекучее; многие переходы между кристаллическими модификациями. При фазовом переходе второго рода нет теплоты перехода,

нет скачка объема, но есть скачки теплоемкости, коэффициента сжимаемости и т.п.

9.2.1. Теория Вейсса

Вейсс построил феноменологическую теорию ферромагнетизма, основанную на простом и естественном предположении. Она хорошо согласовалась с экспериментальными данными, но кое-что в ее основании оказалось понапачалу совершенно непонятным.

Магнит состоит из каких-то элементарных магнитиков, которые заставляют друг друга ориентироваться одинаково. Энергия в постоянном магнитном поле $-\mu\mathcal{H}$. Намагченность (магнитный момент единицы объема)

$$M = \frac{N}{V} \mu \frac{e^{\mu\mathcal{H}/T} - e^{-\mu\mathcal{H}/T}}{e^{\mu\mathcal{H}/T} + e^{-\mu\mathcal{H}/T}} = \frac{N}{V} \mu \operatorname{th} \frac{\mu\mathcal{H}}{T}$$

(мы полагаем, что элементарные моменты — это спины и они ориентированы либо по полю, либо против поля; это справедливо для спина электронов. Вейсс не мог знать этого и предполагал, что моменты могут ориентироваться в пространстве произвольно, поэтому в его работе вместо известного нам выражения намагченности входило другое, называемое функцией Ланжевена: $\operatorname{th} y \rightarrow \operatorname{cth} y - 1/y$).

Вейсс предположил, что в веществе возникает *молекулярное поле*, пропорциональное намагченности, которое следует добавить к полю \mathcal{H} , — имеющаяся уже намагченность оказывает влияние на себя:

$$M = \frac{N}{V} \mu \operatorname{th} \frac{\mu(\mathcal{H} + \beta M)}{T}.$$

Можно ожидать, что величина $\beta \sim 4\pi$, если вспомнить, что намагченность дает вклад в среднее действующее на элементарный момент поле.

А теперь положим $\mathcal{H} = 0$. Получаем уравнение

$$M = \frac{N\mu}{V} \operatorname{th} \frac{\beta M \mu}{T}, \quad (4)$$

из которого можно найти M . Замечательно, что в итоге может получиться и не равное нулю M .

Для анализа уравнения удобно ввести переменную

$$y = \frac{\beta M \mu}{T}. \quad (5)$$

Обозначим также

$$T_k = \beta \mu^2 \frac{N}{V}. \quad (6)$$

Тогда уравнение (4) перепишется в виде

$$\frac{T}{T_k}y = \operatorname{th} y. \quad (7)$$

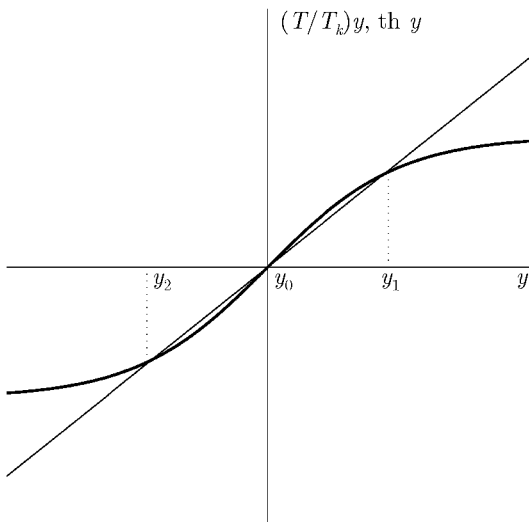


Рис. 15. К графическому решению уравнения (7) при $T < T_k$.

Его удобно анализировать графически (рис. 15). При $T > T_k$ есть только один корень $y = 0$, при $T < T_k$ появляются еще два, что и означает появление спонтанной намагниченности. При $T \sim T_k$ будет $y \ll 1$, так что можно заменить в (4) $\operatorname{th} y \rightarrow y - y^3/3$ и получить

$$y_0 = 0, \quad y_{1,2} = \pm \sqrt{3 \frac{T_k - T}{T_k}}.$$

Величина T_k оказалась температурой фазового перехода (температурой Кюри). Уравнения (5), (7) задают зависимость $M(T)$ в параметрическом виде, позволяющем сразу же изображать соответствующие графики. Несложно проанализировать решение и при $\mathcal{H} \neq 0$.

Результаты хорошо соответствуют экспериментальным. Однако величина β , которую можно получить из равенства (6), оказалась неожиданно большой, $\beta \sim 10^3 \div 10^4$.

Между тем, уравнение (6) допускает простое истолкование. Величина $\varepsilon = \mu^2 N/V \sim \mu^2/a^3 \sim a^2 \sim 10^{-4}$ ат. ед. определяет взаимодействие соседних магнитных диполей ($a = (V/N)^{1/3}$ — расстояние между ними). Естественно ожидать, что упорядочение разрушается при температурах, сравнимых с энергией взаимодействия. Большая величина β означает, что механизм взаимодействия моментов какой-то иной.

Разгадка была найдена независимо Френкелем и Гайзенбергом¹ и состоит в том, что за упорядочение спинов в ферромагнетике ответственна не энергия взаимодействия магнитных диполей, а электростатическая энергия: электроны, имеющие параллельные спины, в согласии с принципом Паули, движутся так, чтобы вероятность их сближения друг с другом была мала, поэтому мало их электростатическое взаимодействие. Возникает поправка к энергии их электростатического взаимодействия, называемая обменной, гораздо большая, чем магнитное взаимодействие². (Механизм знакомый, такой же, какой приводит к правилам Хунда в физике атомов. Он уже упоминался в связи с обменной энергией в вырожденной плазме.)

Мы совершенно не касаемся вопроса о существовании *доменов*, которые возникают потому, что в крупном, макроскопическом масштабе магнитное взаимодействие становится значительным. Энергетически выгодно, чтобы поля разных областей — доменов — замыкались. Поэтому разные куски намагничиваются в разных направлениях. Мы рассматривали намагничивание отдельного домена.

9.2.2. Модель Изинга

Рассмотрим микроскопическую модель, пригодную для исследования ферромагнетика. Эта модель, называемая моделью Изинга³, очень

¹Работа Я. И. Френкеля опубликована в марте 1928 года, а работа В. Гайзенberга — в мае (в том же журнале).

²Впрочем, главную роль здесь играет *косвенный обмен*. Электроны, ответственные за намагничение, находятся в d-состояниях, расположенных в глубине атомов, и потому для разных атомов их волновые функции слабо перекрываются друг с другом. Однако обменная корреляция возникает между внутренними электронами и наружными, например, ответственными за проводимость (обобществленными), и уже как следствие — между внутренними в соседних атомах. В итоге этих непростых взаимоотношений корреляционная энергия может в каких-то случаях иметь другой знак, в таком случае вещество оказывается *антиферромагнетиком*.

³Изинг первым решил соответствующую одномерную задачу.

просто формулируется. В каждом узле некоторой кристаллической решетки находится частица со спином $1/2$. Рассматривается поляризационное состояние всех частиц. Состояние одной частицы задается удвоенной проекцией ее спина на выбранную ось, $\sigma_i = \pm 1$. В модели может быть задано однородное магнитное поле, направленное вдоль той же оси \mathcal{H} .

Энергия спина i в магнитном поле равна $-\mu\mathcal{H}\sigma_i$.

Кроме того, спины взаимодействуют между собой. Примем, что если соседние спины направлены одинаково ($\uparrow\uparrow$ или $\downarrow\downarrow$), то энергия взаимодействия равна нулю, а если направлены противоположно, то¹ равна J .

Это до некоторой степени искусственная, рафинированная модель, тем не менее качественно соответствующая не только ферромагнетику, но и некоторым другим физическим объектам (существуют гораздо более детализированные модели и расчеты).

Задача состоит в том, чтобы найти термодинамические свойства такого магнетика. Вполне достаточно найти свободную энергию. А интереснейший вопрос — будет ли у такого магнетика происходить фазовый переход. Подразумевается, что число спинов N очень велико, скачок может быть только при $N \rightarrow \infty$.

То приближенное решение, которое мы приведем, не содержит доказательства существования фазового перехода, а наоборот, построено на предположении о его существовании. Оно оказывается не справедливо при температурах, очень близких к температуре перехода.

Проведем расчет при $\mathcal{H} = 0$. Обозначим N_\uparrow число частиц со спинами, направленными вверх, N_\downarrow — вниз. Мы будем учитывать взаимодействие только с ближайшими соседями, чтобы избежать излишней громоздкости. Пусть q — число ближайших соседей, $N = N_\uparrow + N_\downarrow$ — полное число частиц. $\mathcal{M} = (N_\uparrow - N_\downarrow)\mu$ — магнитный момент. Принимая, что состояние частично равновесное характеризуется одним параметром N_\uparrow , выразим свободную энергию $F = E - TS$, а затем найдем N_\uparrow из условия минимальности F .

Статистический вес состояния с фиксированным N_\uparrow

$$\Gamma = C_N^{N_\uparrow} = \frac{N!}{N_\uparrow! N_\downarrow!}$$

— это точное выражение. Энергию же придется считать приближенно.

¹Гамильтониан системы можно записать в виде

$$H = -\mu\mathcal{H} \sum_{i=1}^N \sigma_i + \frac{1}{4} J \sum_{i,i'} (1 - \sigma_i \sigma'_i),$$

где суммирование по i' распространяется на всех ближайших соседей i -го узла.

Учтем, что вклад в энергию дают только соседи со спинами, направленными в разные стороны. Рассмотрим спин, направленный вверх. У него q соседей, из них qN_\downarrow/N имеют спин, направленный вниз. Здесь мы взяли среднее число таких соседей и расчет стал приближенным. Энергия

$$U = qN_\uparrow \frac{N_\downarrow}{N} J.$$

Запишем свободную энергию, имея в виду, что она определяется одним параметром N_\uparrow :

$$F = \frac{qJ}{N} N_\uparrow (N - N_\uparrow) - T \ln \frac{N!}{N_\uparrow! (N - N_\uparrow)!}.$$

Условие минимума свободной энергии $\frac{\partial F}{\partial N_\uparrow} = 0$ дает

$$\frac{qJ}{N} (N - 2N_\uparrow) - T \ln \frac{N - N_\uparrow}{N_\uparrow} = 0;$$

отсюда получаем трансцендентное уравнение:

$$\frac{N_\downarrow}{N_\uparrow} = \exp \left(-\frac{qJ}{NT} \cdot \frac{\mathcal{M}}{\mu} \right).$$

Приведем уравнение к виду, удобному для анализа. Добавим и вычтем единицу и поделим одно уравнение на другое:

$$\frac{N}{N_\uparrow} = 1 + \exp \left(-\frac{qJ}{NT} \cdot \frac{\mathcal{M}}{\mu} \right); \quad \frac{N_\downarrow - N_\uparrow}{N_\uparrow} = \exp \left(-\frac{qJ}{NT} \cdot \frac{\mathcal{M}}{\mu} \right) - 1; \\ \frac{N_\uparrow - N_\downarrow}{N} = \operatorname{th} \frac{qJ\mathcal{M}}{2NT\mu}.$$

Введя

$$y = \frac{qJ}{2T} \cdot \frac{\mathcal{M}}{N\mu}, \quad T_k = \frac{qJ}{2},$$

получаем уравнение

$$\frac{T}{T_k} y = \operatorname{th} y.$$

Мы пришли к уравнению, которое уже встречалось нам в теории Вейсса. Оно описывает переход ферромагнетик — парамагнетик. Приближение, которое мы использовали, называют приближением молекулярного поля (оно же — приближение Брэгга — Вильямса).

Кстати, имея выражение для свободной энергии, легко убедиться, что при $T < T_k$ именно не равные нулю корни $y_{1,2}$ отвечают минимуму свободной энергии, а нулевой — максимуму (рис. 16).

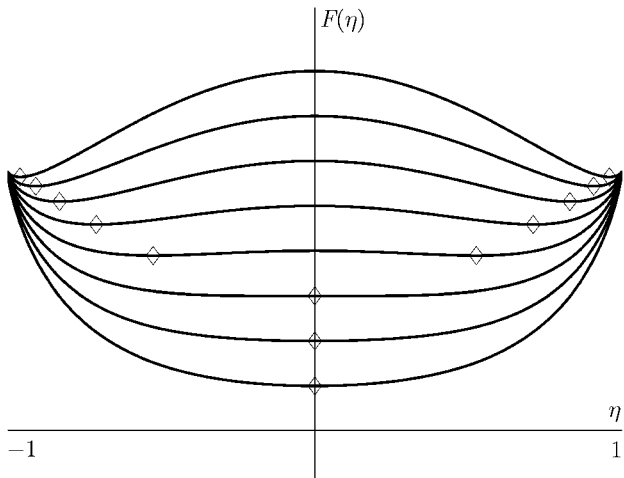


Рис. 16. Зависимость свободной энергии от параметра порядка $\eta = \mathcal{M}/(N\mu)$ при разных температурах. $T/T_k = 0,8; 0,85; 0,9; \dots 1,15$.

Имея в виду дальнейшее обобщение, введем для магнетика параметр $\eta = (N_\uparrow - N_\downarrow)/N$, называемый *параметром порядка*. $\eta = \pm 1$ соответствует порядку, $\eta = 0$ — беспорядку.

Разные возможные знаки y отвечают разным одинаково вероятным возможностям спонтанной намагниченности — «вверх» или «вниз».

Сосчитаем скачок теплоемкости

$$U = \frac{qJ}{N} N_\uparrow N_\downarrow; \quad N_{\uparrow,\downarrow} = \frac{N \pm \frac{\mathcal{M}}{\mu}}{2}.$$

Тогда

$$U = \frac{qJ}{4N} \left(N^2 - \frac{\mathcal{M}^2}{\mu^2} \right) = \frac{qJN}{4} - \frac{qJN^2}{4N} \cdot \frac{T}{T_k} y^2.$$

Вспомнив, что при $T > T_k$ $y = 0$, при $T < T_k$ $y^2 = 3(T_k - T)/T_k$, получаем¹

$$\Delta C = -\frac{3}{T_k} \cdot \frac{qJ}{4} N = -\frac{3}{2} N.$$

¹Несложно также представить график $C(T)$, используя зависимости T , \mathcal{M} и U от параметра y .

Наше приближенное решение ни в коем случае не означает доказательства, что модель Изинга приводит к фазовому переходу. Мы подразумевали, что спины расположены в кристаллической решетке. В этом случае переход есть.

Но все рассуждения годились бы и для цепочки спинов, просто в этом случае $q = 2$. Вариант задачи, когда спины выстроены в цепочку — одномерную задачу Изинга, — мы решим точно и убедимся, что фазового перехода не возникает.

Начнем со случая $\mathcal{H} = 0$. Сосредоточим свое внимание не на узлах цепочки, а на связях между узлами. Стартовав от первого звена, состояния всех остальных можно задавать, указывая, направлен спин туда же, куда предыдущий, или нет. Тогда каждой связи можно сопоставить энергию 0 или J . Статистическая сумма

$$Z = 2(1 + e^{-\frac{J}{T}})^{N-1},$$

и все результаты нам известны по двухуровневой системе¹. Разумеется, никаких скачков нет.

В случае $\mathcal{H} \neq 0$ также можем решить задачу до конца. Для некоторого упрощения расчета чуть изменим условие задачи. Будем считать, что цепочка замкнута в кольцо, т. е. включим также взаимодействие последнего спина с первым (без этого решение было бы немного более громоздким, но фактически дало бы тот же результат). Будем по-прежнему брать за основу энергию, соотнесенную со связью. Но теперь связь нужно характеризовать двумя параметрами — ориентациями спинов на обоих ее краях: σ_i и σ_{i+1} . Энергию $\pm \mu \mathcal{H}$ спина, находящегося на границе двух звеньев, будем относить наполовину к одному звену, наполовину — к другому.

Рассмотрим вклад одного звена в статсумму — это множитель, который мы обозначим $\Lambda_{\sigma_i, \sigma_{i+1}}$.

В зависимости от ориентаций спинов на краях звена получается таблица (матрица) Λ .

$\sigma_i \backslash \sigma_{i+1}$	1	-1
1	$e^{\mu \mathcal{H}/T}$	$e^{-J/T}$
-1	$e^{-J/T}$	$e^{-\mu \mathcal{H}/T}$

¹Множитель 2 отвечает двум возможным ориентациям первого спина и не играет заметной роли.

При вычислении статсуммы нужно учесть все возможности ориентации спинов:

$$\begin{aligned} Z &= \sum_{\sigma_i=\pm 1, \dots, \sigma_N=\pm 1} \Lambda_{\sigma_1 \sigma_2} \Lambda_{\sigma_2 \sigma_3} \Lambda_{\sigma_3 \sigma_4} \dots \Lambda_{\sigma_{N-1} \sigma_N} \Lambda_{\sigma_N \sigma_1} = \\ &= \sum_{\sigma_1=\pm 1} (\Lambda)_{\sigma_1, \sigma_1}^N = \text{Sp}(\Lambda^N) \end{aligned}$$

(это след произведения матриц). Чтобы возвести матрицу Λ в N -ю степень приведем ее к диагональному виду: $\Lambda = U^{-1} \tilde{\Lambda} U$, где $\tilde{\Lambda}$ — диагональна. Тогда $\tilde{\Lambda}^N = U^{-1} \tilde{\Lambda}^N U$.

Матрица $\tilde{\Lambda}$ имеет на диагонали собственные значения матрицы Λ . Поскольку $\text{Sp}(\Lambda^N) = \text{Sp}(\tilde{\Lambda}^N)$, искать матрицу U не нужно.

Найдем собственные значения матрицы Λ :

$$\begin{aligned} \begin{vmatrix} e^{\frac{\mu \mathcal{H}}{T}} - \lambda & e^{-\frac{J}{T}} \\ e^{-\frac{J}{T}} & e^{-\frac{\mu \mathcal{H}}{T}} - \lambda \end{vmatrix} &= 0, \\ \lambda^2 - 2 \operatorname{ch} \frac{\mu \mathcal{H}}{T} \cdot \lambda + 1 - \exp \frac{-2J}{T} &= 0, \\ \lambda_{1,2} = \operatorname{ch} \frac{\mu \mathcal{H}}{T} \pm \sqrt{\operatorname{sh}^2 \frac{\mu \mathcal{H}}{T} + \exp \frac{-2J}{T}}. \end{aligned}$$

Статсумма

$$Z = \lambda_1^N + \lambda_2^N = \lambda_1^N \left(1 + \left(\frac{\lambda_2}{\lambda_1} \right)^N \right) \approx \lambda_1^N$$

(при $N \rightarrow \infty$).

Свободная энергия

$$F = -NT \ln \lambda_1(T, \mathcal{H}, J)$$

позволяет выразить энергию, теплоемкость, намагниченность цепочки. Ни одна из этих величин, очевидно, не испытывает скачков.

Причину отсутствия перехода в отсутствие поля можно понять. Ведь стоит одному спину перевернуться, как следующие вдоль цепочки полностью потеряют информацию о том, какой была преимущественная ориентация. Однако можно ожидать, что в трехмерном случае, когда есть

много путей передачи такой информации вдоль кристалла, она не потеряется. Так оказывается даже в двумерном случае.

Перейдем к рассмотрению двумерной задачи. Здесь при определенной температуре фазовый переход возможен. Эта задача была решена строгого Онсагером и представила первый пример, когда фазовый переход был получен теоретически (естественно, особенности в зависимостях от температуры появляются в пределе $N \rightarrow \infty$ и определяются для $C(T)/N$). Решение Онсагера неоднократно упрощали, в книгах [1, 7, 11] есть уже вполне доступные версии. Мы дадим лишь намек на путь решения (мы следуем книге [6]).

Итак, «решаем» двумерную задачу. Будем рассматривать только случай $\mathcal{H} = 0$. Выделим области с одинаково направленными спинами. В качестве параметра L примем длину границ этих областей, точнее, число связей, лежащих на границе. Определим L из условия минимума свободной энергии $F = U - TS$. Энергия определяется, очевидно, как $U = JL$. Чтобы найти энтропию, попробуем сосчитать, сколько есть способов провести ломаную длины L . Этот расчет сделаем очень грубо, с явным завышением: забудем, что граница должна быть замкнутой и что она не может проходить по уже пройденному пути. Тогда на каждом шаге есть три привычные возможности — пойти прямо, налево или направо. Таким образом, всего на L шагах получаем 3^L вариантов, откуда статистический вес при данной длине границы — $\Gamma \approx 3^L$, энтропия — $S = L \ln 3$, а свободная энергия — $F = JL - TL \ln 3$.

Если $J > T \ln 3$, то есть $T < T_c \equiv J / \ln 3$, то для минимума F выгодно, чтобы длина границы была маленькой, $L \rightarrow 0$, что соответствует порядку.

Если $T > T_c$, то $L \rightarrow \infty$ — беспорядок. Это и есть фазовый переход. Критическая температура, при которой он происходит, — $T_c \sim J / \ln 3$.

Точное значение температуры перехода — $T_c = J / \ln(1 + \sqrt{2})$.

Трехмерная задача была решена так: сначала удалось решить четырехмерную, затем построить теорию возмущений по отклонению размерности от 4, $\dim = 4 - \epsilon$, построить разложение по ϵ и получить ответ, положив $\epsilon = 1$ (работа Вильсона).

Но это были последние штрихи. Задача считалась одной из самых загадочных. Сложность задачи была обусловлена тем, что приближении к точке фазового перехода очень быстро возрастают флуктуации. Главный прорыв в ее решении сделали новосибирские (тогда) физики А. З. Паташинский и В. Л. Покровский (позже и, вероятно, независимо то же сделал американец Л. Каданов). Была выдвинута гипотеза подобия (масштабной инвариантности, скейлинга), состоящая примерно

в следующем. Разобьем решетку на одинаковые «блоки», каждый из которых содержит много спинов. Тогда задача в каком-то смысле сводится к предыдущей, только роль спинов играют эти блоки. Укрупнение блоков снова приводит к той же задаче и т. д. Именно такое «устройство» вещества в точке фазового перехода второго рода было угадано, а затем — доказано. Иначе говоря, зависимость термодинамических величин от координат вблизи критической точки (т. е. при $t = (T - T_k)/T_k \ll 1$) имеет вид

$$\Phi(\lambda \mathbf{r}) = \lambda^{-\Delta_\Phi} \Phi(\mathbf{r}), C(\lambda \mathbf{r}) = \lambda^{-\Delta_C} C(\mathbf{r}) \text{ при } t(\lambda \mathbf{r}) = \lambda^{-\Delta_t} t(\mathbf{r}) \quad (8)$$

и т. п. Постоянные Δ_Φ , Δ_C — так называемые аномальные размерности.

Фактически решение этой задачи повлекло разрешение загадки фазовых переходов второго рода. Мы еще далее коснемся этого вопроса.

9.2.3. Теория Ландау фазовых переходов второго рода

Задолго до того Ландау предложил свою теорию фазового перехода второго рода. Рассматривается процесс не при $V = \text{const}$, а при $P = \text{const}$ и не F , а термодинамический потенциал Φ .

Ландау понял, что при фазовом переходе второго рода происходит изменение симметрии вещества. Скажем, в какой-то кристаллической решетке атомы находятся в центрах, образованных некоторыми другими атомами кубов, а при нагревании и тепловом расширении, начиная с некоторой температуры, энергетически наиболее низкие положения начинают смещаться от центров этих кубов. Отклонение от симметрии также можно характеризовать параметром порядка. Определенные параметры симметрии можно указать и для других фазовых переходов второго рода.

Сделаем предположение, что потенциал Гиббса имеет вид

$$\Phi(T, P, \eta) = \Phi_0 + A(T, P)\eta^2 + B(T, P)\eta^4 + \dots$$

Забегая вперед, заметим, что наличие линейного слагаемого отвечало бы наличию внешнего поля¹. Главное допущение, которое впоследствии оказалось неправильным, состоит в возможности разложения потенциала Гиббса в ряд, т. е. предположение, что точка $\eta = 0$ не является особой для функции $\Phi(\eta)$. (Кстати, Ландау предвидел возможность, что

¹Наличие слагаемого, содержащего η^3 , отвечало бы не кривой фазовых переходов на PT -плоскости, а изолированной точке. Подробнее не будем на этом останавливаться.

это допущение окажется неверным.) Однако во многих случаях результаты расчетов неправильны только в очень близкой к фазовому переходу области.

Теория Ландау, безусловно, заслуживает изучения как некоторое базовое относительно простое приближение. Есть много задач гораздо более запутанных, скажем, с несколькими взаимосвязанными параметрами порядка, в которых без такого подхода было бы неудобно разбираться¹. К тому же для многих случаев область применимости этой теории весьма широка.

Сделаем еще один шаг. Положим

$$A(T, P) = a(T - T_k).$$

Условие равновесия $\frac{\partial \Phi}{\partial \eta} = 0$ дает нам

$$2a(T - T_k)\eta + 4B\eta^3 = 0,$$

откуда $\eta = 0$ или $\eta^2 = a(T_k - T)/2B$, т. е. два последних корня существуют лишь при $T < T_k$.

Включим магнитное внешнее поле h , что приведет к появлению добавки в потенциале Гиббса:

$$\Phi(T, P, \eta) = \Phi_0 + A(T, P)\eta^2 + B(T, P)\eta^4 - h\eta.$$

Условие равновесия даст нам величину поля

$$h = 2a(T - T_k)\eta + 4B\eta^3. \quad (9)$$

Получаем зависимости $\eta(h)$. При $T > T_k$ зависимость $\eta(h)$ монотонна и $\eta(h)$ определяется однозначно. При $T < T_k$ возможны три состояния — устойчивое равновесное состояние, метастабильное и неустойчивое состояние. (Сходство с изотермой Ван-дер-Ваальса не случайно.)

Определим магнитную восприимчивость:

$$\chi = \left(\frac{\partial \eta}{\partial h} \right)_{h=0}.$$

Дифференцируем уравнение (9) по h :

$$2a(T - T_k) \frac{\partial \eta}{\partial h} + 12B\eta^2 \frac{\partial \eta}{\partial h} = 1,$$

¹Например, теория сверхпроводимости Гинзбурга – Ландау, в которой параметр порядка — функция координат — является весьма нетривиальным обобщением этой теории.

откуда

$$\chi = \frac{1}{2a(T - T_k) + 12B\eta^2}.$$

При $T < T_k$ имеем $\eta^2 = a(T_k - T)/2B$, откуда

$$\chi = \frac{1}{4a(T_k - T)}$$

— закон Пьера Кюри.

При $T > T_k$ имеем $\eta = 0$ и $\chi = 1/2a(T - T_k)$. Зависимость $\chi(T)$ согласуется с экспериментом (при значениях температуры очень близких к T_k наблюдаются отклонения).

Уже в рамках этой теории видно, что в точке перехода обращаются в нуль вторая и третья производные $\Phi(\eta)$. Возникают большие флуктуации. В реальных системах становится существенным, что эти флуктуации разные в разных точках. Поэтому необходимо вводить в термодинамический потенциал производные параметра порядка по координатам и в то же время учитывать флуктуации. С учетом этого область применимости теории Ландау определяется «изнутри» нее.

9.2.4. Критические индексы

Теплоемкость, параметр порядка, магнитная восприимчивость в зависимости от температуры имеют в критической точке особенности. Принято представлять их зависимость от температуры вблизи критической точки в виде

$$C \propto \begin{cases} t^{-\alpha'} & \text{при } t > 0, \\ (-t)^{-\alpha} & \text{при } t < 0, \end{cases}$$

$$\eta \propto (-t)^\beta, \quad (10)$$

$$\chi \propto \begin{cases} t^{-\gamma'} & \text{при } t > 0, \\ (-t)^{-\gamma} & \text{при } t < 0. \end{cases}$$

Здесь $t = (T - T_k)/T_k$. Показатели $\alpha, \alpha', \beta, \gamma, \gamma'$ называются *критическими индексами*. (Вводятся критические индексы еще для ряда других величин, но мы ограничимся этими.) Критические индексы достаточно хорошо определяются по экспериментальным данным. К тому же они оказываются практически одинаковыми для многих разных фазовых переходов.

Гипотеза подобия, о которой говорилось в конце раздела 9.2.2, позволяет установить соотношения между критическими индексами. Из формул (8) из раздела 9.2.2 и (10) при $t < 0$ получаем

$$\Delta_C = \alpha \Delta_t, \quad \Delta_\eta = -\beta \Delta_t, \quad \Delta_\chi = \gamma \Delta_t. \quad (11)$$

Соотношения

$$C = T \frac{\partial^2 \Phi}{\partial T^2}, \quad \frac{\partial^2 \Phi}{\partial \eta^2} \chi = 1 \quad (12)$$

дают

$$\Delta_C = \Delta_\Phi - 2\Delta_t, \quad \Delta_\chi = \Delta_\Phi - 2\Delta_\eta. \quad (13)$$

(Вклад множителя T отсутствует, т. к. в (12) вблизи критической точки $T \approx T_k$.) Из (11), (13) немедленно следует

$$\alpha + 2\beta + \gamma = 2.$$

При расчете по методу Вильсона (упомянутому в 9.2.2) $\alpha = 0,08$; $\beta = 0,33$; $\gamma = 1,26$.

Задачи.

1. Показать, что из гипотезы подобия следует $\alpha' = \alpha$, $\gamma' = \gamma$.
2. Каковы значения критических индексов в теории Ландау?

Ответ.

$$\alpha = 0; \quad \beta = 1/2; \quad \gamma = 1.$$

10. ФЛУКТУАЦИИ

10.1. КВАЗИСТАЦИОНАРНЫЕ ФЛУКТУАЦИИ

Пусть тело находится в термостате-баростате и может обмениваться с ним энергией как путем теплообмена, так и совершая работу. Введем в рассмотрение два масштаба времени: Δt_1 — обмен энергии тело-термостат, Δt_2 — релаксация в теле. Мы будем рассматривать случай, когда время релаксации мало по сравнению со временем обмена между телом и термостатом: $\Delta t_2 \ll \Delta t_1$. В этом случае имеет смысл говорить о состояниях тела, когда оно не находится в равновесии с термостатом, но само по себе может иметь определенные значения термодинамических

величин. При этом говорят о квазистационарных флуктуациях (иногда их называют термодинамическими).

Вероятность состояния тела с определенными значениями E и V уже была выписана раньше (в разделе 3.1):

$$W \propto e^{S(E,V) - (E + P_0 V)/T_0}.$$

Эта формула принципиально решает задачу, и далее мы будем просто подробнее исследовать флуктуации, учитывая, что они оказываются малыми.

Представим E, V, S и другие термодинамические переменные тела в виде $E = \langle E \rangle + \Delta E$; $V = \langle V \rangle + \Delta V$ и т. п., где $\langle E \rangle, \langle V \rangle, \dots$ — равновесные значения. В показателе экспоненты в выражении для W имеем

$$T_0 \Delta S - \Delta E - P_0 \Delta V$$

(слагаемые, не зависящие от $\Delta E, \Delta S, \Delta V$, отнесены к коэффициенту пропорциональности). Это выражение разложим по малым отклонениям от равновесных значений.

Из числа $\Delta S, \Delta E$ и ΔV выберем в качестве независимых ΔS и ΔV , так что разлагать нужно только $\Delta E(\langle S \rangle + \Delta S, \langle V \rangle + \Delta V)$. Член первого порядка

$$\left(\Delta S \frac{\partial}{\partial S} + \Delta V \frac{\partial}{\partial V} \right) E = T \Delta S - P \Delta V,$$

вследствие условий $T = T_0$, $P = P_0$ сокращается с линейными по ΔS и ΔV слагаемыми, так что остается только член второго порядка:

$$\frac{1}{2} \left(\Delta S \frac{\partial}{\partial S} + \Delta V \frac{\partial}{\partial V} \right)^2 E = \frac{1}{2} \left(\Delta S \frac{\partial}{\partial S} + \Delta V \frac{\partial}{\partial V} \right) (T \Delta S - P \Delta V).$$

Поскольку

$$\left(\Delta S \frac{\partial}{\partial S} + \Delta V \frac{\partial}{\partial V} \right) T = \Delta T$$

и

$$\left(\Delta S \frac{\partial}{\partial S} + \Delta V \frac{\partial}{\partial V} \right) P = \Delta P,$$

получаем

$$W \propto \exp \left(\frac{\Delta P \Delta V - \Delta T \Delta S}{2T_0} \right). \quad (1)$$

Эта формула — удобная заготовка. Независимыми являются только два параметра. Выберем теперь в качестве независимых ΔT и ΔV и выразим через них ΔS и ΔP :

$$\Delta S = \frac{\partial S}{\partial T} \Delta T + \frac{\partial S}{\partial V} \Delta V, \quad \Delta P = \frac{\partial P}{\partial T} \Delta T + \frac{\partial P}{\partial V} \Delta V.$$

Домножим первое уравнение на ΔT , второе — на $(-\Delta V)$ и сложим, замечая, что $\frac{\partial S}{\partial T} = \frac{C_V}{T}$, а также $\frac{\partial S}{\partial V} = \frac{\partial P}{\partial T}$ (что видно из равенства $dF = -SdT - PdV$):

$$\Delta S \Delta T - \Delta P \Delta V = \frac{C_V}{T} (\Delta T)^2 - \left(\frac{\partial P}{\partial V} \right)_T (\Delta V)^2,$$

$$W \propto \exp \left(-\frac{C_V}{2T^2} (\Delta T)^2 + \frac{1}{2T} \left(\frac{\partial P}{\partial V} \right)_T (\Delta V)^2 \right).$$

(Напомним, что для устойчивости системы по отношению к расслоению на разные фазы величина $\left(\frac{\partial P}{\partial V} \right)_T$ должна быть отрицательна.) Это позволяет нам написать¹

$$\langle (\Delta T)^2 \rangle = \frac{T^2}{C_V}, \quad \langle (\Delta V)^2 \rangle = -T \left(\frac{\partial V}{\partial P} \right)_T, \quad \langle \Delta T \Delta V \rangle = 0. \quad (2)$$

Отметим, что речь идет о флюктуациях, усредненных за время, большое по сравнению с Δt_2 , величина же средних квадратичных отклонений усредняется за время, много большее Δt_1 .

Для расчета флюктуации какой-либо величины можно воспользоваться полученным результатом и разложением:

$$\Delta f(T, V) = \frac{\partial f}{\partial T} \Delta T + \frac{\partial f}{\partial V} \Delta V.$$

После возведения в квадрат, усреднения и подстановки (2) получаем результат. В частности, таким путем можно получить

$$\langle (\Delta S)^2 \rangle = C_P, \quad \langle (\Delta P)^2 \rangle = -T \left(\frac{\partial P}{\partial V} \right)_S, \quad \langle \Delta S \Delta P \rangle = 0 \quad (3)$$

(а проще получить эти же результаты из формулы (1)).

¹Нормированное выражение

$$W = \frac{1}{2\pi ab} e^{-x^2/2a^2 - y^2/2b^2},$$

при этом $\langle x^2 \rangle = \int_{-\infty}^{\infty} x^2 W dx dy = a^2$, $\langle y^2 \rangle = b^2$, $\langle xy \rangle = 0$.

Каковы флуктуации по порядку величины? Для температуры: $\Delta T/T \sim 1/\sqrt{N}$, для объема: $\Delta V/V \sim 1/\sqrt{N}$. С увеличением числа частиц абсолютная величина флуктуаций объема растет, а температуры — уменьшается.

Вспомним, что $\left(\frac{\partial P}{\partial \rho}\right)_S = v_s^2$ — квадрат скорости звука. Учитывая, что $\rho \propto V^{-1}$, получим $\Delta\rho/\rho = -\Delta V/V$, $\langle(\Delta P)^2\rangle = T\rho v_s^2/V$.

Флуктуации ограничивают возможную точность измерений. Стрелка измерительного прибора в своем тепловом движении колеблется случайным образом. Однако есть немало приемов, позволяющих проводить измерения гораздо ниже уровня флуктуаций.

10.2. Флуктуации числа частиц

Изменим исходную постановку задачи.

Пусть объем фиксирован, а число частиц в нем может изменяться. Тогда вероятность состояния вещества в этом объеме выражается как

$$W \propto e^{S(E,N) - (E - N\mu_0)/T_0}.$$

Флуктуации различных величин, включая число частиц в данном объеме, можно получить, проделав для новых переменных выкладки, подобные проделанным в предыдущем разделе. А можно и иначе, установив связь между двумя постановками задачи (при $V = \text{const}$ и при $N = \text{const}$). Учтем, что в обеих задачах речь идет не о физическом вмешательстве в устройство и движение системы, а только о разных способах подсчета. Поэтому в обеих постановках флуктуации концентрации должны быть просто одни и те же. Рассмотрим флуктуации концентрации:

при $V = \text{const}$ и флуктуациях N имеем $\Delta(N/V) = \Delta N/V$,

при $N = \text{const}$ и флуктуациях V имеем $N\Delta(1/V) = -N\Delta V/V^2$.

Значит,

$$\frac{\langle(\Delta N)^2\rangle}{V^2} = \frac{N^2}{V^4} \langle(\Delta V)^2\rangle,$$

откуда

$$\langle(\Delta N)^2\rangle = -\frac{N^2}{V^2} \cdot \left(\frac{\partial V}{\partial P}\right)_T, \quad \langle\Delta N \Delta T\rangle = 0.$$

Преобразуем это выражение, перейдя к переменным μ, V, T

$$\left(\frac{\partial V}{\partial P}\right)_{T,N} = \frac{\partial(V, T, N)}{\partial(P, T, N)} = \frac{\partial(V, T, N)}{\partial(V, T, \mu)} \frac{\partial(V, T, \mu)}{\partial(P, T, N)}.$$

Первый якобиан равен $\left(\frac{\partial N}{\partial \mu}\right)_{V,T}$. Для вычисления второго вспомним равенство

$$d\mu = \frac{V}{N} dP - \frac{S}{N} dT,$$

из которого следует

$$\left(\frac{\partial \mu}{\partial N}\right)_{P,T} = 0, \quad \left(\frac{\partial \mu}{\partial P}\right)_{N,T} = \frac{V}{N}.$$

В итоге, $\left(\frac{\partial V}{\partial P}\right)_{T,N} = \frac{V^2}{N} \left(\frac{\partial N}{\partial \mu}\right)_{V,T}$ и

$$(\Delta N)^2 = T \left(\frac{\partial N}{\partial \mu}\right)_{V,T}.$$

К этому результату можно просто прийти и непосредственно от большого канонического распределения, причем уже без ограничения квазистатическими флуктуациями.

Найдем флуктуации числа частиц в k -м квантовом состоянии ферми-газа; среднее число частиц

$$\langle N_k \rangle = \frac{1}{e^{(\varepsilon_k - \mu)/T} + 1}.$$

Легко получаем

$$\langle (\Delta N_k)^2 \rangle = T \frac{\partial N}{\partial \mu} = \langle N_k \rangle (1 - \langle N_k \rangle),$$

то есть произведение числа частиц на число дырок. В окрестности граничной энергии (при низких температурах) это произведение может достигать величины $1/4$.

Если рассмотреть бозе-газ, то получим

$$\langle (\Delta N_k)^2 \rangle = \langle N_k \rangle (1 + \langle N_k \rangle),$$

где

$$\langle N_k \rangle = \frac{1}{e^{(\varepsilon - \mu)/T} - 1}.$$

Для света первое слагаемое соответствует корпскулярной картине, а второе — волновой.

$$\langle (\Delta N_k)^2 \rangle = \langle N_k \rangle + \langle N_k \rangle^2.$$

Задача.

Выразить относительную величину флуктуаций интенсивности дневного света, рассматривая электромагнитное поле как классическое.

Решение.

Мгновенное значение электрического поля световой волны складывается из полей, излученных множеством атомов:

$$\mathbf{E} = \sum_a \mathbf{E}_a.$$

Каждое из слагаемых \mathbf{E}_a изменяется с частотой $\sim 10^{15} c^{-1}$, а за время, не большее 10^{-7} с, полностью изменяет направление и фазу, причем независимо от других (мы рассматриваем неполяризованный свет). Интенсивность света определяется величиной \mathbf{E}^2 , усредненной за период. Для мгновенного значения поля

$$\mathbf{E}^2 = \sum_a E_a^2 + \sum_{a \neq b} E_a E_b \cos \theta_{ab} = L \langle E_a^2 \rangle,$$

где L — число слагаемых, $\langle E_a^2 \rangle$ — средний (по разным атомам) квадрат поля излучения одного атома, а направления поляризаций излучений разных атомов независимы: $\langle \cos \theta_{ab} \rangle = 0$. Для определения флуктуаций интенсивности нам понадобится величина

$$\begin{aligned} (\mathbf{E}^2)^2 &= (\sum_a E_a^2 + \sum_{a \neq b} E_a E_b \cos \theta_{ab})(\sum_c E_c^2 + \sum_{c \neq d} E_c E_d \cos \theta_{cd}) = \\ &= \sum_a E_a^4 + \sum_{a \neq c} E_a^2 E_c^2 + \sum_{a \neq b \neq c} E_a E_b E_c^2 \cos \theta_{ab} + \sum_{c \neq d \neq a} E_c E_d E_a^2 \cos \theta_{cd} + \\ &\quad + \sum_{a \neq b \neq c \neq d} E_a E_b E_c E_d \cos \theta_{ab} \cos \theta_{cd} + 2 \sum_{a \neq b} E_a^2 E_b^2 \cos^2 \theta_{ab}. \end{aligned}$$

Первая сумма в правой части содержит L слагаемых, вторая — много больше: $L(L-1) \approx L^2$. Третья, четвертая и пятая суммы обращаются в нуль из-за сомножителей вида $\cos \theta_{ab}$. Последняя, в которую выделены слагаемые с $c = a$, $d = b$ и $c = b$, $d = a$, оказывается равна второй (т. к. $\langle \cos^2 \theta_{ab} \rangle = 1/2$). В итоге $\langle (\mathbf{E}^2)^2 \rangle = 2L^2 \langle E_a^2 \rangle^2$, и

$$\frac{\Delta I}{I} = \frac{\sqrt{\langle (\mathbf{E}^2)^2 \rangle - \langle \mathbf{E}^2 \rangle^2}}{\langle \mathbf{E}^2 \rangle} = 1.$$

10.3. Рассеяние света

Пример явления, где флуктуации играют главную роль — рассеяние света.

На объем, заполненный газом или жидкостью, падает свет. Выделим область, размеры которой много меньше длины волны света, ее объем $V \ll \lambda^3$. В переменном электрическом поле волны \mathbf{E} у этого элементарного объема возникает переменный дипольный момент:

$$\mathbf{d} = V \frac{\epsilon - 1}{4\pi} \mathbf{E}, \quad \ddot{\mathbf{d}} = -\omega^2 \mathbf{d}. \quad (4)$$

Излучение диполя

$$I = \frac{2}{3c^3} \ddot{\mathbf{d}}^2.$$

Однако происходит интерференция полей, излучаемых из разных малых объемов. При этом почти для каждого такого объема найдется другой, вклад которого окажется в противофазе (рис. 17).

Поэтому рассеяния вообще не должно бы быть (точнее, мог бы быть лишь поверхностный эффект). На самом деле рассеяние есть, и происходит оно за счет флуктуаций диэлектрической проницаемости (а следовательно, и дипольных моментов, индуцируемых в разных объемах): $\epsilon = \langle \epsilon \rangle + \delta \epsilon$. Итак, средняя величина $\langle \epsilon \rangle$ вклада в рассеяние не даст.

Поэтому в (4) следует сделать замену

$$\frac{\epsilon - 1}{4\pi} \rightarrow \frac{\delta \epsilon}{4\pi}.$$

Полная интенсивность излучения, идущего из данного объема

$$I = \frac{2}{3} \frac{V^2 (\delta \epsilon)^2 \omega^4}{c^3 \cdot 16\pi^2} E^2.$$

$$AB - CB = \lambda/2$$

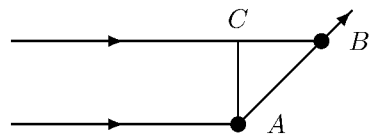


Рис. 17. Схема, иллюстрирующая деструктивную интерференцию излучений из разных объемов. Если бы не флуктуации, то волны, излученные из объемов A и B в направлении AB , гасили бы друг друга.

Пусть диэлектрическая проницаемость является функцией плотности $\rho = \frac{N}{V}$ и температуры. Примем, что зависимость ε от температуры несущественна.

$$\delta\varepsilon(\rho, T) = -\frac{\partial\varepsilon}{\partial\rho} \frac{N}{V^2} \Delta V;$$

$$V(\delta\varepsilon)^2 = -V \left(\frac{\partial\varepsilon}{\partial\rho} \right)^2 \frac{\rho^2}{V^2} \cdot T \left(\frac{\partial V}{\partial P} \right)_T.$$

Вводим коэффициент сжимаемости: $\beta = \frac{1}{V} \left(\frac{\partial V}{\partial P} \right)_T^{-1}$. Тогда интенсивность излучения из данного объема

$$I = \frac{V\omega^4}{6\pi c^4} \left(\frac{\partial\varepsilon}{\partial\rho} \rho \right)_T^2 \beta TS = hSV, \quad (5)$$

где $S = cE^2/4\pi$. Это верно для объема $V \ll \lambda^3$. Флуктуации в разных объемах таких размеров происходят независимо, для разных точек $\langle \delta\varepsilon(\mathbf{r}_1)\delta\varepsilon(\mathbf{r}_2) \rangle = 0$, поэтому складываются интенсивности излучений из разных малых объемов. Это означает, что формула (5) справедлива не только для малых объемов, но и для любых. При прохождении слоя толщины dx плотность потока энергии S изменяется на $dS = -hSdx$. Отсюда $S \propto e^{-hx}$. Величину h называют коэффициентом экстинкции. Этот вывод (для общего случая, когда диэлектрическая проницаемость зависит и от температуры) был сделан Эйнштейном.

Ранее рассеяние света воздухом изучал Рэлей. Чтобы прийти к полученной им формуле, учтем, что для неплотного газа

$$\varepsilon = 1 + 4\pi\rho\alpha,$$

где α — поляризуемость молекулы. Поэтому

$$\frac{\partial\varepsilon}{\partial\rho} = \frac{\varepsilon - 1}{\rho} = \frac{n^2 - 1}{\rho},$$

откуда

$$\left(\frac{\partial\varepsilon}{\partial\rho} \rho \right)^2 = 4(n - 1)^2,$$

так как $n^2 - 1 \approx 2(n - 1)$. Тогда

$$h = \frac{2\omega^4(n - 1)^2}{3\pi\rho c^4}.$$

¹Для твердого тела $K = 1/\beta$ — модуль всестороннего сжатия.

Для воздуха величина h^{-1} имеет порядок нескольких километров. Зависимостью величины h от частоты определяется синий цвет неба и красный — зари.

Если ввести сечение рассеяния света на молекуле $\sigma = 8\pi\omega^4 a^2 / 3c^4$, то в рэлеевском случае $h = (N/V)\sigma$ величину h^{-1} можно интерпретировать как длину свободного пробега света. Это так называемое некогерентное рассеяние. Хотя в объеме $\sim \lambda^3$ находится много молекул и рассеянные ими волны складываются, их интерференция, как мы видим, фактически не проявляется (для рассеяния в однородной в среднем среде).

10.4. Дублет Мандельштама – Бриллюена

Флуктуации диэлектрической проницаемости в разных точках, независимые друг от друга, могут быть представлены как наложение волн разной длины и частоты со случайными фазами. Эти волны — фононы, распространяющиеся со скоростью звука v_s . Они представляют собой флуктуации давления (которые, напомним, могут происходить независимо от флуктуаций энтропии). Флуктуации энтропии — это тепловые волны, которые, как известно, не бегут по веществу, а затухают на расстоянии порядка длины волны.

При рассеянии света можно выделять взаимодействие световой волны с определенной волной флуктуаций. Оказывается, для этого достаточно выбрать определенный угол отклонения рассеянной волны θ . При этом прежде всего выделится направление фронта рассеивающей волны (подобно тому, как при наблюдении лунной дорожки на воде мы выделяем фактически лишь определенные направления волн на воде); в обоих случаях должен выполняться закон зеркального отражения. Кроме того, разность хода волн, рассеянных соседними максимумами плотности, должна быть равна длине волны света. Это требование определяет и длину волны участвующего в рассеянии звука. Все это вполне аналогично рассеянию рентгеновских лучей кристаллами, только в нашем случае речь идет не об образующих кристаллическую решетку атомах, а о хаотически возникающих и исчезающих уплотнениях. Поскольку они еще и бегут, возникает сдвиг частоты рассеянного света.

Полагая $\mathbf{E} \propto \cos(\mathbf{k}\mathbf{r} - \omega t)$, а $\delta\varepsilon \propto \cos(\mathbf{q}\mathbf{r} - \Omega t)$, получим, что

$$\begin{aligned} \delta\varepsilon\mathbf{E} &\propto \cos(\mathbf{k}\mathbf{r} - \omega t) \cos(\mathbf{q}\mathbf{r} - \Omega t) \\ &\propto \cos((\mathbf{k} + \mathbf{q})\mathbf{r} - (\omega + \Omega)t) + \cos((\mathbf{k} - \mathbf{q})\mathbf{r} - (\omega - \Omega)t). \end{aligned}$$

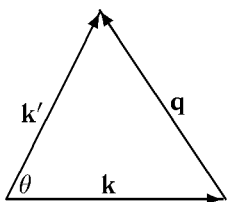


Рис. 18. Изменение импульса фотона равно квазимпульсу поглощенного фонона.

а частота его $\Omega = v_s q$ много меньше частоты света $\omega = ck/n$ (n — показатель преломления). Поэтому $k' \approx k$ и $q = 2k \sin(\theta/2)$, так что сдвиг частоты рассеянного на таких флюктуациях света $\Omega = 2n\omega(v_s/c) \sin(\theta/2)$ определяется углом рассеяния.

Рассеяние света на тепловых волнах, которые не обладают заметной скоростью, происходит без изменения частоты.

Таким образом, при рассеянии света помимо несмешенной по частоте линии появляется еще пара линий со слегка измененными частотами, называемая дублетом Мандельштама — Бриллюэна. Соотношение их интенсивностей определяется соотношением флюктуаций давления и энтропии. Амплитуда и фаза звуковой волны с данными значениями q и Ω в веществе флюктуируют. Время убывания (и нарастания) амплитуды характеризуется коэффициентом затухания звука. Соотношение $\Omega = v_s q$ выполняется лишь с точностью до этого коэффициента. Он и определяет ширину линий дублета.

В твердом теле, где возможны звуковые и световые волны с разными поляризациями и скоростями, количество смешенных линий может быть гораздо больше. Все это хорошо наблюдается на опыте.

Может возникнуть вопрос, почему скоррелированные в разных точках в разные моменты времени флюктуации в волнах, складываясь, приводят к флюктуациям независимым в разных точках одновременно. Дело здесь именно в случайности фаз разных волн. Скажем, флюктуации на поверхности твердого тела, где фазы падающих и отраженных волн скоррелированы, могут несколько отличаться от флюктуаций в глубине вещества.

Задача.

Предположим, что диэлектрическая проницаемость жидкости или газа зависит от плотности вещества и не зависит от температуры.

Отсюда видно, что частота ω' и волновой вектор \mathbf{k}' рассеянного света удовлетворяют уравнениям

$$\omega' = \omega \pm \Omega, \quad \mathbf{k}' = \mathbf{k} \pm \mathbf{q},$$

которые можно интерпретировать как законы сохранения энергии и импульса при поглощении или испускании фотоном фонона (рис. 18).

Волновой вектор фонона по порядку величины не превышает k ,

Найти отношение интенсивности дублета Мандельштама – Бриллюэна к полной интенсивности рассеянной волны.

Ответ.

$(I_{\omega+\Omega} + I_{\omega-\Omega})/I = c_V/c_P$ (формула Ландау и Плачека).

10.5. Флуктуации параметра порядка

Мы будем рассматривать состояние вещества вблизи фазового перехода второго рода. Будем рассматривать вещество, которое находится в некотором объеме V и может обмениваться частицами с термостатом-баростатом. Состояние тела описывается параметром порядка η , а распределение вероятностей различных значений η —

$$W(\eta) \propto e^{-\Omega(T, P, \mu, \eta)/T}.$$

Согласно теории Ландау вблизи точки фазового перехода второго рода Ω потенциал тела, как и термодинамический потенциал, представляется в виде

$$\Omega = V\phi(T, P, \mu, \eta), \quad \text{где } \phi = at\eta^2 + B\eta^4, \quad t = T - T_k. \quad (6)$$

Равновесное значение параметра порядка определяется условием $\frac{\partial\Omega}{\partial\eta} = 0$, что дает

$$\eta_0^2 = \begin{cases} 0 & \text{при } t > 0, \\ a|t|/2B & \text{при } t < 0. \end{cases} \quad (7)$$

Распределение вероятностей флуктуаций определяется согласно формуле (1) из раздела 3.2:

$$W \propto \exp\left(-\frac{\Omega}{T}\right) \propto \exp\left[-\frac{1}{2T} \left(\frac{\partial^2\Omega}{\partial\eta^2}\right)_{\eta_0} (\delta\eta)^2\right]. \quad (8)$$

Здесь

$$\delta\eta = \eta - \eta_0, \quad \left(\frac{\partial^2\Omega}{\partial\eta^2}\right)_{\eta_0} = V \left(\frac{\partial^2\phi}{\partial\eta^2}\right)_{\eta=\eta_0} = V(2at + 12B\eta_0^2) \sim Va|t|. \quad (9)$$

По мере приближения температуры к точке фазового перехода второго рода минимум Ω потенциала как функции параметра порядка становится все более пологим. Это должно было бы привести к росту величины флуктуаций:

$$(\delta\eta)^2 \sim \frac{T_k}{Va|t|}. \quad (10)$$

Согласно (6) рост флюктуаций должен был ограничиваться слагаемым, содержащим η^4 . В действительности ограничение обусловлено тем, что вещество становится существенно неоднородным. Параметр порядка можно считать функцией координат, а в Ω потенциал должно быть включено слагаемое, зависящее от степени неоднородности вещества:

$$\Omega(T, P, \eta) = \int [\phi(T, P, \eta) + g(\nabla\eta)^2] dV. \quad (11)$$

Характерные размеры R областей неоднородности¹ определяют величину добавочного слагаемого: $g(\nabla\delta\eta)^2 \sim g(\delta\eta/R)^2$. Существенное влияние на распределение вероятностей это слагаемое будет оказывать при условии, что по порядку величины оно сравняется с отклонением других слагаемых в (11) от минимального значения $\phi(T, P, \eta_0 + \delta\eta) - \phi(T, P, \eta_0) \sim a|t|(\delta\eta)^2$, что приводит к оценке

$$R \sim \left(\frac{g}{a|t|} \right)^{1/2}. \quad (12)$$

Ниже точки перехода ($t < 0$) неоднородность вещества может быть связана с переходом от области, где $\eta = \eta_0$, к области, где $\eta = -\eta_0$. В этом случае R дает оценку толщины области перехода, а величина $\sigma \sim g(\eta_0/R)^2 R$ характеризует добавочную энергию, связанную с наличием границы между этими областями (в расчете на единицу площади границы). Иначе говоря, σ — это коэффициент поверхностного натяжения. Оценка его

$$\sigma \sim \frac{g^{1/2}(a|t|)^{3/2}}{B}. \quad (13)$$

(Эксперименты в различных жидкостях дают близкую, но все-таки другую зависимость: $\sigma \propto |t|^{1.3}$.)

Возвращаясь к флюктуациям, мы должны представлять себе, что тело в любой момент разбивается на области размера $\sim R$, в пределах каждой из которых значения флюктуации параметра порядка $\delta\eta$ приблизительно постоянны, в различных же областях значения $\delta\eta$ независимы друг от друга. Оценку флюктуаций параметра порядка получим, приняв в (10) в качестве объема такой области $V \sim R^3$:

$$(\delta\eta)^2 \sim \frac{T_k(a|t|)^{1/2}}{g^{3/2}}. \quad (14)$$

¹Размер R называют также радиусом корреляции флюктуаций.

Таким образом, флуктуации все-таки убывают по мере приближения к точке фазового перехода (кстати, подобная оценка величины флуктуаций справедлива как выше температуры перехода, так и ниже нее). Естественно принять в качестве условия применимости теории Ландау соотношение $(\delta\eta)^2 \ll \eta_0^2$, что дает

$$\frac{|t|}{T_k} \gg \frac{T_k g^2}{aB^3}. \quad (15)$$

Это условие (называемое критерием Гинзбурга – Леванюка) означает, что теория Ландау применима лишь в некотором отдалении от точки перехода. Согласно этому условию оказывается, что теория не имеет области применимости для перехода к сверхтекучему состоянию ${}^4\text{He}$, применима практически в любой близости от точки перехода в сверхпроводящее состояние; для ферро- и антиферромагнетиков, как правило, есть вполне доступная для эксперимента область неприменимости теории Ландау $|t| \gg 0.1T_k$.

Задачи.

1. Оценить связанную с флуктуациями добавку к теплоемкости вблизи точки перехода.

Решение.

Добавку к Ω , обусловленную флуктуациями η ,

$$\delta\Omega = \frac{1}{2} \left(\frac{\partial^2 \Omega}{\partial \eta^2} \right) (\delta\eta)^2,$$

согласно (9), (14), оцениваем как

$$\delta\Omega \sim V a |t| \frac{T_k (a|t|)^{1/2}}{g^{3/2}}.$$

Получая далее добавки к энтропии и теплоемкости, дифференцируем только t , сохраняя тем самым лишь наибольшие слагаемые.

$$\delta S = -\frac{\partial}{\partial T} \delta\Omega \sim V a^{3/2} |t|^{1/2} / g^{3/2},$$

$$\delta C = T \frac{\partial}{\partial T} \delta S \sim V a^{3/2} / g^{3/2} |t|^{1/2}.$$

При более тщательном расчете получается еще коэффициент $1/16\pi$.

2. Полагая, что в области границы между областями с $\eta = \pm\eta_0$ параметр η зависит лишь от одной координаты x , и используя аналогию с задачами аналитической механики, найти $\eta(x)$ и σ .

Решение.

Зависимость $\eta(x)$ определяется условием минимума функционала

$$\Omega = \int_{-\infty}^{\infty} \left[g \left(\frac{d\eta}{dx} \right)^2 + \phi(\eta) \right] dx,$$

что подобно принципу наименьшего действия с заменами $2S \rightarrow \Omega$, $t \rightarrow x$, $m \rightarrow g$, $-U \rightarrow \phi$. Не выписывая «уравнений движения», сразу же запишем «интеграл энергии»: $g(\eta'(x))^2 - \phi = E$. Интересующему нас случаю, когда $\eta \rightarrow \pm\eta_0$ при $x \rightarrow \pm\infty$, отвечает $E = -\phi(\eta_0)$. Таким образом,

$$g(\eta'(x))^2 = \phi(\eta) - \phi(\eta_0). \quad (16)$$

Подставляя (6), (7), получаем

$$\frac{d\eta}{dx} = \left(\frac{B}{g} \right)^{1/2} (\eta_0^2 - \eta^2).$$

Из этого уравнения легко найти

$$\eta = \eta_0 \operatorname{th} \frac{x}{R}, \quad R = \left(\frac{2g}{a|t|} \right)^{1/2}.$$

Коэффициент поверхностного натяжения совпадает с «поверхностной» добавкой к потенциалу Ω :

$$\sigma = \Delta\Omega = \int_{-\infty}^{\infty} [g(\eta'(x))^2 + \phi(\eta) - \phi(\eta_0)] dx.$$

С учетом (16)

$$\sigma = 2 \int_{-\infty}^{\infty} [\phi(\eta) - \phi(\eta_0)] dx = 2(B/g)^{1/2} \int_{-\eta_0}^{\eta_0} (\eta_0^2 - \eta^2) d\eta = \frac{g^{1/2} (2a|t|)^{3/2}}{3B}.$$

11. Броуновское движение

Будем рассматривать броуновское движение, временно забыв о флуктуациях. Затем построенную теорию перенесем и на развитие флуктуаций со временем.

11.1. Корреляционная функция скоростей и диффузия

Для броуновской частицы (радиуса a) уравнение движения содержит силу трения, определяемую формулой Стокса¹ ($\mathbf{f}_{\text{тр}} = -\alpha \mathbf{v}$, $\alpha = 6\pi\eta a$), и добавку $\mathbf{f}_{\text{сл}}$, представляющую собой случайную силу, которая возникает за счет флуктуаций давления внутри жидкости; для проекции на ось x

$$m\dot{v}_x = -\alpha v_x + f_{x,\text{сл}}.$$

(Далее индекс x для краткости опускается.)

Легко видеть, что величина $\tau = \frac{m}{\alpha}$ — характерное время торможения частицы². Далее мы будем считать, что случайные составляющие силы, взятые в разные моменты времени, статистически независимы,

$$\langle f_{\text{сл}}(t_1) f_{\text{сл}}(t_2) \rangle = 0.$$

Это означает, между прочим, что мы признаем «разными» моменты, отличающиеся друг от друга не менее, чем на некоторый интервал Δt . О выборе Δt для разных условий будет речь впоследствии, во всяком случае $\Delta t \ll \tau$.

Скорости броуновских частиц удовлетворяют распределению Максвелла, поэтому

$$\frac{m}{2} \langle v^2 \rangle = \frac{T}{2}.$$

В стационарных условиях в среднем $\langle v \rangle = 0$ (подразумевается усреднение по множеству броуновских частиц³). Введем корреляционную

¹Если частица движется в разреженном газе, то коэффициент $\alpha \sim n m_0 a^2 V_T$, где n — концентрация молекул, m_0 — масса молекулы, V_T — ее тепловая скорость, a — радиус броуновской частицы. Флуктуации давления связаны в этом случае с флуктуациями числа молекул, налетающих на частицу в единицу времени с разных сторон.

Включение в уравнения движения броуновской частицы случайных сил связано с именем Ланжевена.

²Если скорость настолько велика, что случайной составляющей силы можно пренебречь, то получаем

$$\dot{v} = -\frac{v}{\tau}, \text{ откуда } v(t) = v(0)e^{-\frac{t}{\tau}}.$$

³То есть перемножаем значения скорости одной и той же частицы, взятые в разные моменты времени, и находим среднее арифметическое таких произведений по многим частицам. Можно следить и за одной лишь частицей, усредняя по многим интервалам времени, достаточно далеким друг от друга.

функцию скоростей $\langle v(t_1)v(t_2) \rangle$. В стационарных условиях эта функция зависит лишь от разности $t_1 - t_2$. Обозначим ее

$$\varphi(t_1 - t_2) = \langle v(t_1)v(t_2) \rangle.$$

Если $t_1 = t_2$, то получим просто средний квадрат скорости частицы

$$\varphi(0) = \frac{T}{m}, \quad (1)$$

если разность $|t_1 - t_2|$ велика (по сравнению с τ), то функция должна стремиться к нулю. Очевидно также, что

$$\varphi(-t) = \varphi(t). \quad (2)$$

Чтобы найти эту функцию, домножим на $v(t_2)$ уравнение движения, записанное для момента t_1 :

$$\frac{dv(t_1)}{dt_1} = -\frac{1}{\tau}v(t_1) + \frac{f_{\text{сл}}(t_1)}{m},$$

и произведем усреднение

$$\frac{d}{dt_1}\varphi(t_1 - t_2) + \frac{\varphi(t_1 - t_2)}{\tau} = \frac{\langle f_{\text{сл}}(t_1)v(t_2) \rangle}{m}.$$

Далее рассмотрим случай, когда $t_1 > t_2$, то есть скорость рассматривается в момент до действия силы. Очевидно, на величину скорости в момент t_2 могут повлиять лишь значения силы до этого момента; поскольку значения силы в разные моменты не коррелированы, корреляции скорости со значениями силы после момента t_2 быть не должно:

$$\langle f_{\text{сл}}(t_1)v(t_2) \rangle = 0 \quad \text{при } t_1 > t_2.$$

Мы приходим к уравнению

$$\frac{d\varphi(t)}{dt} + \frac{\varphi(t)}{\tau} = 0.$$

Его решение

$$\varphi(t) = \varphi(0)e^{-t/\tau}.$$

С учетом (1) и (2)

$$\varphi(t) = \frac{T}{m}e^{-|t|/\tau}.$$

Таким образом, время корреляции скоростей имеет порядок времени торможения частицы τ , что вполне естественно.

Ясно, что среднее значение смещения частицы за какое-то время равно нулю. Найдем средний квадрат смещения $\langle x^2(t) \rangle$. Будем считать, что $x(0) = 0$, так что

$$x(t) = \int_0^t v(t_1) dt_1.$$

Тогда

$$\langle x^2(t) \rangle = \int_0^t dt_1 \int_0^t dt_2 \langle v(t_1)v(t_2) \rangle = \int_0^t dt_1 \int_0^t dt_2 \varphi(t_1 - t_2). \quad (3)$$

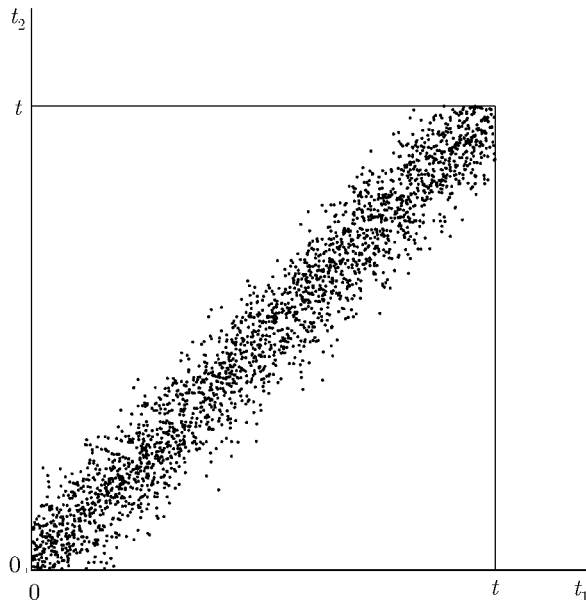


Рис. 19. Область интегрирования по t_1, t_2 в (3). Фактически — область $|t_1 - t_2| \lesssim \tau$.

Несложно вычислить этот интеграл, не делая никаких приближений, но более поучительным и полезным для дальнейшего будет другой путь. Область интегрирования — квадрат $0 < t_1 < t$, $0 < t_2 < t$, но фактически подынтегральная функция отлична от нуля лишь в узкой полосе, прилегающей к диагонали $t_1 = t_2$ и имеющей ширину порядка τ (рис. 19). Перейдя от интегрирования по t_2 к интегрированию по $t' = t_1 - t_2$, можем с хорошей точностью принять, что интегрирование по t' проводится в пределах $-\infty < t' < \infty$ (это приближение будет слишком грубым лишь для $t \lesssim \tau$). Получаем

$$\langle x^2(t) \rangle = \int_0^t dt_1 \int_{-\infty}^{\infty} dt' \varphi(t') = t \cdot 2 \frac{T}{m} \tau.$$

Итак, при $t \gg \tau$ получаем $\langle x^2(t) \rangle = 2(T/m)\tau t = 2T\alpha t = 2Dt/3$, где D — коэффициент диффузии. $\langle x^2 + y^2 + z^2 \rangle = 2Dt$.

Получим еще корреляционные функции скорости и ускорения

$$\begin{aligned} \langle \dot{v}(t_1)v(t_2) \rangle &= \frac{\partial}{\partial t_1} \varphi(t_1 - t_2) = -\langle \dot{v}(t_2)v(t_1) \rangle = \\ &= \text{sign}(t_1 - t_2) \frac{T\alpha}{m^2} e^{-\frac{|t_1 - t_2|}{\tau}}. \end{aligned}$$

Корреляционная функция $\langle \dot{v}(t_1)v(t_2) \rangle$ — нечетная функция $t_1 - t_2$.

Приведем иллюстрации, относящиеся к броуновскому движению осциллятора (рис. 20). Чтобы подчеркнуть случайный характер движения, показаны графики для пары осцилляторов, движущихся независимо друг от друга. При малом трении в процессе движения медленно изменяются амплитуда и фаза колебаний (левый график). При большом — движение мало похоже на колебания (правый график). В обоих случаях средняя энергия осциллятора одна и та же, она определяется температурой.

Сопоставляя зависимости $x(t)$ и $\langle x(t')x(t' + t) \rangle$, можно видеть, что корреляционная функция определенным образом отвечает этим особенностям броуновского движения.

Задачи.

1. Найти средний квадрат смещения броуновской частицы, вначале покоявшейся, за время $t \sim \tau$.

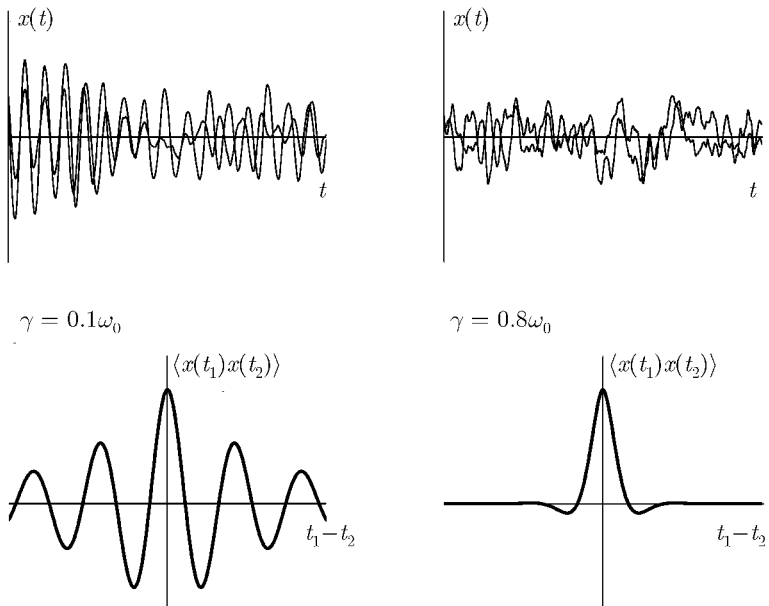


Рис. 20. Вверху — броуновское движение осциллятора — $x(t)$ (компьютерное моделирование). Внизу — корреляционные функции координат осциллятора, рассчитанные для тех же условий.

2. Найти корреляционные функции $\langle x(t')x(t'+t) \rangle$, $\langle v(t')x(t'+t) \rangle$ и $\langle v(t')v(t'+t) \rangle$, ($v = \dot{x}$) для осциллятора с трением.

11.2. Корреляционная функция случайных сил

Движение в пространстве импульсов точки, изображающей импульс броуновской частицы, можно рассматривать как случайные блуждания, обусловленные как случайными изменениями импульса, вызванными флюктуациями, так и регулярными, которые являются результатом действия силы трения. В стационарном режиме рост энергии за счет флюктуаций компенсируется потерями на трение.

Будем представлять себе, что ось времени разбита на такие интервалы Δt , что случайные воздействия на броуновскую частицу в течение разных интервалов можно считать независимыми, и не будем рассмат-

ривать более мелкие промежутки времени. При этом мы считаем, что $\Delta t \ll \tau$ (то есть за время Δt скорость броуновской частицы изменяется мало). Изменение импульса броуновской частицы за время Δt складывается из двух частей:

$$p \rightarrow p + \langle \Delta p \rangle + \Delta p_{\text{сл}},$$

где

$$\langle \Delta p \rangle = -\alpha v \Delta t, \quad \langle \Delta p_{\text{сл}} \rangle = 0.$$

Учтем теперь, что в стационарном режиме среднее значение квадрата импульса не изменяется:

$$\langle p^2 \rangle \rightarrow \langle p^2 \rangle + 2\langle p \rangle \langle \Delta p \rangle + \langle (\Delta p_{\text{сл}})^2 \rangle.$$

(Слагаемым $\langle (\Delta p)^2 \rangle$ мы пренебрегаем в сравнении с $\langle p \rangle \langle \Delta p \rangle$, линейные по $\Delta p_{\text{сл}}$ слагаемые обращаются в нуль при усреднении.) Отсюда получаем

$$\langle (\Delta p_{\text{сл}})^2 \rangle = -2\langle p \rangle \langle \Delta p \rangle = 2\alpha \langle vp \rangle \Delta t = 2\alpha T \Delta t.$$

Тот факт, что квадрат переданного за время Δt импульса оказался пропорционален Δt , легко понять, когда речь идет о броуновской частице, движущейся в разреженном газе. В этом случае мы должны выбрать интервал времени Δt настолько большим, чтобы число N молекул, налетевших за это время на частицу, было велико: $N \sim na^2 V \Delta t \gg 1$. Тогда флуктуация N , равная по порядку величины \sqrt{N} , как раз и оказывается пропорциональна $\sqrt{\Delta t}$ ¹.

Случайный прирост импульса частицы можно интерпретировать как результат действия случайной силы, $f_{\text{сл}} = \Delta p_{\text{сл}} / \Delta t$. Величина этой силы оказывается $\propto (1/\sqrt{\Delta t})$, т. е. формально ее следовало бы считать бесконечной при $\Delta t \rightarrow 0$. С одной стороны, как мы договорились, такой переход не предусмотрен, так что эта бесконечность нас не должна смущать. С другой стороны, равенство

$$\langle f_{\text{сл}}^2 \rangle = \frac{2\alpha T}{\Delta t}$$

вместе с условием $\langle f_{\text{сл}}(t_1) f_{\text{сл}}(t_2) \rangle = 0$ при $t_1 \neq t_2$ можно записать как

$$\langle f_{\text{сл}}(t_i) \cdot f_{\text{сл}}(t_j) \rangle = 2\alpha T \cdot \frac{\delta_{i,j}}{\Delta t}$$

¹Условия $N \gg 1$ и $\Delta t \ll \tau$ определяют интервал, в котором может лежать величина Δt : $(1/a^2 nV) \ll \Delta t \ll (m/m_0)(1/a^2 nV)$.

и, рассматривая Δt как бесконечно малую величину, представить это равенство в форме

$$\langle f_{\text{сл}}(t_1) f_{\text{сл}}(t_2) \rangle = 2\alpha T \delta(t_1 - t_2).$$

Действительно,

$$\sum_{j=j_1}^{j_2} \frac{\delta_{i,j}}{\Delta t} \Delta t = \int_{t_{j_1}}^{t_{j_2}} \delta(t) dt = 1,$$

если $0 \in (t_{j_1}, t_{j_2})$.

Теперь обсудим вопрос о случайных силах в жидкости или не слишком разреженном газе. Наши оценки будут подчеркнуто грубыми. Флуктуации давления, как мы знаем, являются результатом наложения множества нескоррелированных волн. На броуновскую частицу можно смотреть как на «пробник», выделяющий из их числа такие, длина волны которых близка к размеру частицы a . Только такие волны способны вызвать разность давлений на разных сторонах частицы, приводящую к изменению ее импульса. (Разумеется, это «пробник» гораздо менее избирательный, чем рассеиваемый свет.) Оценка количества колебаний в диапазоне $\lambda \sim a$, возбужденных одновременно в объеме $V \sim a^3$, дает $Vd^3k/(2\pi)^3 \sim a^3 k^3 \sim 1$ — число колебаний порядка единицы. Флуктуации давления происходят с периодом $t_0 \sim a/v_s$ (v_s — скорость звука) и передают импульс попеременно «вперед» и «назад», пока волна не затухнет. В итоге частица получает импульс $\Delta p_{\text{сл}} \sim a^2 \Delta P t_0$ за время $\Delta t \sim \tau_{\text{затухания}}$. Флуктуация давления оценивается как $(\Delta P)^2 = T\rho v_s^2/a^3$, а время затухания звуковой волны ¹ $\tau_{\text{затухания}} \sim \rho a^2/\eta$, откуда и получаем

$$\frac{\langle (\Delta p_{\text{сл}})^2 \rangle}{\Delta t} \sim \frac{(a^2 \Delta P t_0)^2}{\tau_{\text{затухания}}} \sim \eta a T.$$

Впрочем, эта же оценка приводит к условию $\Delta t \sim \tau$ вместо предполагавшегося $\Delta t \ll \tau$, так что здесь остается место для исследования.

Покажем еще, как можно весьма кратко получить формальный результат этого раздела, не касаясь «анатомии» входящей в него δ -функции

¹Время затухания звуковой волны можно оценить как отношение ее энергии в единице объема $\rho u^2/2$ к потере энергии на трение в том же объеме $\eta(\nabla \mathbf{u})^2$; $\nabla \mathbf{u} \sim u/\lambda$ и в итоге $\tau_{\text{затухания}} \sim \rho \lambda^2/\eta$. Для частицы размера ~ 10 мкм в воде ($\eta \approx 10^{-2}$ Г/с·см) получаем оценку $\tau_{\text{затухания}} \sim 0,1$ мс.

ции. Корреляционную функцию случайных сил легко выразить, используя уравнения движения, через корреляционную функцию скоростей:

$$\begin{aligned}\langle f_{\text{сл}}(t_1) f_{\text{сл}}(t_2) \rangle &= \left(m \frac{\partial}{\partial t_1} + \alpha \right) \left(m \frac{\partial}{\partial t_2} + \alpha \right) \varphi(t_1 - t_2) = \\ &= \alpha \tau T \left(\frac{\partial^2}{\partial t_1 \partial t_2} + \frac{1}{\tau} \frac{\partial}{\partial t_1} + \frac{1}{\tau} \frac{\partial}{\partial t_2} + \frac{1}{\tau^2} \right) \exp(-|t_1 - t_2|/\tau) = \\ &= \alpha T \exp(-|t_1 - t_2|/\tau) \frac{\partial}{\partial t_1} \text{sign}(t_1 - t_2) = 2\alpha T \delta(t_1 - t_2).\end{aligned}$$

Заметим, наконец, что в математике термин «теория броуновского движения» относится к случайному движению, для которого нижняя граница возможных значений Δt принята равной нулю. Функции $v(t)$, $f_{\text{сл}}(t)$ и т. п. оказываются в этой теории ни в одной точке не дифференцируемыми (в определенном в этой теории смысле), а корреляционные функции совпадают с находимыми нами.

12. Зависимость флюктуаций от времени

12.1. Флюктуации в электрических цепях

В качестве примера величин, флюктуации которых обычно наблюдаются, возьмем токи в электрических цепях. За счет случайного движения зарядов, происходящего вследствие взаимодействия электронов с атомами резистора, совершающими тепловое движение, в цепи возникает ток, имеющий случайные направления и величину, $i_{\text{сл}}$. Чаще всего о том же самом говорят, что в контуре возникает случайная ЭДС, $\mathcal{E}_{\text{сл}}$. Тепловые шумы в цепях необходимо учитывать при точных измерениях. Начнем с контура, содержащего только катушку индуктивности и резистор.

Уравнение движения для тока имеет вид, полностью подобный уравнению движения броуновской частицы.

$$L \frac{di}{dt} = -Ri + \mathcal{E}_{\text{сл}}.$$

Это система с одной степенью свободы, а средняя энергия теплового движения в индуктивности $Li^2/2 = T/2$. Очевидные замены позволяют сразу же выписать корреляционные функции случайного тока¹

$$\varphi(t_1 - t_2) = \langle i(t_1) i(t_2) \rangle = LT \exp(-|t_1 - t_2|/\tau) \quad \tau = L/R$$

¹Разумеется, реально усреднение проводится по времени.

и случайной ЭДС

$$\langle \mathcal{E}(t_1)_{\text{сл}} \mathcal{E}(t_2)_{\text{сл}} \rangle = 2RT\delta(t_1 - t_2).$$

В более сложных цепях следовало бы ввести для каждого сопротивления свою случайную ЭДС, которую следует считать независимой от остальных. Однако для решения подобных более или менее сложных задач удобнее метод, связанный с разложением Фурье (о нем — позже).

Такой же, как для цепей, подход оказывается справедлив и в очень общем случае. Пусть отклонение от равновесного значения какой-то величины, равное x , приводит к изменению энтропии на $\delta S = \frac{1}{2}\gamma x^2$. Тогда средний квадрат флуктуации $\langle x^2 \rangle = T/\gamma$. Будем считать флуктуацию x малой. Скорость изменения ее со временем в процессе релаксации зависит от x и обращается в нуль при $x = 0$. Сохраняя в разложении этой скорости по x лишь линейный член и вводя «случайную силу», получаем для релаксации x уравнение

$$\dot{x} = -\lambda x + f_{\text{сл}}.$$

Тогда можно утверждать, что

$$\langle f_{\text{сл}}(t_1) f_{\text{сл}}(t_2) \rangle = 2(T\lambda/\gamma)\delta(t_1 - t_2).$$

Можно обобщить этот вывод и на случай, когда флуктуирующая величина не является независимой от других. Мы не будем этим заниматься.

12.2. Спектральное разложение флуктуаций

Нередко в физических задачах, связанных с флуктуациями, фактически играют особую роль отдельные компоненты Фурье флуктуаций (вспомним хотя бы о рассеянии света). Существенно знание компонент Фурье для понимания явлений в средах с дисперсией, в электрических цепях. Посмотрим сначала, как можно было бы выделить определенную спектральную составляющую флуктуирующей величины. Обычный способ — организовать воздействие флуктуаций на прибор, восприимчивый к узкой области спектра. Будем представлять прибор гармоническим осциллятором с частотой ω , а исследуемую флуктуирующую величину x будем считать силой, действующей на этот осциллятор:

$$\ddot{X} + \omega^2 X = x(t).$$

Отсюда можно выразить $X(t)$, а затем энергию осциллятора. Как известно, удобно записать¹

$$\xi(t) = \dot{X} + i\omega X = e^{i\omega t} \int_0^t e^{-i\omega t_1} x(t_1) dt_1,$$

¹Мы полагаем начальную энергию осциллятора равной нулю.

откуда энергия, полученная осциллятором,

$$\epsilon(t) = \frac{1}{2} |\xi(t)|^2 = \frac{1}{2} \int_0^t dt_1 \int_0^t dt_2 e^{-i\omega(t_1-t_2)} x(t_1)x(t_2).$$

Средняя полученная энергия $\langle \epsilon(t) \rangle$ выражается через корреляционную функцию $\phi(t_1 - t_2) = \langle x(t_1)x(t_2) \rangle$:

$$\langle \epsilon(t) \rangle = \frac{1}{2} \int_0^t dt_1 \int_0^t dt_2 e^{-i\omega(t_1-t_2)} \phi(t_1 - t_2).$$

Вычисляя интеграл, введем переменную $t' = t_1 - t_2$ и заметим, что фактически в интеграл дает вклад лишь узкая полоса вблизи линии $t_1 = t_2$ (вспомним, как был вычислен средний квадрат смещения броуновской частицы)

$$\langle \epsilon(t) \rangle = \frac{1}{2} t \int_{-\infty}^{\infty} dt' e^{-i\omega t'} \phi(t').$$

(Результат действительный, так как $\phi(t)$ — функция четная.) Таким образом переданная в единицу времени на частоте ω энергия оказывается пропорциональна компоненте Фурье корреляционной функции. Разложение Фурье корреляционной функции определяет спектральный состав флуктуаций. Несложно было бы видоизменить этот расчет для осциллятора с трением,

$$\ddot{X} + 2\gamma \dot{X} + \omega^2 X = x(t), \quad (1)$$

и убедиться, что он возбуждается до уровня $\sim \epsilon/\gamma$.

Чтобы провести разложение Фурье флуктуирующей переменной $x(t)$, ограничим время наблюдения интервалом $-t_m < t < t_m$ (имея в виду, что t_m можно брать сколь угодно большим)¹.

$$x(t) = \int_{-\infty}^{\infty} x_{\omega} e^{-i\omega t} \frac{d\omega}{2\pi}; \quad x_{\omega} = \int_{-t_m}^{t_m} x(t) e^{i\omega t} dt.$$

¹Можно дать грубую оценку x_{ω} . При этом надо иметь в виду, что вклад в интеграл от интервала порядка времени корреляции τ имеет порядок $x(t)/\omega$ (или $x(t)\tau$ — для частоты, близкой к частоте $x(t)$), а вклады от разных интервалов такой длины взаимно некогерентны (фаза колебания за время τ полностью сбивается). Поэтому вклады от многих ($\sim 2t_m/\tau$) интервалов складываются, как при случайных блужданиях: $|x_{\omega}|^2 \sim (x(t)/\omega)^2 2t_m/\tau$.

Рассмотрим теперь среднее значение произведения компонент Фурье

$$\langle x_{\omega_1} x_{\omega_2} \rangle = \int_{-t_m}^{t_m} dt_1 \int_{-t_m}^{t_m} dt_2. \langle x(t_2) x(t_1) \rangle e^{i\omega_1 t_1 + i\omega_2 t_2}.$$

Воспользуемся, как мы это уже неоднократно делали, тем фактом, что реально вклад в интеграл дает не весь квадрат, на который распространяется интегрирование, а лишь неширокая полоса вблизи его диагонали $t_1 = t_2$, и введем вместо t_2 переменную $t' = t_1 - t_2$:

$$\langle x_{\omega_1} x_{\omega_2} \rangle = \int_{-t_m}^{t_m} dt_1 e^{-i(\omega_1 + \omega_2)t_1} \int_{-\infty}^{\infty} dt' \phi(t') e^{-i\omega_2 t'}.$$

Теперь можно перейти формально к пределу $t_m \rightarrow \infty$

$$\langle x_{\omega_1} x_{\omega_2} \rangle = 2\pi\delta(\omega_1 + \omega_2)(x^2)_\omega,$$

где для компоненты Фурье корреляционной функции введено обозначение

$$(x^2)_\omega = \int_{-\infty}^{\infty} dt \phi(t) e^{i\omega t}.$$

Из вывода видно, что появление δ -функции связано просто с переходом к интегрированию по бесконечному интервалу времени, средний квадрат компоненты Фурье должен быть пропорционален этому интервалу. Величина же $(x^2)_\omega$ определяет спектральный состав флуктуаций.

Обратное преобразование Фурье:

$$\phi(t) = \int_{-\infty}^{\infty} (x^2)_\omega e^{-i\omega t} \frac{d\omega}{2\pi} = \frac{1}{\pi} \int_0^{\infty} (x^2)_\omega e^{-i\omega t} d\omega.$$

Связь спектра «шума» с корреляционной функцией называется теоремой Винера – Хинчина¹.

¹Не следует удивляться довольно громкому названию. В математической теории броуновского движения, о которой шла речь в конце раздела 11.2, корректное определение рассматриваемых величин и доказательство этих соотношений требует некоторых усилий.

Для рассматривавшихся ранее случайной силы и случайной ЭДС (их иногда называют дельта-коррелированными) получаем

$$(f^2)_\omega = 2\alpha T; \quad (\mathcal{E}^2)_\omega = 2RT.$$

Такой спектр (постоянный для всех частот) называют белым шумом. Последнее равенство называется формулой Найквиста.

Шумы играют первостепенную роль при измерениях, ограничивая их возможную точность. Например, при измерении амплитуды величины $x(t) = x_0 \cos \omega t$, описываемом уравнением

$$\ddot{X} + 2\gamma \dot{X} + \omega^2 X = x(t) + f_{\text{сл}}(t) \quad (2)$$

(т.е. при очень хорошей настройке по частоте) амплитуда «сигнала» $X_0 = x_0 / 2\gamma\omega$, средний квадрат амплитуды шума $\langle X_{\text{ш}}^2 \rangle = T/\omega^2$, так что отношение мощностей «сигнал к шуму» $X_0^2 / \langle X_{\text{ш}}^2 \rangle = x_0^2 / 4\gamma^2 T$. При очень низких температурах существенны нулевые колебания осциллятора и следует заменить T на $\frac{\hbar\omega}{2} \operatorname{cth} \frac{\hbar\omega}{2T}$.

Интересно в связи с этим рассмотреть решение задачи о смещении атома в процессе колебаний твердого тела (см. задачу к разд. 7.9). Выражение (7) дает оценку точности, с которой может быть определено положение границы твердого тела. В то же время на много порядков меньшая величина (6) показывает границу точности, с какой могла бы быть измерена амплитуда колебаний этой границы со строго определенной частотой. (Мы не касаемся вопроса, насколько реально приблизиться к этой границе в каком-то эксперименте.) Эта граница оказывается во много раз меньше размера атома.

Есть много способов увеличивать точность измерений, этот вопрос выходит за пределы нашего курса.

12.3. Пример применения формулы Найквиста

Покажем, как можно находить тепловые шумы в сложных цепях, выбрав однако простой пример. Найдем корреляцию флуктуаций заряда конденсатора, замкнутого на сопротивление (RC -контур).

В контур следует включить шумовую ЭДС \mathcal{E}_ω , после чего можно найти ток $I_\omega = \mathcal{E}_\omega / Z(\omega)$, где импеданс цепи $Z(\omega) = R + 1/(i\omega C)$. Заряд конденсатора связан с током условием $I = \dot{q}$, $q_\omega = I_\omega / (-i\omega)$, так что

$$q_\omega = -\frac{C\mathcal{E}_\omega}{1 + i\omega RC}.$$

В равенстве

$$\langle q_\omega q'_\omega \rangle = \frac{\langle \mathcal{E}_\omega \mathcal{E}'_\omega \rangle \omega \omega' C^2}{(1 + i\omega RC)(1 + i\omega' RC)}$$

заменим

$$\begin{aligned} \langle q_\omega q'_\omega \rangle &\rightarrow 2\pi\delta(\omega + \omega')(q^2)_\omega, \\ \langle \mathcal{E}_\omega \mathcal{E}'_\omega \rangle &\rightarrow 2\pi\delta(\omega + \omega')(\mathcal{E}^2)_\omega = 2\pi\delta(\omega + \omega')2RT \end{aligned}$$

и отбросим общий множитель $2\pi\delta(\omega + \omega')$, положив $\omega' = -\omega$. После этого корреляционная функция находится с помощью обратного преобразования Фурье:

$$\langle q(t')q(t' + t) \rangle = 2RTC^2 \int_{-\infty}^{\infty} \frac{e^{i\omega t} d\omega}{2\pi(1 + i\omega RC)(1 - i\omega RC)}.$$

При $t > 0$ интеграл удобно вычислить, замыкая контур в комплексной плоскости ω полуокружностью бесконечно большого радиуса, лежащей в верхней полуплоскости. Интеграл по этой полуокружности обращается в нуль, так что корреляционная функция равна вычету в точке $\omega = i/RC$:

$$\langle q(t')q(t' + t) \rangle = 2RTC^2 2\pi i e^{-t/RC} / (2\pi i 2/RC) = CT e^{-|t|/RC}.$$

При $t < 0$ контур следовало бы замыкать в нижней полуплоскости. Итак,

$$\langle q(t')q(t' + t) \rangle = CT e^{-|t|/RC}$$

— ответ почти очевидный (учитывая, что $\langle q^2 \rangle / (2C) = T/2$).

Реально спектр шума резистора не является бесконечным, как получалось в расчете. Ограничения могут возникать либо по квантовым причинам, либо — что более реально — из-за паразитных емкостей и т. п.

Несложно также разобраться с корреляцией флуктуаций нескольких разных величин.

Задача.

Электрическая цепь составлена из соединенных последовательно (кольцом) сопротивлений R , R_1 , R_2 и индуктивности L . Сопротивления R_1 и R_2 поддерживаются при температурах T_1 и T_2 . Найти равновесную температуру сопротивления R , приняв, что обмен энергией между элементами цепи обусловлен только флуктуациями тока.

ЧАСТЬ 2

Элементы физической кинетики

Мы будем заниматься только отдельными вопросами физики газов и физики твердого тела, стремясь скорее проиллюстрировать используемый математический аппарат, чем выяснить все существенные особенности явлений. Физическая кинетика — область физики более обширная и разнообразная, чем статистическая физика, как по задачам, так и по методам их решения.

13. Уравнение диффузии

Можно описывать движение броуновских частиц не с помощью уравнений движения типичной частицы, а с помощью функции распределения. Такой подход удобен и во многих других задачах. Мы продемонстрируем его на простом примере случайных блужданий.

Будем рассматривать только движение вдоль оси x . Выбираем интервал времени Δt малым, но все-таки гораздо большим, чем при изучении корреляционных функций, в частности, будем считать, что $\Delta t \gg \tau$, так что $\langle (\Delta x)^2 \rangle \propto \Delta t$. Кроме того, возможно и регулярное смещение частицы (скажем, в поле тяжести). Выбранная величина Δt достаточно велика, чтобы скорость успела установиться, поэтому $\langle \Delta x \rangle \propto \Delta t^1$.

Пусть вероятность смещения частицы за время Δt из точки x на расстояние Δx задается функцией $w(\Delta x, x)$. Это функция, не малая лишь в узком интервале значений Δx и плавно изменяющаяся с изменением x^2 . Функция распределения по координатам в момент времени $t + \Delta t$ может быть выражена через $f(x, t)$:

$$f(x, t + \Delta t) = \int_{-\infty}^{\infty} f(x - \Delta x, t) w(\Delta x, x - \Delta x) d\Delta x. \quad (1)$$

¹Из уравнения $m\dot{v} = -\alpha v + f_{\text{случ}} + mg$ получаем для установившейся скорости $v_{\text{дрейф}} \sim mg/\alpha = gt$, так что $\langle \Delta x \rangle \sim gt\Delta t$.

²В практикуме «Моделирование» мы задавали $\Delta x = (2*\text{random}-1)*h$, т. е. принимали $w = 1/2h$ при $\Delta x \in (-h, h)$. Функция же распределения (после нескольких первых шагов Δt) распространялась на область $(-x_m, x_m)$ с $x_m \sim 10h$.

Считая, что зависимость функции распределения от координат и времени достаточно плавная, сделаем разложение по Δt и Δx (там, где это можно):

$$f(x, t + \Delta t) = f(x, t) + \frac{\partial f(x, t)}{\partial t} \Delta t, \quad (2)$$

$$f(x - \Delta x, t)w(\Delta x, x - \Delta x) = \quad (3)$$

$$= f(x, t)w(\Delta x, x) - \Delta x \frac{\partial}{\partial x} (f(x, t)w(\Delta x, x)) + \frac{1}{2} (\Delta x)^2 \frac{\partial^2}{\partial x^2} (f(x, t)w(\Delta x, x)).$$

После подстановки (2), (3) в (1) получаем, что интегрирование по Δx можно проводить независимо от вида функции распределения:

$$\frac{\partial f(x, t)}{\partial t} = -\frac{\partial}{\partial x} (Af(x, t)) + \frac{\partial^2}{\partial x^2} (Bf(x, t)), \quad (4)$$

где

$$A = \frac{\langle \Delta x \rangle}{\Delta t}, \quad B = \frac{\langle (\Delta x)^2 \rangle}{2\Delta t},$$

$$\langle \Delta x \rangle = \int_{-\infty}^{\infty} (\Delta x) w(\Delta x, x) d\Delta x, \quad \langle (\Delta x)^2 \rangle = \int_{-\infty}^{\infty} (\Delta x)^2 w(\Delta x, x) d\Delta x.$$

Величина B представляет собой коэффициент диффузии и для броуновского движения совпадает с найденной ранее величиной $D/3$. Уравнение (4) можно представить также в виде уравнения непрерывности

$$\frac{\partial f(x, t)}{\partial t} + \frac{\partial j(x, t)}{\partial x} = 0,$$

где

$$j = (A - \frac{\partial B}{\partial x})f - B \frac{\partial f}{\partial x}$$

— плотность потока частиц. Полученное уравнение — это уравнение диффузии. Очевидным образом вывод обобщается на трехмерный случай.

Нередко встречаются случаи, когда подобное же уравнение можно получить для распределения в импульсном пространстве. В частности, это относится и к движению броуновских частиц. Относится это и к рассеянию заряженных частиц, происходящему преимущественно на малые углы. Применительно к движению в импульсном пространстве такое уравнение называют обычно уравнением Фоккера — Планка.

Задачи.

1. Выразить коэффициенты A и B для случайных блужданий, изучавшихся в практикуме «Моделирование» (описанных в этом разделе в сноске) (полагая $\Delta t = 1$ и $\langle \Delta x \rangle = -b$).
2. Пусть при $x = 0$ установлена непроницаемая стенка, а величины A и B постоянные. Найти установившееся распределение $f(x)$ (для $x > 0$).
3. Хорошо сколлимированный электронный пучок радиуса 1 мм выпускают в воздух. Энергия электронов 5 МэВ. Оценить поперечный размер пучка на расстоянии 1 м.

14. Кинетическое уравнение

Далее будем рассматривать классические объекты, т. е. описывать частицы координатой и импульсом (для электрона в металле — координатой и квазимпульсом).

Удобно использовать канонические переменные. Если частицы не взаимодействуют друг с другом, то в процессе движения некоторой группы частиц с близкими значениями координат и импульсов, согласно теореме Лиувилля, сохраняется занимаемый этой группой частиц объем в фазовом пространстве. Следовательно, сохраняется концентрация частиц при движении вдоль траектории в фазовом пространстве $f(\mathbf{r}(t), \mathbf{p}(t), t)$. Для этой функции (далее — *функции распределения*) выполняется уравнение $\frac{df}{dt} = 0$. Подробнее,

$$\frac{\partial f}{\partial t} + \frac{\partial f}{\partial \mathbf{r}} \frac{d\mathbf{r}}{dt} + \frac{\partial f}{\partial \mathbf{p}} \frac{d\mathbf{p}}{dt} = 0,$$

или

$$\frac{\partial f}{\partial t} + \mathbf{v} \frac{\partial f}{\partial \mathbf{r}} + \mathbf{F} \frac{\partial f}{\partial \mathbf{p}} = 0,$$

где \mathbf{v} — скорость частицы, а \mathbf{F} — действующая на нее сила. Через функцию распределения можно выразить концентрацию частиц, плотность их потока и другие величины¹.

$$n(\mathbf{r}, t) = \int f(\mathbf{r}, \mathbf{p}, t) d^3 p, \quad \mathbf{j}(\mathbf{r}, t) = \int \mathbf{v} f(\mathbf{r}, \mathbf{p}, t) d^3 p. \quad (1)$$

¹Нам понадобятся далее, в частности, плотность газа $\rho(\mathbf{r}, t) = mn$, его средняя скорость в данной точке $\mathbf{V}(\mathbf{r}, t) = \mathbf{j}/n$ (здесь m — масса частицы).

(Наша функция распределения нормирована так, что $\int f(\mathbf{r}, \mathbf{p}, t) d^3 p d^3 r = N$.)

Подчеркнем, что, вводя функцию распределения, мы подразумевали, что элемент объема в фазовом пространстве $d^3 p dV$ достаточно велик, чтобы в нем находилось много частиц, так что функция распределения оказывается относительно гладкой функцией своих переменных. (Напомним, что понятие «физически бесконечно малого» объема знакомо нам, например, по задачам электродинамики сплошных сред; правда, там это был объем в обычном пространстве.) Подобным же образом элемент времени dt в определенном смысле тоже достаточно велик.

Рассмотрим вопрос о взаимодействии частиц друг с другом. При этом важно, каковы силы взаимодействия между ними — короткодействующие (молекулярные) или дальнодействующие (кулоновские).

Для первого случая надо рассматривать соударения, которые происходят обычно на малых расстояниях, т. е. для рассматриваемых объемов dV и интервалов времени dt — просто в точке и мгновенно. Поэтому частица может мгновенно попадать в элемент фазового объема или покидать его. Кинетическое уравнение приобретает вид

$$\frac{\partial f}{\partial t} + \mathbf{v} \frac{\partial f}{\partial \mathbf{r}} + \mathbf{F} \frac{\partial f}{\partial \mathbf{p}} = I,$$

где I — так называемый *интеграл столкновений*, обязанный существованием близким парным столкновениям.

Кинетическое уравнение было получено и исследовано Л. Больцманом.

Для дальнодействующих сил нужно учитывать одновременное взаимодействие со многими частицами.

В любом случае учет взаимодействия будет приближенным.

В том случае, когда взаимодействие частиц друг с другом можно не учитывать, $I = 0$, решение кинетического уравнения имеет вид

$$f(\mathbf{r}, \mathbf{v}, t) = f_0(\mathbf{r} - \mathbf{r}_0(t), \mathbf{v} - \mathbf{v}_0(t)),$$

где

$$f_0(\mathbf{r}, \mathbf{v}) = f(\mathbf{r}, \mathbf{v}, t)|_{t=0},$$

а $\mathbf{r}_0(t)$ — закон движения частицы в поле сил \mathbf{F} , $\mathbf{v}_0(t) = \dot{\mathbf{r}}_0(t)$.

Задача.

На ускорителях со встречными пучками сгустки частиц фокусируются в *точке встречи* (рис. 21). Примем, что при $z = 0$ распределения частиц каждого из пучков по поперечным координатам x, y и

по углам отклонения θ_x, θ_y скорости от оси z гауссова:

$$f(x, y, \theta_x, \theta_y) = \frac{N}{\pi^2 \sigma_x \sigma_y \Delta_x \Delta_y} \exp \left(-\frac{x^2}{2\sigma_x^2} - \frac{y^2}{2\sigma_y^2} - \frac{\theta_x^2}{2\Delta_x^2} - \frac{\theta_y^2}{2\Delta_y^2} \right),$$

где N — число частиц на единицу длины пучка. Будем считать пучки неограниченными и однородными в направлении оси z . Можно принять также, что скорость частиц равна c , а существенные в задаче углы θ_x, θ_y малы, так что $v_z \approx c$.

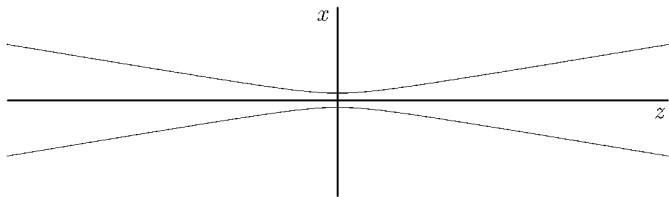


Рис. 21. Форма пучков частиц вблизи области столкновения.

Найти функцию распределения при $z \neq 0$, концентрацию частиц пучка $n(x, y, z)$. Найти число соударений частиц встречных пучков на участке dz за время dt , если сечение соударения равно σ_{int} . (Это сечение достаточно мало, чтобы не влиять на концентрацию частиц в пучках.)

Взаимодействием частиц в пучках друг с другом можно пренебречь.

Решение.

Зависимость от времени функции распределения при свободном движении частиц: $f(\mathbf{r}, \mathbf{v}, t) = F(\mathbf{r} - \mathbf{v}t, \mathbf{v}) = F_1(x - c\theta_x t, y - c\theta_y t, z - ct, \theta_x, \theta_y)$. В нашем случае зависимости от времени нет. Это возможно, если функция F_1 зависит от своих аргументов через линейные комбинации

$$x - c\theta_x t - \theta_x(z - ct) = x - \theta_x z, \quad y - c\theta_y t - \theta_y(z - ct) = y - \theta_y z.$$

Учитывая вид функции распределения при $z = 0$, получаем

$$f(x, y, z, \theta_x, \theta_y) = \frac{N}{\pi^2 \sigma_x \sigma_y \Delta_x \Delta_y} \exp \left(-\frac{(x - \theta_x z)^2}{2\sigma_x^2} - \frac{(y - \theta_y z)^2}{2\sigma_y^2} - \frac{\theta_x^2}{2\Delta_x^2} - \frac{\theta_y^2}{2\Delta_y^2} \right).$$

Концентрация частиц в пучке

$$n(x, y, z) = \int f d\theta_x d\theta_y = \frac{N}{\pi^2 \tilde{\sigma}_x \tilde{\sigma}_y} \exp \left(-\frac{x^2}{2\tilde{\sigma}_x^2} - \frac{y^2}{2\tilde{\sigma}_y^2} \right),$$

где

$$\tilde{\sigma}_x^2 = \sigma_x^2(1 + z^2/\beta_x^2), \quad \tilde{\sigma}_y^2 = \sigma_y^2(1 + z^2/\beta_y^2), \quad \beta_x = \sigma_x/\Delta_x, \quad \beta_y = \sigma_y/\Delta_y.$$

Число соударений на участке dz за время dt

$$d\nu = \sigma_{int} \cdot 2c \cdot dz dt \int n^2(x, y, z) dx dy = \frac{c N^2}{\pi \tilde{\sigma}_x \tilde{\sigma}_y} dz dt.$$

Разумеется, найденные распределения справедливы только на участке между фокусирующими пучки линзами, а сгустки частиц не бесконечны¹.

15. Колебания плазмы

15.1. Ленгмюровские колебания

Движение частиц в плазме очень подробно изучено. Это важный объект исследований, было и проводится множество экспериментальных работ. Более всего интересна горячая плазма, в которой парные взаимодействия частиц играют малую роль. Определяющую роль играют коллективные взаимодействия. Мы будем считать плазму полностью ионизированной.

Другой объект, к которому относится излагаемая теория, — электронная плазма в металлах (и, с минимальными изменениями, в полупроводниках).

Мы рассмотрим лишь один вид колебаний частиц в плазме (плазменные, они же — ленгмюровские). Это колебания, которые возникают, если в какой-то момент нарушена взаимная компенсация зарядов в пространстве. В этом случае в плазме появляются электрические поля, вызывающие движение частиц, в первую очередь — электронов.

Такие колебания знакомы из курсов электродинамики и физики сплошных сред. Мы учтем тепловой разброс скоростей электронов и увидим, что это приводит к некоторым качественно новым результатам.

¹ Для ускорителя ВЭПП-4М, например, $\sigma_x = 1$ мм, $\sigma_y = 0,03$ мм, $\beta_x = 75$ см, $\beta_y = 5$ см, длина сгустков частиц $\sigma_z = 5$ см, фокусные расстояния линз порядка нескольких метров. $N = (N_0 / \sqrt{\pi} \sigma_z) \exp(-(z \pm ct)^2 / 2\sigma_z^2)$.

Движением ионов, массы которых много больше массы электронов, пренебрегаем. Ионы образуют только неподвижный положительный «фон», компенсирующий плотность заряда электронов в состоянии равновесия.

Пренебрегаем парными соударениями ($I = 0$) и получаем уравнение, называемое в теории плазмы уравнением Власова:

$$\frac{\partial f}{\partial t} + \mathbf{v} \frac{\partial f}{\partial \mathbf{r}} + e \mathbf{E} \frac{\partial f}{\partial \mathbf{p}} = 0.$$

Электрическое поле определяется уравнением Maxwella

$$\operatorname{div} \mathbf{E} = 4\pi\rho.$$

Функцию распределения электронов можно представить в виде

$$f = f_0 + \delta f,$$

где f_0 — равновесная функция распределения. Если в выражение для ρ подставить равновесную функцию f_0 , то, с учетом заряда ионов, естественно, получим нуль. Значит, $\rho = e \int \delta f d^3 p$. Разумеется, это среднее значение плотности. Подставляя его в уравнение Maxwella, мы фактически отказываемся от исследования явлений в очень мелком масштабе, подразумевается, что в «физически бесконечно малом» объеме фазового пространства содержится много частиц.

Подобный способ учета взаимодействия частиц, называемый методом самосогласованного поля, уже встречался нам при определении поправок к термодинамическим величинам плазмы.

Мы рассматриваем малое отклонение от равновесия: δf и \mathbf{E} должны считаться малыми величинами, притом одного порядка малости. Произведем линеаризацию кинетического уравнения:

$$\frac{\partial \delta f}{\partial t} + \mathbf{v} \frac{\partial \delta f}{\partial \mathbf{r}} + e \mathbf{E} \frac{\partial f_0}{\partial \mathbf{p}} = 0.$$

В последнем слагаемом стоит f_0 , так как множитель \mathbf{E} — уже малая величина. Будем решать уравнение, полагая, что δf и \mathbf{E} разложены в интеграл Фурье по \mathbf{r} и t . Для отдельных компонент Фурье (значки ω и \mathbf{k} мы опускаем)

$$\mathbf{E}, \delta f \propto e^{i\mathbf{k}\mathbf{r} - i\omega t}, \quad \mathbf{E} \parallel \mathbf{k}.$$

Выберем ось x параллельную вектору \mathbf{k} . Тогда

$$-i(\omega - kv_x)\delta f + eE \frac{\partial f_0}{\partial p_x} = 0.$$

Уравнение Максвелла

$$ikE = 4\pi e \int \delta f d^3p.$$

Найдем

$$\delta f = -ieE \cdot \frac{\partial f_0}{\partial p_x} \cdot \frac{1}{\omega - kv_x}, \quad (1)$$

подставляем в уравнение Максвелла и сокращаем на E :

$$1 = -\frac{4\pi e^2}{k} \cdot \int \frac{\partial f_0}{\partial p_x} \cdot \frac{d^3p}{\omega - kv_x}. \quad (2)$$

Это уравнение называют дисперсионным. Оно определяет зависимость $\omega(k)$.

Можно сделать предположение, которое в дальнейшем оправдается, что частота и длина волны колебания велики, так что его фазовая скорость превышает тепловые скорости электронов: $\omega/k \gg v_T$. Тогда можно сделать разложение

$$\frac{1}{\omega - kv_x} = \frac{1}{\omega} \left(1 + \frac{kv_x}{\omega} + \left(\frac{kv_x}{\omega} \right)^2 + \left(\frac{kv_x}{\omega} \right)^3 + \dots \right). \quad (3)$$

Первое и третье слагаемое при подстановке в (2) дадут ноль. Второе слагаемое даст интеграл

$$\int p_x \frac{\partial f_0}{\partial p_x} dp_x dp_y dp_z = \int p_x f_0 \Big|_{p_x=-\infty}^{\infty} dp_y dp_z - \int f_0 d^3p = -n.$$

Четвертое — аналогично второму —

$$\int p_x^3 \frac{\partial f_0}{\partial p_x} d^3p = -3 \int f_x p_x^2 d^3p = -3n \langle p_x^2 \rangle = -n \langle p^2 \rangle.$$

В итоге

$$1 = \frac{4\pi ne^2}{m\omega^2} \left(1 + \frac{k^2 \langle v^2 \rangle}{\omega^2} \right).$$

Введем плазменную частоту

$$\omega_0^2 = \frac{4\pi n e^2}{m}.$$

Тогда

$$\omega^2 = \omega_0^2 + \frac{\omega_0^2}{\omega^2} k^2 \langle v^2 \rangle \approx \omega_0^2 + k^2 \langle v^2 \rangle,$$

где $k^2 \langle v^2 \rangle$ — малая поправка. Итак,

$$\omega = \omega_0 + \frac{k^2 \langle v^2 \rangle}{2\omega_0}.$$

Начальное возмущение в виде неоднородного распределения заряда колеблется с частотой ω_0 . Учет разброса скоростей частиц плазмы приводит к тому, что область возмущения смещается и расплывается (подобно волновому пакету частицы в нерелятивистской квантовой механике).

В плазме есть еще много других видов колебаний.

15.2. Затухание Ландау

Вернемся к дисперсионному соотношению. Под интегралом знаменатель обращается в нуль при $v_x = \omega/k$. Это равенство совпадает с условием черенковского излучения плазменных волн электроном. Но в данном случае могут происходить процессы, обратные черенковскому излучению, в результате которых энергия волны передается электронам.

Ландау действовал аккуратнее Власова, поставив задачу с начальными условиями. Сделав преобразование Лапласа по времени, он понял, как обращаться с полюсом. Мы приведем соображения, лишь поясняющие более строгий вывод Ландау. Будем считать, что поле (возмущение) возникло и постепенно нарастало со временем, т. е. $\delta f, E \rightarrow 0$ при $t \rightarrow -\infty$. Для этого заменим $\omega \rightarrow \omega + i\epsilon$, $\epsilon \rightarrow 0$. Вычисляя интеграл

$$\int_{-\infty}^{\infty} \frac{\partial f_0}{\partial p_x} \cdot \frac{dp_x}{\omega - \frac{k}{m} p_x + i\epsilon},$$

выделим лишь добавку, дающую качественно новый результат. Полюс лежит чуть выше оси p_x . Можно сместить его на ось, но при интегрировании нужно будет обходить полюс снизу. Это значит, что надо взять

полвывета в точке $v_x = \omega/k$:¹

$$-\pi i \frac{\partial f_0}{\partial p_x} \Big|_{p_x=m\omega/k} \cdot \frac{m}{k}.$$

Дисперсионное соотношение принимает вид

$$1 = \frac{\omega_0^2}{\omega^2} \left(1 + \frac{k^2 \langle v^2 \rangle}{\omega^2} \right) - \pi i \frac{4\pi e^2}{k} \cdot \frac{m}{k} \frac{\partial f_0}{\partial p_x} \Big|_{p_x=m\omega/k}.$$

Вплоть до этого места можно было не делать различий между ионизированным газом и плазмой в металле. Для максвелловского распределения $\frac{\partial f_0}{\partial p_x} = -\frac{f_0 p_x}{mT}$. В этом случае получим

$$-\frac{m}{k} \pi i \frac{\partial f_0}{\partial p_x} \Big|_{p_x=m\omega/k} = \frac{\pi i p_x}{kT} f_0 \Big|_{p_x=m\omega/k}.$$

$$1 = \frac{\omega_0^2}{\omega^2} \left(1 + \frac{k^2 \langle v^2 \rangle}{\omega^2} \right) - \pi i \frac{4\pi e^2}{k} \cdot \frac{m\omega n}{\sqrt{2\pi m T k T k}} \exp\left(-\frac{p_x^2}{2mT}\right) \Big|_{p_x=m\omega/k}.$$

Здесь проинтегрировали по p_y и p_z и, в силу нормировки, получили единицу, остается вычислить интеграл по p_x . Преобразуем все вместе:

$$1 = \frac{\omega_0^2}{\omega^2} + \frac{k^2 \langle v^2 \rangle}{\omega_0^2} - \frac{\pi i}{Tk^3} \cdot \frac{4\pi n e^2}{\sqrt{2m\pi T}} m\omega \exp\left(-\frac{m^2\omega^2}{2mTk^2}\right).$$

Преобразуем показатель экспоненты:

$$\frac{m^2\omega^2}{2mTk^2} = \frac{m}{2Tk^2} \left(\omega_0^2 + 3k^2 \frac{T}{m} \right) = \frac{1}{2k^2 r_D^2} + \frac{3}{2};$$

$$\frac{\omega_0^2 m}{T} = \frac{4\pi n e^2}{T} = \frac{1}{r_D^2},$$

r_D — дебаевский радиус. В итоге

$$\begin{aligned} \omega^2 &= \omega_0^2 + k^2 \frac{T}{m} - \sqrt{\frac{\pi}{2}} \cdot \frac{\omega_0^2}{(kr_D)^3} \exp\left(-\frac{1}{2k^2 r_D^2} - \frac{3}{2}\right) \cdot i; \\ \omega &= \omega_0 + \frac{k^2 \langle v^2 \rangle}{2\omega_0} - i\gamma, \end{aligned}$$

¹Иначе говоря, мы используем здесь соотношение $\frac{1}{x+i0} = \mathcal{P} \frac{1}{x} - i\pi\delta(x)$.

где

$$\gamma = \frac{1}{2} \sqrt{\frac{\pi}{2}} \frac{\omega_0}{k^3 r_D^3} \cdot \exp\left(-\frac{1}{2k^2 r_D^2} - \frac{3}{2}\right).$$

Получившаяся малая добавка означает появление поглощения, называемого затуханием Ландау.

Картину взаимодействия электронов с волной удобно представить в системе отсчета, которая движется со скоростью волны ω/k . В этой системе электрическое поле волны представляет собой ряд потенциальных ям глубины $\phi_0 \sim E/k$. Большая часть электронов имеет в этой системе отсчета энергию большую глубины ям и движется, периодически ускоряясь и замедляясь. Те же электроны, для которых в лабораторной системе $v_x \approx \omega/k$, должны колебаться в потенциальных ямах с частотой $\Omega \sim \sqrt{\phi_0} \gg /m \sim \sqrt{kE/m}$. В лабораторной системе те электроны, которые слегка опережают волну, отражаются от убегающей от них «стенки», замедляются и передают волне энергию, а более медленные — отражаются от догоняющего их края потенциальной ямы и ускоряются. Более быстрых — меньше: $\frac{\partial f}{\partial p_x} < 0$. В такой картине подразумевается, что волна достаточно слабая, чтобы второе отражение не успело сыграть роль, как волна уже сильно затухнет¹, $\Omega \ll \gamma$.

Пусть сквозь плазму идет пучок электронов. Тогда на кривой $f(p_x)$ должен быть максимум, отвечающий скорости частиц пучка, и для некоторого интервала скоростей окажется $\frac{\partial f}{\partial p_x} > 0$; для некоторого интервала значений k вместо затухания появляется нарастание волн за счет энергии пучка. Это пример неустойчивости плазмы — явления, имеющего первостепенное значение для работ по управляемым термоядерным реакциям (как помеха). Это же явление может быть использовано для создания генератора колебаний (обычно — в твердотельной плазме) просто при прохождении по образцу достаточно сильного тока.

Рассмотренное явление является примером недиссилиативного поглощения волн. Пока соударения несущественны, затухание определяется «перекачкой» энергии от упорядоченного волнового движения к отдельным «резонансным» группам электронов. При этом некая упорядоченность тоже есть, так что эта энергия может снова проявиться в каких-то

¹Если это условие не выполнено, то затухание оказывается более медленным и даже могут происходить осцилляции интенсивности волны, если ускорившиеся было электроны отражаются то от одного края потенциальной ямы, то от другого — то замедляясь, то ускоряясь. Периоды колебаний электронов в потенциальной яме зависят от их энергий, поэтому происходит «перемешивание» фаз колебаний различных электронов, при большой амplitude волны осцилляции ее интенсивности исчезают. Колебания плазмы в таких условиях описываются так называемым квазилинейным приближением (развитым А.А.Веденовым, Е.П.Велиховым и Р.З. Сагдеевым).

колебаниях. Примером этого служит явление, называемое *плазменным эхом*. Пусть поток плазмы проходит через сеточку, на которую подано переменное напряжение. При этом плотность потока модулируется, но на некотором расстоянии «вниз» по потоку модуляция исчезает из-за затухания Ландау. Поместим еще ниже по потоку еще одну сеточку и вновь промодулируем плотность — с иной частотой. Эта модуляция тоже затухнет, но еще ниже, на определенном расстоянии «сами собой» возникнут колебания (а потом уж — совсем затухнут).

Явление нелинейного эха наблюдается в самых разных средах. Простой расчет явления нелинейного эха для максвелловского газа без столкновений можно найти, например, в книге [4, § 45].

Особенно широко применяется *спиновое эхо* в работах, связанных со спиновым парамагнитным резонансом. Разработаны сложные последовательности сигналов, позволяющие в конце концов весьма избирательно действовать на систему спинов (например, как бы «выключать» взаимодействие каких-то определенных магнитных моментов).

Задачи.

- Найти диэлектрическую проницаемость плазмы $\varepsilon(\omega, \mathbf{k})$ при $\omega \gg kv_T$ при условии $k\langle v \rangle \ll \omega$.

Решение.

Пусть плазма находится в электрическом поле $\mathbf{E} \propto e^{i\mathbf{k}\mathbf{r}-i\omega t}$. Мы найдем добавку к функции распределения электронов, затем — плотность тока $\mathbf{j} = e \int \mathbf{v} \delta f d^3 p$, выразим проводимость и, наконец, воспользуемся соотношением

$$\varepsilon = 1 + 4\pi\sigma i/\omega. \quad (4)$$

Начнем со случая, когда электрическое поле параллельно \mathbf{k} (и параллельно тому же направлению выбрана ось x). Используя (1) и (3), получаем

$$\begin{aligned} j \equiv j_z &= \frac{-ieE}{\omega} \int v_x \frac{\partial f_0}{\partial p_x} \left(1 + \frac{kv_x}{\omega} + \left(\frac{kv_x}{\omega} \right)^2 + \dots \right) d^3 p = \\ &= \frac{ine^2}{m} \left(1 + \frac{k^2 \langle v^2 \rangle}{\omega^2} \right) E = \sigma_l E. \\ \varepsilon_l &= 1 - \frac{\omega_0^2}{\omega^2} \left(1 + \frac{k^2 \langle v^2 \rangle}{\omega^2} \right). \end{aligned}$$

Для распределения Максвелла $\langle v^2 \rangle = 3T/m$.

Для случая $\mathbf{E} \perp \mathbf{k}$ направим ось y вдоль \mathbf{E} . Тогда

$$j \equiv j_y = -ieE \int v_y \frac{\partial f_0}{\partial p_y} \frac{d^3 p}{\omega - kv_x} = \frac{ieE}{m} \int \frac{f_0 d^3 p}{\omega - kv_x} = \sigma_t E. \quad (5)$$

Используя (3) и (4), получаем

$$\varepsilon_t = 1 - \frac{\omega_0^2}{\omega^2} \left(1 + \frac{k^2 \langle v^2 \rangle}{\omega^2} \right).$$

Мы не выписываем здесь мнимую часть ε , обусловленную затуханием Ландау.

2. Найти статическую продольную диэлектрическую проницаемость плазмы (т. е. при условии $\omega = 0$).

Ответ: $\varepsilon(\mathbf{k}) = 1 + \varkappa^2/k^2$ совпадает с (4) из раздела 8.4.

3. При определенных условиях в плазме возможны колебания, в которых электроны и ионы движутся с почти одинаковыми амплитудами, так что электрическое поле, возникающее при смещении ионов, в очень большой мере экранируется электронами. Поэтому частота этих колебаний мала, $\omega \ll kv_e$. В то же время их фазовая скорость велика по сравнению со скоростью ионов¹: $v_i \ll \omega/k$. Такие колебания называют ионным звуком.

Найти закон дисперсии ионного звука.

4. Найти поперечную диэлектрическую проницаемость плазмы $\varepsilon_t(\omega, \mathbf{k})$ при условии $k\langle v \rangle \gg \omega$. Равновесное распределение электронов — распределение Ферми — Дирака.

16. Интеграл столкновений

Теперь рассмотрим случай, когда взаимодействие частиц происходит на малых расстояниях (т. е. происходят столкновения частиц). Мы будем использовать тот факт, что эти расстояния (радиус действия молекулярных сил) по порядку величины совпадают с размерами молекул,

¹Такие условия реализуются, например, в плазме, нагреваемой протекающим по ней током: передача энергии от легких частиц к тяжелым происходит очень медленно, поэтому газ электронов имеет температуру много большую, чем газ ионов.

т. е. очень малы по сравнению с расстояниями, на которых существенно изменяется функция распределения. Это позволяет выбрать «бесконечно малые» объем dV и интервал времени dt достаточно маленькими, чтобы изменение функции распределения в пределах этого объема и за это время можно было не учитывать, и в то же время достаточно большими, чтобы процесс столкновения частиц происходил полностью внутри объема dV и за время dt , так что изменения координат частиц при столкновении и время столкновения можно было бы не учитывать — в процессе столкновения изменяются только импульсы¹. Кинетическое уравнение:

$$\frac{\partial f}{\partial t} + \mathbf{v} \frac{\partial f}{\partial \mathbf{r}} + \mathbf{F} \frac{\partial f}{\partial \mathbf{p}} = I, \quad (1)$$

где I — интеграл столкновений частиц.

Будем описывать взаимодействие частиц сечением рассеяния. Спин, ориентацию частиц и изменение их внутреннего состояния учитывать не будем.

По отдельности следует рассмотреть приходящие в элемент фазового объема и уходящие из него частицы:

$$I_{\text{уход}}(\mathbf{p}) = \int w(\mathbf{p}, \mathbf{p}_1 \rightarrow \mathbf{p}', \mathbf{p}'_1) f(\mathbf{r}, \mathbf{p}, t) f(\mathbf{r}_1, \mathbf{p}_1, t) d^3 p_1 d^3 p' d^3 p'_1, \quad (2)$$

$$I_{\text{приход}}(\mathbf{p}) = \int w(\mathbf{p}', \mathbf{p}'_1 \rightarrow \mathbf{p}, \mathbf{p}_1) f(\mathbf{r}, \mathbf{p}', t) f(\mathbf{r}, \mathbf{p}'_1, t) d^3 p_1 d^3 p' d^3 p'_1. \quad (3)$$

В (1) следует подставить $I(\mathbf{p}) = I_{\text{приход}} - I_{\text{уход}}$.

Мы принимаем далее, что происходят только упругие столкновения. Входящие в интеграл столкновений вероятности могут быть выражены через сечение рассеяния:

$$w(\mathbf{p}, \mathbf{p}_1 \rightarrow \mathbf{p}', \mathbf{p}'_1) \propto$$

$$\propto \left(\frac{d\sigma}{d\Omega} \right) v_{\text{отн}} \delta(\mathbf{p} + \mathbf{p}_1 - \mathbf{p}' - \mathbf{p}'_1) \delta(\varepsilon(\mathbf{p}) + \varepsilon(\mathbf{p}_1) - \varepsilon(\mathbf{p}') - \varepsilon(\mathbf{p}'_1)). \quad (4)$$

Здесь $v_{\text{отн}} = |\mathbf{p}_1 - \mathbf{p}|/m$ — относительная скорость частиц. Интегрирование δ -функций превращает интегрирование по $d^3 p' d^3 p'_1$ в интегрирование по углам, определяющим направление рассеянных частиц, телесный угол отвечает направлению $\mathbf{v}_{\text{отн}}$. (В таком виде уравнение и было

¹Об этом уже говорилось в конце раздела 14.1.

написано Больцманом.) Однако нам удобнее сохранить симметричную форму записи. Заметим, что столкновения частиц представлены в кинетическом уравнении только сечением, сам же процесс столкновения может описываться квантовой механикой.

Для многих задач физики плазмы взаимодействие частиц учитывается с помощью самосогласованного поля, а парными столкновениями можно вообще пренебречь. Но есть задачи, где интеграл столкновений оказывается необходим. Например, в плазме, нагреваемой проходящим через нее током, температуры электронного и ионного газов оказываются различны, а выравнивание этих температур может быть обусловлено столкновениями частиц. В таких случаях взаимодействие заряженных частиц на дальних расстояниях учитывается с помощью среднего (самосогласованного) поля, а на близких — через сечение столкновений. Сечение столкновений заряженных частиц (резерфордовское сечение) очень сильно возрастает при малых углах рассеяния (больших прицельных параметрах), поэтому отдельные слагаемые в интеграле столкновений расходятся. Большая часть столкновений происходит на очень малые углы, т. е. с очень малым изменением импульса частиц и большими прицельными параметрами, при которых существенно становится дебаевское экранирование. Учитывая это, Ландау преобразовал интеграл столкновений к форме, где расходимости явно взаимно скомпенсированы. Идея и результат сходны с задачей о диффузии (но есть и различия — интеграл столкновений остается нелинейным по функциям распределения в отличие от слагаемых в уравнении Фоккера — Планка). Подробнее об этом можно прочесть в [2, 4].

Задачи.

1. Провести в (2)–(4) интегрирование по $d^3 p' d^3 p'_1$, «снимающее» дельта-функции. Удобно перейти к новым переменным — скорости центра масс пары сталкивающихся частиц и их относительной скорости.
2. Получить из кинетического уравнения вид равновесного распределения по скоростям в газе в отсутствие внешних полей.

Решение.

Очевидно, что искомое распределение должно быть пространственно однородным, функция распределения не зависит от t и \mathbf{r} . Поскольку также $\mathbf{F} = 0$, получаем $I = 0$. Распределение должно быть

изотропным, функция распределения может зависеть только от модуля \mathbf{p} , т. е. только от энергии. Условие $I = 0$ сводится к равенству $f(\varepsilon)f(\varepsilon_1) = f(\varepsilon')f(\varepsilon'_1)$ при условии $\varepsilon + \varepsilon_1 = \varepsilon' + \varepsilon'_1$, иначе говоря, $f(\varepsilon)f(\varepsilon_1) = F(E)$, где $E = \varepsilon + \varepsilon_1$. Записав это равенство в виде $\log f(\varepsilon) + \log f(E - \varepsilon) = \log F(E)$, продифференцируем его по ε :

$$\frac{f''(\varepsilon)}{f(\varepsilon)} - \frac{f'(\varepsilon_1)}{f(\varepsilon_1)} = 0.$$

Поскольку значения ε и ε_1 произвольны, это равенство означает, что $f'(\varepsilon)/f(\varepsilon) = -\beta$, где β — постоянная, не зависящая от ε . В итоге получаем

$$f(\varepsilon) = e^{\alpha - \beta\varepsilon},$$

т. е. распределение Максвелла.

17. Уравнения гидродинамики

Из кинетического уравнения можно получить уравнения гидродинамики, описывающие движение газа более грубо, без явного учета отличия скоростей молекул газа в каждой точке пространства от некоторой средней скорости.

Проинтегрируем обе части кинетического уравнения

$$\frac{\partial f}{\partial t} + \mathbf{v} \frac{\partial f}{\partial \mathbf{r}} + \mathbf{F} \frac{\partial f}{\partial \mathbf{p}} = I$$

по d^3p . Учтем при этом, что $\int \mathbf{F} \frac{\partial f}{\partial \mathbf{p}} d^3p = 0$, т. к. он сводится к интегралу по бесконечно удаленной поверхности в пространстве импульсов, где функция распределения обращается в нуль; $\int I(\mathbf{r}, \mathbf{p}, t) d^3p = 0$ (смысл последнего равенства в том, что число частиц при столкновении сохраняется). В итоге получаем

$$\frac{\partial n}{\partial t} + \frac{\partial \mathbf{j}}{\partial \mathbf{r}} = 0,$$

а после умножения на массу частицы —

$$\frac{\partial \rho}{\partial t} + \operatorname{div} \rho \mathbf{V} = 0,$$

уравнение непрерывности.

Если умножить обе части кинетического уравнения на компоненту импульса p_α , проинтегрировать по d^3p и учесть, что при каждом столкновении сохраняется суммарный импульс сталкивающихся частиц, $\int pI(\mathbf{r}, \mathbf{p}, t)d^3p = 0$, то получим уравнение

$$\frac{\partial}{\partial t} \rho V_\alpha + \frac{\partial \Pi_{\alpha\beta}}{\partial x_\beta} = 0. \quad (1)$$

Здесь

$$\Pi_{\alpha\beta} = \int p_\alpha v_\beta f d^3p \quad (2)$$

— тензор плотности потока импульса. Пусть средняя скорость газа равна нулю. Представим себе находящуюся в газе единичную площадку, перпендикулярную оси x_β . Тогда величину $\Pi_{\alpha\beta}$ можно понимать как α -ю компоненту силы, с которой газ, находящийся с одной стороны этой площадки, действует на нее. Если распределение по скоростям изотропно, то $\Pi_{\alpha\beta} = P\delta_{\alpha\beta}$, где P — давление газа. Если же средняя скорость \mathbf{V} отлична от нуля, $\mathbf{v} = \mathbf{V} + \mathbf{v}'$, но изменяется в пространстве очень плавно, то в системе отсчета, движущейся со скоростью \mathbf{V} , распределение по скоростям \mathbf{v}' можно считать равновесным, в частности, изотропным. Тогда $\Pi_{\alpha\beta} = P\delta_{\alpha\beta} + \rho V_\alpha V_\beta$, и уравнение (1) сводится к уравнению Эйлера:

$$\frac{\partial \mathbf{V}}{\partial t} + \left(\mathbf{V} \frac{\partial}{\partial \mathbf{r}} \right) \mathbf{V} = -\frac{1}{\rho} \text{grad } P.$$

Если характерное расстояние L , на котором средняя скорость заметно изменяется, не очень велико по сравнению с длиной свободного пробега l , то распределение по скоростям \mathbf{v}' оказывается анизотропным (т. к. в избранную нами точку попадают частицы из других точек, где средняя скорость иная). В случае, когда все-таки $L \gg l$, в тензор потока импульса добавляются вклады, пропорциональные $\frac{\partial V_\alpha}{\partial x_\beta}$ и $\frac{\partial V_\beta}{\partial x_\alpha}$, определяющие вязкость газа. С учетом этих вкладов из уравнения (1) можно получить уравнение Навье – Стокса.

Если же $L \sim l$, то переход к уравнениям гидродинамики невозможен. Например, для изучения строения фронта сильной ударной волны необходимо использовать не уравнения газовой динамики, а кинетическое уравнение.

В процессах, происходящих в плазме, обычно существенны электромагнитные волны с длиной волны, меньшей длины свободного пробега.

Поэтому для большинства задач теории плазмы удобно использовать кинетическое уравнение, а гидродинамическое приближение — не достаточно.

18. *H*-теорема Больцмана

Движение газа, удовлетворяющее кинетическому уравнению, приводит к возрастанию энтропии. Это утверждение традиционно называют *H*-теоремой Больцмана¹.

Теорема.

Энтропия газа

$$S = \int f(\mathbf{r}, \mathbf{p}, t) \ln \frac{e}{f(\mathbf{r}, \mathbf{p}, t)} d^3 r d^3 p$$

не убывает со временем.

Доказательство приведем для случая $\frac{\partial f}{\partial \mathbf{r}} = 0$ и $\mathbf{F} = 0$.

Составим производную функции S :

$$\frac{dS}{dt} = - \int \frac{\partial f}{\partial t} \ln f d^3 r d^3 p,$$

и подставим $\frac{\partial f}{\partial t} = I$ из кинетического уравнения

$$\frac{dS}{dt} = - \int I \ln f d^3 r d^3 p.$$

$$\frac{dS}{dt} = \int d^3 r d^3 p d^3 p_1 d^3 p' d^3 p'_1 \cdot w(\mathbf{p}, \mathbf{p}_1 \rightarrow \mathbf{p}', \mathbf{p}'_1) (f f_1 - f' f'_1) \ln f.$$

Заметим, что если поменять конечные и начальные частицы ролями, то должны получить ту же вероятность²:

$$w(\mathbf{p}, \mathbf{p}_1 \rightarrow \mathbf{p}', \mathbf{p}'_1) = w(\mathbf{p}', \mathbf{p}'_1 \rightarrow \mathbf{p}, \mathbf{p}_1).$$

Заметим также, что вероятность не изменится, если поменять частицы местами: $\mathbf{p} \rightleftharpoons \mathbf{p}_1$, $\mathbf{p}' \rightleftharpoons \mathbf{p}'_1$. Это означает просто перемену обозначений частиц. Если же сделать такую замену переменных в интеграле,

¹Он рассматривал функцию $H = \int f(\mathbf{r}, \mathbf{p}, t) \ln f(\mathbf{r}, \mathbf{p}, t) d^3 r d^3 p$, которая отличается от энтропии знаком и на константу; см.(5).

²Сечение, входящее в выражение w , при заданной величине относительной скорости зависит только от угла рассеяния — угла между векторами $\mathbf{p} - \mathbf{p}_1$ и $\mathbf{p}' - \mathbf{p}'_1$.

то изменение подынтегральной функции сводится к замене под знаком логарифма $\ln f \rightarrow \ln f_1$.

После замены (в исходном интеграле) $\mathbf{p} \rightleftharpoons \mathbf{p}'$, $\mathbf{p}_1 \rightleftharpoons \mathbf{p}'_1$ нужно будет поставить под знак логарифма f' вместо f и изменить знак подынтегрального выражения.

Наконец, замена (в исходном интеграле) $\mathbf{p} \rightleftharpoons \mathbf{p}'_1$, $\mathbf{p}_1 \rightleftharpoons \mathbf{p}'$ приведет к замене f под знаком логарифма на f'_1 и изменению знака подынтегрального выражения.

Таким образом, данное выражение можно представить четырьмя различными способами. Сложив и разделив на четыре, получим

$$\frac{dS}{dt} = \frac{1}{4} \int w \ln \frac{ff_1}{f'f'_1} (ff_1 - f'f'_1) d^3rd^3pd^3p_1d^3p'd^3p'_1 \geq 0,$$

так как $(x - y) \ln(x/y) \geq 0$.

Итак, $\frac{dS}{dt} \geq 0$. Для распределения Максвелла $ff_1 - f'f'_1 = 0$. Теорема доказана. Таким образом, уравнение Больцмана описывает необратимые процессы. Между тем, оно было получено из уравнений механики, обратимых по времени. Конечно, причина появления необратимости в использовании понятия вероятности рассеяния, подразумевающей молекулярный хаос.

Эта теорема вызвала бурную реакцию современников. Появились возражения. Чтобы понять их серьезность, надо иметь в виду, что многие физики (и химики) считали молекулы плодом фантазии, хотя и удобным инструментом для рассуждений. Некоторым основанием для этого был провал попыток найти «объяснение» уравнений электродинамики с помощью механических моделей. Поэтому возражения были направлены не просто против уравнения Больцмана — фактически речь шла о том, что у сторонников молекулярной теории концы с концами не сходятся. Наиболее серьезные возражения были связаны с *теоремой возврата* Пуанкаре и с обратимостью уравнений механики по времени.

Пуанкаре была доказана теорема, что любая механическая система, заданная гамильтонианом, не зависящим явно от времени, и совершающая финитное движение, рано или поздно приблизится как угодно близко к исходному состоянию.

Цермело заметил, что, согласно этой теореме, должны были бы происходить невиданные явления, скажем, все молекулы газа могли бы сами собой собраться в одной половине сосуда.

Больцман ответил: — Вам придется слишком долго ждать.

Мы оценивали (зад. 3 к разделу 2.1), что всего лишь появления в

объеме аудитории в хвосте максвелловского распределения молекулы с энергией больше 4 эВ придется ждать дольше возраста Вселенной.

*Лошмидт*¹ заметил, что состояние, в котором все молекулы имели бы строго противоположные скорости, столь же вероятно, как то, которого достиг газ. Поэтому при обращении всех скоростей процессы должны были бы идти в обратном направлении, и это столь же вероятно, как процессы с ростом энтропии.

Больцман ответил: — Обратите скорости. (Однако в формулировку утверждения о росте энтропии внес поправку: «Энтропия растет почти всегда».)

А вот это (обратить скорости) мы можем и пробовали — для компьютерного газа. И знаем, что движение все равно фактически необратимо. Задать начальное состояние абсолютно строго невозможно. Задается «капелька» в фазовом пространстве. В процессе движения, особенно при столкновениях, эта капелька в некоторых направлениях сильно вытягивается (сжимаясь в других — по теореме Лиувилля). Спустя время капелька превращается в «амебу», заполняющую большую область, причем между щупальцами находятся точки, пришедшие из других мест фазового пространства. Обратив скорости, мы снова задаем капельку, которая лежит теперь почти только на этих чужих точках, и выбранная в ее пределах точка «почти всегда» пойдет в другие области фазового пространства. Именно очень быстрый рост расстояния между первоначально близкими траекториями приводит к возникновению «молекулярного хаоса».

Таким образом, в полностью определенной динамической системе возникает хаотическое движение. Изучение связанных с этим вопросов представляет собой активно развивающую область на границе физики и математики.

Н. Н. Боголюбов предложил (а ряд последователей развили) способ получения уравнения Больцмана, позволяющий также получать в определенном смысле и «следующие приближения». Разумеется, построены также версии уравнения Больцмана для смеси газов, уравнения, учитывающие неупругие столкновения, возможное наличие у молекул момента импульса и т. п. (изложение метода Боголюбова можно найти, например, в книгах [2, 4, 10]).

Может возникнуть вопрос, как могут появляться в равновесном со-

¹Лошмидт был сторонником молекулярно-кинетической теории, он придумал один из первых способов определения числа Авогадро. Однако в существование молекул поверили лишь после опытов Перрена по броуновскому движению, полностью подтвердивших расчеты Эйнштейна и Смолуховского.

стоянии флуктуации, в частности, флуктуации энтропии, если энтропия может только возрастать, приближаясь к равновесному значению. Напомним в связи с этим, что входящая в уравнение Больцмана функция f — это функция распределения, усредненная по физически бесконечно малому объему. Ее значения (средние числа заполнения) тоже могут флуктуировать, а это в уравнении Больцмана не учтено.

19. Газ электронов в металле

19.1. Кинетическое уравнение. Проводимость

В современной теории металлов рассматривается движение электронов в периодическом потенциале, что приводит к сложной зависимости энергии от квазимпульса. При этом большая часть взаимодействия между электронами может быть отнесена к самосогласованному периодическому полю, а электроны рассматриваются как квазичастицы.

Мы будем рассматривать электроны как свободные частицы, для которых энергия $\varepsilon = p^2/2m^1$.

Будем считать, что электроны в металле упруго рассеиваются на примесях. При упругом рассеянии на примесях распределение по энергиям не меняется, а меняется только распределение по углам. Это значит, что процессов установления распределения Ферми мы не рассматриваем, считая, что они происходят гораздо медленнее, чем учитываемые нами. Тогда интеграл столкновений выглядит гораздо проще:

$$I_{\text{выход}} = \int w(\mathbf{p} \rightarrow \mathbf{p}') f(\mathbf{r}, \mathbf{p}, t) d^3 p',$$

$$I_{\text{приход}} = \int w(\mathbf{p}' \rightarrow \mathbf{p}) f(\mathbf{r}, \mathbf{p}', t) d^3 p'.$$

Вероятности $w(\mathbf{p} \rightarrow \mathbf{p}')$, $w(\mathbf{p}' \rightarrow \mathbf{p})$ содержат $\delta(\varepsilon(\mathbf{p}) - \varepsilon(\mathbf{p}'))$, так что фактически в интеграле остается только интегрирование по углам. Тогда уравнение

$$\frac{\partial f}{\partial t} + \mathbf{v} \frac{\partial f}{\partial \mathbf{r}} + \mathbf{F} \frac{\partial f}{\partial \mathbf{p}} = -n_0 \sigma v f + n_0 \int \left(\frac{d\sigma_t}{d^3 p'} \right)_{\mathbf{p}' \rightarrow \mathbf{p}} v' f(\mathbf{r}, \mathbf{p}', t) d^3 p' =$$

$$= -n_0 \sigma_t v f + n_0 \int \left(\frac{d\sigma}{d\Omega'} \right)_{\mathbf{p}' \rightarrow \mathbf{p}} v f(\mathbf{r}, \mathbf{p}', t) d\Omega'.$$

¹Главную роль в кинетических явлениях (как и в задачах статистической физики) играют электроны, энергия которых близка к энергии Ферми. Поверхность Ферми может очень отличаться от сферической и оказывается, как правило, совершенно различной для различных металлов. Многое из дальнейшего сохранится и при несферической поверхности Ферми, но мы этим вопросом заниматься не будем.

Здесь n_0 — концентрация примесей, σ_t — полное сечение упругого рассеяния электрона на примеси. Записывая интеграл столкновений, мы не учли принцип Паули, который должен запретить переходы в состояния, уже занятые. Покажем, что учет принципа Паули не изменит вида интеграла столкновений.

Введем ненадолго функцию распределения, нормированную, как в задачах о квантовых газах, т. е.

$$\tilde{f} = \langle N_{\mathbf{p}} \rangle = \frac{(2\pi\hbar)^3}{2N} f.$$

Тогда суммарный поток ($-$ уход + приход):

$$\begin{aligned} -w(\mathbf{p} \rightarrow \mathbf{p}')\tilde{f}(\mathbf{p})(1 - \tilde{f}(\mathbf{p}')) + w(\mathbf{p}' \rightarrow \mathbf{p})\tilde{f}(\mathbf{p}')(1 - \tilde{f}(\mathbf{p})) = \\ = w(\mathbf{p} \rightarrow \mathbf{p}') \cdot (\tilde{f}(\mathbf{p}') - \tilde{f}(\mathbf{p})), \end{aligned}$$

так как вероятности $w(\mathbf{p} \rightarrow \mathbf{p}')$ и $w(\mathbf{p}' \rightarrow \mathbf{p})$ равны. Таким образом, принцип Паули одинаково подавляет переходы туда и обратно и оказывается «вне игры»¹.

Определим ток, текущий в металле под действием постоянного однородного электрического поля, которое естественно считать слабым.

Будем рассматривать функцию распределения как и раньше: $f = f_0 + \delta f$. Интеграл столкновений представим в виде (τ -приближение)

$$I = -\frac{\delta f}{\tau}.$$

Интеграл ухода имеет как раз такой вид, а для интеграла прихода — это не очевидно (и выполняется не всегда). Тем не менее, и для интеграла прихода это впоследствии может оправдаться и оправдается именно в нашей задаче.

Решение задачи мы разделяем на два этапа: сначала выразим плотность тока в τ -приближении, а затем покажем справедливость этого приближения и выразим τ через сечение рассеяния.

Во многих других задачах даже первый этап такой программы дает важные результаты (а второй — наоборот, редко бывает успешен и эффективен).

¹ В случае, когда сечение рассеяния на примеси не допускает инверсии, оказывается $w(\mathbf{p} \rightarrow \mathbf{p}') \neq w(\mathbf{p}' \rightarrow \mathbf{p})$ и вопрос о роли принципа Паули должен рассматриваться заново.

Итак, пусть есть слабое электрическое поле вдоль оси x , а функция распределения не зависит ни от координат, ни от времени. Тогда сила $F_x = eE_x$. Уравнение

$$eE \frac{\partial f_0}{\partial p_x} = -\frac{\delta f}{\tau}$$

сразу же разрешается:

$$\delta f = -eE\tau \frac{\partial f_0}{\partial p_x}, \quad (1)$$

так что можно выразить плотность тока:

$$j_x = e \int \delta f v_x d^3 p = -e^2 E \tau \int v_x \frac{\partial f_0}{\partial p_x} d^3 p = \frac{e^2 E \tau}{m} \int f_0 d^3 p = \sigma E,$$

где

$$\sigma = \frac{ne^2\tau}{m}, \quad n = \int f_0 d^3 p,$$

τ — время релаксации, n — концентрация электронов, σ — проводимость.

Результат мгновенно обобщается на случай переменного поля: $\delta f, E \propto e^{-i\omega t}$. Тогда $\frac{\partial}{\partial t} \rightarrow -i\omega$. При этом в левой части уравнения появляется $-i\omega \delta f$, поэтому достаточно сделать замену $-\delta f/\tau \rightarrow -\delta f(1/\tau - i\omega)$, то есть $\tau \rightarrow \tau/(1 - i\omega\tau)$. Значит, в переменном поле проводимость

$$\sigma = \frac{ne^2\tau}{m(1 - i\omega\tau)}.$$

Далее, согласно (4) из раздела 15.2, выражаем диэлектрическую проницаемость, после чего можно получить выражение потерь, коэффициенты отражения для разных поляризаций и частот, толщину скин-слоя и т. п. — причем все выражается через один параметр τ , который к тому же входит в статическую проводимость. Для меди, например, такая совокупность формул справедлива до инфракрасного диапазона частот.

Перейдем ко второй части задачи.

Убедимся, что для рассеяния на примесях интеграл столкновений действительно можно представить в виде $I = -\delta f/\tau$. Интеграл столкновений можно записать так:

$$I = n_0 \int v \left(\frac{d\sigma}{d\Omega} \right)_{\mathbf{p}' \rightarrow \mathbf{p}} \delta f(\mathbf{p}') d\Omega' - n_0 \int v' \left(\frac{d\sigma}{d\Omega} \right)_{\mathbf{p} \rightarrow \mathbf{p}'} \delta f(\mathbf{p}) d\Omega';$$

здесь $p' = p$, $v' = v$, а дифференциальное сечение рассеяния зависит от угла между \mathbf{p} и \mathbf{p}' .

Во втором слагаемом ($I_{\text{уход}}$) величину $\delta f(\mathbf{p})$ можно вынести из-под знака интеграла. С первым слагаемым ($I_{\text{приход}}$) сложнее. Преобразуем его отдельно для конкретного вида δf (1):

$$-eE\tau n_0 v \int \left(\frac{d\sigma}{d\Omega} \right)_{\mathbf{p}' \rightarrow \mathbf{p}} v'_x \frac{\partial f_0}{\partial \varepsilon} d\Omega'.$$

Здесь зависимость от переменных интегрирования имеет вид

$$\int \frac{d\sigma}{d\Omega}(\theta) v'_x d\Omega'.$$

Разобьем вектор \mathbf{p}' на две составляющие — вдоль вектора \mathbf{p} и поперек:

$$\mathbf{p}' = \mathbf{p}'_{\parallel} + \mathbf{p}'_{\perp} = \mathbf{p} \cos \theta + \mathbf{p}'_{\perp}.$$

На время интегрирования выберем ось сферических координат вдоль вектора \mathbf{p} . Тогда $d\Omega' = \sin \theta d\phi d\theta$,

$$\mathbf{p}'_{\perp} = p \sin \theta (\cos \phi, \sin \phi, 0)$$

в этих временных координатах. Зависимы от ϕ только компоненты \mathbf{p}'_{\perp} , и при интегрировании по этому углу они дают ноль. Поэтому в интеграле после интегрирования по ϕ остается только слагаемое $\mathbf{p}'_{\parallel} = \mathbf{p} \cos \theta$. Возвращаясь к исходной системе координат (связанной с направлением электрического поля), получаем

$$I_{\text{приход}} = -eE\tau n_0 v \frac{\partial f_0}{\partial \varepsilon} \int v_x \cos \theta \frac{d\sigma}{d\Omega} d\Omega' = \delta f(\mathbf{p}) v n_0 \int \frac{d\sigma}{d\Omega} \cos \theta d\Omega'.$$

Итак,

$$\frac{1}{\tau} = n_0 \cdot v \int \frac{d\sigma}{d\Omega} (1 - \cos \theta) d\Omega = n_0 \cdot v \sigma_{tr},$$

где σ_{tr} — транспортное сечение; множитель $(1 - \cos \theta)$ приводит к подавлению вклада рассеяния на малые углы (которое мало меняет ток) и подчеркивает вклад рассеяния на большие углы (сильно ослабляющего ток). Если примеси заряженные (кулоновские центры), то вычисление $\sigma_{tr} \propto \int d\theta / \theta$ даст при малых углах логарифмическую расходимость. Результат окажется конечным, если учесть отличие поля примеси от кулоновского, обусловленное экранированием заряда.

Рассеяние электронов на примесях, которое мы рассматривали, играет главную роль при низких температурах (это так называемое остаточное сопротивление). При высоких — существенно рассеяние на фонах (на колебаниях решетки). Число фононов при высоких температурах пропорционально T , поэтому и сопротивление содержит слагаемое, пропорциональное T .

Задача.

По проводу, к которому приложено постоянное напряжение, течет ток. Как изменится ток, если поместить провод в постоянное магнитное поле, направленное поперек провода? Под каким углом к вектору плотности тока будет направлен в проводе вектор напряженности электрического поля? (Задача про эффект Холла.)

19.2. Теплопроводность электронного газа

Пусть в металле имеется градиент температуры, распределение температуры $T(x)$. Это следует понимать так, что в каждой «точке» есть свое, локальное равновесие и функция распределения — фермиевская, но с локальными значениями температуры. Кроме того, непременно есть отклонение функции распределения от равновесной за счет влияния «соседних» точек

$$f(\mathbf{r}, \mathbf{p}) = f_0 + \delta f,$$

причем f_0 зависит от энергии и температуры, а следовательно, и от x , через комбинацию $z = (\varepsilon - \mu)/T(x)$. Будем также полагать, что градиент температуры мал.

Исходное уравнение

$$\frac{\partial f}{\partial t} + \mathbf{v} \frac{\partial f}{\partial \mathbf{r}} + \mathbf{F} \frac{\partial f}{\partial \mathbf{p}} = -\frac{\delta f}{\tau}.$$

Поскольку f не зависит от времени и $\mathbf{F}=0$, в левой части уравнения остается лишь слагаемое $v_x \frac{\partial f}{\partial x}$.

Подставим в уравнение¹ $\frac{\partial f}{\partial x} = \frac{\partial f}{\partial T} \frac{\partial T}{\partial x} = -\frac{\partial f}{\partial \varepsilon} \frac{\varepsilon - \mu}{T} \frac{\partial T}{\partial x}$:

$$-v_x \cdot \frac{\partial f_0}{\partial \varepsilon} \cdot \frac{\varepsilon - \mu}{T} \cdot \frac{dT}{dx} = -\frac{\delta f}{\tau}.$$

¹ $\frac{\partial f}{\partial T} = -\frac{\partial f}{\partial z} \cdot \frac{\varepsilon - \mu}{T^2}$, $\frac{\partial f}{\partial \varepsilon} = \frac{\partial f}{\partial z} \cdot \frac{1}{T}$ и $\frac{\partial f}{\partial T} = -\frac{\partial f}{\partial \varepsilon} \frac{\varepsilon - \mu}{T}$.

Отсюда определяется δf^1 ; δf имеет такую же зависимость от углов, как и в задаче про проводимость. Значит, можно провести аналогичные преобразования, выразив ответ через транспортное сечение, так что τ – приближение в кинетическом уравнении и в задаче о теплопроводности можно считать вполне обоснованным.

Запишем плотность потока тепла²

$$q_x = \int v_x \delta f \cdot (\varepsilon - \mu) d^3 p = \frac{\tau}{T} \cdot \frac{dT}{dx} \int (\varepsilon - \mu)^2 \frac{\partial f_0}{\partial \varepsilon} v_x^2 d^3 p.$$

Легко видеть, что v_x^2 под интегралом можно заменить на $v^2/3$, после чего можно записать

$$q_x = \frac{2\tau}{3mT} \cdot \frac{dT}{dx} \int (\varepsilon - \mu)^2 \frac{\partial f_0}{\partial \varepsilon} \varepsilon d^3 p.$$

Здесь

$$d^3 p = \nu(\varepsilon) d\varepsilon, \quad \nu(\varepsilon) = A\sqrt{\varepsilon}, \quad A = \frac{3n}{2\mu^{3/2}}.$$

Мы пришли к интегралу вида

$$J = \int F(\varepsilon) \frac{\partial f_0}{\partial \varepsilon} d\varepsilon = - \int f_0 \frac{\partial F}{\partial \varepsilon} d\varepsilon$$

(учтено, что $F(0) = f_0(\infty) = 0$). Применяя формулу (1) из раздела 7.2, находим

$$J = -F(\mu) - \frac{\pi^2}{6} T^2 F''(\mu). \quad (2)$$

В нашем случае $F(\varepsilon) \propto (\varepsilon - \mu)^2 \varepsilon \nu(\varepsilon)$, поэтому вклад в интеграл даст лишь второе слагаемое, и притом оба дифференцирования должны

¹Мы не стали выписывать еще одно слагаемое

$$-\frac{\partial f}{\partial \varepsilon} \frac{\partial \mu}{\partial T} \frac{dT}{dx}.$$

В металле электронный газ вырожденный, поэтому величина $\frac{\partial \mu}{\partial T} \sim \frac{T}{\mu}$ очень мала (см. 7.4) и неучтенное слагаемое отличается от учтенного в тексте множителем $\sim \frac{T}{\mu} \ll 1$.

²Так как речь идет о переносимом тепле, надо учесть, что $\delta Q = TdS = dE - \mu dN = d(\varepsilon - \mu) dN$.

В процессе теплопроводности принимают участие электроны с энергиями, близкими к энергии Ферми, для которых $\epsilon = |\varepsilon - \mu| \ll \mu$. Происходит перенос квазичастиц с энергией ϵ . Как и в задаче о теплоемкости, мы проводим расчет в рамках картины частиц, отсчитывая энергию, переносимую электроном, от уровня Ферми.

быть применены к первому сомножителю. Итак,

$$q_x = -\frac{dT}{dx} \cdot \frac{2\tau}{3mT} \frac{\pi^2 T^2}{6} \nu(\mu) = -\frac{\pi^2 n T \tau}{3m} \frac{dT}{dx}.$$

Множитель при $-dT/dx$ и есть коэффициент теплопроводности $\kappa = \pi^2 n T \tau / 3m$.

Сравнивая коэффициент теплопроводности с проводимостью, получаем

$$\frac{\kappa}{\sigma} = \frac{\pi^2 T}{3e^2}.$$

Это соотношение, называемое законом Видемана–Франца.

Задачи.

1. Выразить поток тепла через скорости и энергии квазичастиц.
2. Выразить коэффициент затухания поперечного звука в металле, обусловленный вязкостью электронного газа, при условии, что длина волн звука много больше длины свободного пробега электронов ($kvt \ll 1$), причем главную роль в рассеянии электронов играют примеси.

Решение.

Направим ось x по волновому вектору \mathbf{k} звука, ось y — по направлению смещения \mathbf{u} вещества в звуковой волне. Примем, что $\mathbf{u} \propto \exp i(kx - \omega t)$. Уравнение, определяющее распространение звуковой волны,

$$\rho \left(\frac{\partial^2 u}{\partial t^2} - v_s^2 \frac{\partial^2 u}{\partial x^2} \right) = -\frac{\partial \Pi_{yx}}{\partial x}, \quad (3)$$

где Π_{yx} — компонента тензора плотности потока импульса, переносимого электронным газом (ср.(2)), v_s — скорость звука.

$$\Pi_{yx} = \int p_y v_x f d^3 p. \quad (4)$$

Будем считать, что состояние электронного газа близко к локально равновесному:

$$f = f_0(|\mathbf{v} - \dot{\mathbf{u}}(x, t)|) + \delta f. \quad (5)$$

Учитывая, что $\omega \ll kv \ll 1/\tau$, в левой части кинетического уравнения

$$\frac{\partial f}{\partial t} + v_x \frac{\partial f}{\partial x} = -\frac{\delta f}{\tau}$$

следует сохранить только вклад f_0 во втором члене, так что

$$v_x(i\kappa)(i\omega u) \frac{\partial f_0}{\partial v_y} = -\frac{\delta f}{\tau},$$

$$\Pi_{yx} = -k\omega\tau um \int v_x^2 v_y \frac{\partial f_0}{\partial v_y} d^3 p = k\omega\tau mnu \frac{v_0^2}{5}. \quad (6)$$

Из (3) получаем $\rho(\omega^2 - v_s^2 k^2)u = -ik\Pi_{yx}$, откуда¹

$$k = \frac{\omega}{v_s} + \frac{i\gamma}{2}, \quad \gamma = \frac{n m v_0^2 \omega^2 \tau}{5 \rho v_s^3} \sim \omega \tau k.$$

Величина γ характеризует потери энергии: $|u|^2 \propto \exp(-\gamma x)$.

3. Выразить τ в предыдущей задаче через сечение.

Ответ:

$$\frac{1}{\tau} = \frac{3}{2} n_0 v \int \frac{d\sigma}{d\Omega} \sin^2 \theta d\Omega.$$

19.3. Термоэлектрические эффекты

Пусть помимо градиента температуры есть и электрическое поле, параллельное оси x ; кинетическое уравнение приводится к виду

$$eEv_x \frac{\partial f_0}{\partial \varepsilon} - v_x \frac{\partial f_0}{\partial \varepsilon} \cdot \frac{\varepsilon - \mu}{T} \cdot \frac{dT}{dx} = -\frac{\delta f}{\tau},$$

откуда плотность потока тепла

$$q_x = \frac{\tau}{T} \cdot \frac{dT}{dx} \int (\varepsilon - \mu)^2 \frac{\partial f_0}{\partial \varepsilon} v_x^2 d^3 p - eE\tau \int (\varepsilon - \mu) v_x^2 \frac{\partial f_0}{\partial \varepsilon} d^3 p$$

и плотность тока

$$j_x = -e^2 E \tau \int v_x^2 \frac{\partial f_0}{\partial \varepsilon} d^3 p + \frac{\tau e}{T} \cdot \frac{dT}{dx} \int (\varepsilon - \mu) v^2 x \frac{\partial f_0}{\partial \varepsilon} d^3 p.$$

¹Мы не учитывали некоторые существенные для задач физики твердого тела обстоятельства, например, тот факт, что зависимость $\varepsilon(\mathbf{p})$ изменяется при деформации вещества.

Первые слагаемые в q_x и j_x нам уже известны (это $-\kappa \frac{dT}{dx}$ и σE), вторые — новые. Оба они выражаются через один и тот же интеграл. Вводя обозначение

$$\beta = e \int (\varepsilon - \mu) v_x^2 \tau \frac{\partial f_0}{\partial \varepsilon} d^3 p,$$

получаем

$$q_x = -\kappa \frac{dT}{dx} + \beta E, \quad (7)$$

$$j_x = \sigma E - \alpha \frac{dT}{dx}. \quad (8)$$

Здесь $\alpha = \beta/T$. Величина β легко выражается с помощью формулы (2):

$$\beta = \frac{2\pi^2 e T^2}{9m} \frac{\partial}{\partial \varepsilon} (\tau(\varepsilon) \varepsilon \nu(\varepsilon))|_{\varepsilon=\mu}.$$

Примем для упрощения записи, что τ не зависит от ε , и подставим ν :

$$\beta = \frac{\pi^2 n e T^2 \tau}{2 m \mu}.$$

В эксперименте по измерению теплопроводности образец не включают в замкнутую цепь. Пусть на концах образца температуры равны T_1 и T_2 , а ток равен нулю, $j_x = 0$. Тогда в образце, согласно уравнению (8), появляется электрическое поле

$$E = Q \frac{dT}{dx}, \quad Q = \frac{\alpha}{\sigma},$$

а для потока тепла из уравнения (7) получаем

$$q_x = - \left(\kappa - \frac{\beta^2}{T \sigma} \right) \frac{dT}{dx}.$$

Коэффициент при $-dT/dx$ и надо было бы называть коэффициентом теплопроводности. Впрочем,

$$\kappa \gg \frac{\beta^2}{T \sigma} \sim \kappa \frac{T^2}{\mu^2},$$

так что поправка к κ мала.

Однако появление электрического поля, обусловленного градиентом температуры, — новое явление. Чтобы наблюдать его, нужно сделать

замкнутую цепь из разных проводников; для каждого из них величина Q имеет свою величину, и поэтому по цепи пойдет ток. Это явление называется эффектом Зеебека, а величина Q — абсолютной дифференциальной термоэлектродвижущей силой.

Это явление используется, например, в термометрах на основе термопар. Его использовал капитан Немо для подзарядки аккумуляторов «Наутилуса».

Характерная величина термоэдс для металлов — $Q \sim 10^{-8}$ В/К. Для полупроводников характерная величина термоэлектродвижущей силы на два порядка выше.

В каком-то смысле обратное явление получается при пропускании тока по кольцу, спаянному из разных проводников; даже в случае, когда все кольцо находится в термостате, по проводникам пойдет поток тепла:

$$q = \Pi j, \quad \Pi = \beta / \sigma$$

(величины Π называются коэффициентами Пельтье). Ток по кольцу идет один и тот же, а коэффициенты Пельтье для разных веществ различны, в результате на спаях выделяется или поглощается тепло. Это явление называется эффектом Пельтье. Его иногда используют в холодильниках.

Равенство $\Pi = QT$ называют соотношением Кельвина.

Обсуждавшиеся эффекты были открыты и исследованы экспериментально. Есть еще много различных подобных эффектов и соотношений, и есть методы их теоретического исследования, относящиеся к неравновесной термодинамике.

20. Квантовое кинетическое уравнение

Пусть тело является частью некоторой большой замкнутой системы. Ее состояние может быть задано волновой функцией $\Psi(x, q)$, где x — координаты частиц тела, а q — координаты частиц окружающих тел. Само же по себе тело, взаимодействующее с окружающей средой, не имеет собственной волновой функции.

Функция

$$\rho(x_1, x_2, t) = \int dq \Psi(x_1, q) \Psi^*(x_2, q), \quad (1)$$

называемая *матрицей плотности*, содержит в себе информацию о состоянии тела, усредненную по состоянию среды. Например, $\rho(x, x, t)$ — распределение по координатам. Сделав преобразования Фурье по x_1 и x_2 , получим матрицу плотности в импульсном представлении, а тем самым и распределение по импульсам.

Как мы уже неоднократно принимали, будем считать, что взаимодействие со средой существенно лишь в пределах очень больших промежутков времени, а за рассматриваемые нами интервалы роли не играет. Тогда можно принять¹, что изменение состояния тела со временем определяется оператором Гамильтона \hat{H} , действующим только на координаты тела x .

С помощью уравнения Шредингера для функции $\Psi(x, q)$ из (1) получаем

$$\frac{d\rho(x_1, x_2, t)}{dt} = \frac{i}{\hbar} (\hat{H}_2 - \hat{H}_1) \rho(x_1, x_2, t), \quad (2)$$

где \hat{H}_1 — гамильтониан, действующий на координаты x_1 , а \hat{H}_2 — на координаты x_2 . Это уравнение движения для матрицы плотности.

Можно привести описание состояния тела к виду, очень похожему на классическое описание с помощью функции распределения, а уравнение движения — к виду, похожему на кинетическое уравнение. Для этого запишем матрицу плотности в *смешанном представлении* (ее называют также *квантовой функцией распределения*, *функцией Вигнера*):

$$f(x, p, t) = \int \rho \left(x - \frac{\hbar\xi}{2}, x + \frac{\hbar\xi}{2}, t \right) e^{ip\xi} \frac{d\xi}{2\pi}. \quad (3)$$

Обратный переход от функции Вигнера к матрице плотности:

$$\rho(x_1, x_2, t) = \int f \left(\frac{x_1 + x_2}{2}, p, t \right) e^{ip(x_1 - x_2)/\hbar} dp. \quad (4)$$

Из (4) видно, что распределение по координатам получается интегрированием $f(x, p, t)$ по импульсам: $f(x, t) = \rho(x, x, t) = \int f(x, p, t) dp$. Подставив в (3) матрицу плотности в импульсном представлении, легко получить, что распределение по импульсам $F(p, t) = \int f(x, p, t) dx$.

Функция $f(x, p, t)$ переходит в классическую функцию распределения лишь для квазиклассического движения частиц. Пусть в окрестности точки x_0 состояние частицы описывается волновой функцией $\psi(x) = a(x)e^{ik(x)x}$, где $a(x)$ и $k(x)$ — функции, заметно изменяющиеся лишь на расстоянии $l \gg 1/k(x_0)$. Очевидно, вероятность того, что частица находится вблизи точки x , равна $|a(x)|^2 dx$, а наиболее вероятное значение

¹Мы не будем заниматься формальным доказательством этого факта. Еще раз подчеркнем, что тело очень долго взаимодействовало со средой, так что переход к матрице плотности неизбежен, но в течение тех интервалов времени, которые мы рассматриваем, этим взаимодействием можно пренебречь.

импульса при этом близко к $\hbar k(x_0)$. Матрица плотности

$$\rho(x_0 - \hbar\xi/2, x_0 + \hbar\xi/2) \approx |a(x_0)|^2 e^{-i\hbar k(x_0)\xi}. \quad (5)$$

Переходя к функции Вигнера, получаем

$$f(x_0, p) \approx |a(x_0)|^2 \int_{-l}^l e^{i(\hbar k(x_0) - p)\xi} d\xi / 2\pi \approx |a(x_0)|^2 \tilde{\delta}(p - \hbar k(x_0)),$$

где $\tilde{\delta}(p - \hbar k(x_0))$ — функция, имеющая вблизи точки $p = \hbar k(x_0)$ максимум, причем тем более острый, чем больше участок $\sim 2l$, на котором $k(x)$ имеет почти постоянное значение $k(x_0)$. Таким образом, в этом случае функцию $f(x, p)$ можно интерпретировать как плотность вероятности того, что координата и импульс частицы приближенно определены одновременно и равны x и p .

В частном случае, когда состояние частицы описывается волновой функцией и притом гауссовым волновым пакетом

$$\psi(x) = \pi^{-1/4} a^{-1/2} \exp(-(x - x_0)^2 / 2a^2 + ip_0 x / \hbar),$$

функция Вигнера задает гауссово распределение в плоскости (x, p) с центром в точке (x_0, p_0) .

В случае, далеком от квазиклассического, функция $f(x, p)$ теряет сходство с классической функцией распределения, а для каких-то значений x и p может быть и отрицательной.

Мы запишем уравнение движения для случая, когда частицы движутся во внешнем поле¹, так что $\hat{H} = \hat{p}^2/2m + U(x)$.

Из уравнения (3) с учетом (2) получаем

$$\frac{df}{dt} = \int \frac{d\xi}{2\pi} e^{ip\xi} \frac{d\rho}{dt} = \frac{i}{\hbar} \int \frac{d\xi}{2\pi} e^{ip\xi} (\hat{H}_2 - \hat{H}_1) \rho(x_1, x_2, t), \quad (6)$$

где

$$x_{1,2} = x \mp \frac{\hbar\xi}{2}, \quad x = \frac{x_1 + x_2}{2}, \quad \hbar\xi = x_1 - x_2.$$

Введем операторы импульса, соответствующие x и $\hbar\xi$:

$$\hat{\mathcal{P}} = \frac{\hat{p}_1 + \hat{p}_2}{2} = -i\hbar \frac{\partial}{\partial x}, \quad \hat{\eta} = \hat{p}_1 - \hat{p}_2 = -i \frac{\partial}{\partial \xi}.$$

¹Запись все время ведется для одной степени свободы. Подробно вывод этого уравнения и его применения рассмотрены в книгах [9, 10].

Тогда

$$\frac{i}{\hbar}(\hat{H}_2 - \hat{H}_1) = \frac{i}{\hbar}\left(\frac{\hat{\mathcal{P}}\hat{\eta}}{m} + U(x_2) - U(x_1)\right) = \frac{\hat{\eta}}{m}\frac{\partial}{\partial x} + \frac{i}{\hbar}(U(x_2) - U(x_1)). \quad (7)$$

Подставляя (7) в (6), можем переадресовать действие эрмитова оператора $\hat{\eta}$ с матрицы плотности на экспоненту (в результате он заменится на число $-p$). В итоге вклад кинетической энергии $\frac{p}{m}\frac{\partial}{\partial x}$ вынесем из-под интеграла:

$$\frac{\partial f}{\partial t} = -\frac{p}{m}\frac{\partial f}{\partial x} + \frac{i}{\hbar}\int \frac{d\xi}{2\pi} e^{ip\xi}(U(x_2) - U(x_1))\rho(x_1, x_2, t). \quad (8)$$

Наконец, подставим в формулу (8) ρ из (4):

$$\begin{aligned} \frac{\partial f}{\partial t} + \frac{p}{m}\frac{\partial f}{\partial x} &= \\ &= \frac{i}{\hbar}\int \frac{d\xi}{2\pi} e^{ip\xi} \left[U\left(x - \frac{\hbar\xi}{2}\right) - U\left(x + \frac{\hbar\xi}{2}\right) \right] f(x, p', t) e^{-ip'\xi} dp'. \end{aligned} \quad (9)$$

В частном случае, если $U(x)$ имеет вид квадратного трехчлена, уравнение (9) полностью сводится к классическому. (При доказательстве понадобится замена $\hbar\xi \rightarrow \frac{\partial}{\partial p'}$ и интегрирование по частям.)

Если поле $U(x)$ изменяется очень плавно, то от (9) несложно перейти к классическому пределу (сделав разложение по $\hbar\xi$ в квадратных скобках).

Если же мы намерены учесть квантовые особенности движения, то удобно в уравнении (9) перейти к компонентам Фурье потенциала

$$U(x) = \int U_q e^{iqx} \frac{dq}{2\pi}. \quad (10)$$

Тогда уравнение (9) приводится к виду

$$\frac{\partial f}{\partial t} + \frac{p}{m}\frac{\partial f}{\partial x} = \int U_q e^{iqx} \left[f\left(x, p - \frac{\hbar q}{2}, t\right) - f\left(x, p + \frac{\hbar q}{2}, t\right) \right] \frac{dq}{2\pi}. \quad (11)$$

Отметим, что это же уравнение можно понимать и как уравнение с самосогласованным полем, причем средняя плотность заряда выражается через функцию Вигнера так же, как через классическую функцию распределения. Учитывая это, можно было бы найти диэлектрическую проницаемость квантовой плазмы и спектр ее колебаний, но тут мы закончим.

Литература

- [1] *Ландау Л. Д., Лифшиц Е. М.* Статистическая физика. М.: Наука, 1995.
- [2] *Румер Ю. Б., Рывкин М. Ш.* Термодинамика, статистическая физика и кинетика. М.: Наука, 1977.
- [3] *Кубо Р.* Статистическая механика. М.: Мир, 1967.
- [4] *Лифшиц Е. М., Питаевский Л. П.* Физическая кинетика. М.: Наука, 1979.

Дополнительная литература

- [5] *Гинзбург В. Л.* Теоретическая физика и астрофизика. М.: Наука, 1981.
- [6] *Займан Дж.* Принципы теории твердого тела. М.: Мир, 1974.
- [7] *Исихара А.* Статистическая физика. М.: Мир, 1973.
- [8] *Киттель Ч.* Введение в физику твердого тела. М.: Наука, 1978.
- [9] *Кондратьев А. С., Романов В. П.* Задачи по статистической физике. М.: Наука, 1992.
- [10] *Силин В. П.* Введение в кинетическую теорию газов М.: Наука, 1971.
- [11] *Фейнман Р.* Статистическая механика. М.: Мир, 1975.
- [12] *Хуанг К.* Статистическая механика. М.: Мир, 1966.

Интересующие Вас книги нашего издательства можно заказать почтой или электронной почтой:

subscribe@rcd.ru

Внимание: дешевле и быстрее всего книги можно приобрести через наш Интернет-магазин:

<http://shop.rcd.ru>

Книги также можно приобрести:

1. Москва, ФТИАН, Нахимовский проспект, д. 36/1, к. 307,
тел.: 332-48-92 (почтовый адрес: Нахимовский проспект, д. 34).
2. Москва, ИМАШ, ул. Бардина, д. 4, корп. 3, к. 414, тел. 135-54-37.
3. МГУ им. Ломоносова (ГЗ, 1 этаж).
4. Магазины:

Москва: «Дом научно-технической книги» (Ленинский пр., 40)

«Московский дом книги» (ул. Новый Арбат, 8)

«Библиоглобус» (м. Лубянка, ул. Мясницкая, 6)

С.-Пб.: «С.-Пб. дом книги» (Невский пр., 28)

Коткин Глеб Леонидович

ЛЕКЦИИ ПО СТАТИСТИЧЕСКОЙ ФИЗИКЕ

Дизайнер М. В. Ботя

Технический редактор А. В. Широбоков

Корректор М. А. Ложкина

Подписано в печать 22.04.03. Формат 60 × 84¹/₁₆.

Усл. печ. л. 10,23. Уч. изд. л. 10,57.

Гарнитура Антиква. Бумага офсетная №1.

Печать офсетная. Заказ №

АНО «Институт компьютерных исследований»

426034, г. Ижевск, ул. Университетская, 1.

Лицензия на издательскую деятельность ЛУ №084 от 03.04.00.

<http://rcd.ru> E-mail: borisov@rcd.ru
